

YALIKAVAK TEKNİK ÜNİVERSİTESİ ★ FEN BİLİMLERİ ENSTİTÜSÜ

---

Enerji Sistemlerinin Analizinde  
Bilgisayar Yöntemleri

Hüseyin Çakır

Doktora Tezi

YILDIZ UNIVERSITESI \* FEN BILIMLERİ ENSTITUSU

ENERJI SİSTEMLERİNİN ANALİZİNDE  
BİLGİSAYAR  
YONTEMLERİNİN İNCELENMESİ

DOKTORA TEZİ

Yuk. Müh. Huseyin CAKIR

YILDIZ ÜNİVERSİTESİ  
GENEL KİTAPLIĞI

Kot : ..... R 152  
Alındığı Yer : ..... Ten Bil. Ens. 29  
.....  
Tarih : ..... 3.3.1937  
Fatura : .....  
Fiyatı : ..... 1200 TL  
Ayniyat No : ..... 1/1  
Kayıt No : ..... 44765  
UDC : ..... 001.64  
Ek : ..... 373.242



YILDIZ UNIVERSITESI \* FEN BILIMLERİ ENSTITUSU

COME  
V

ENERJI

ENERJI SİSTEMLERİNİN ANALİZİNDE  
BİLGİSAYAR  
YÖNTEMLERİNİN İNCELENMESİ

DOKTORA TEZİ

Yuk. Muh. Huseyin CAKIR



Istanbul - 1985

## 3.7. NEWTON-RAPHSON YÖNTEMLERİ İÇİNDEKİLER GİRİŞLER

### ÖZET IV - TRANSIENT-STABİLİTE ÇÖZÜM YÖNTEMLERİ

#### SUMMARY

#### BÖLÜM I - GİRİŞ

#### BÖLÜM II - ENERJİ SİSTEMLERİNİN BİLGİSAYARLA MODELLENMESİ

2.1.	GİRİŞ	1
2.1.1.	Graf	1
2.1.2.	Bağlantı Matrisleri	5
2.1.2.1.	Eleman-Düğüm Bağlantı Matrisi $\hat{A}$	5
2.1.2.2.	Bara Bağlantı Matrisi A	6
2.1.2.3.	Temel Kesitleme Matrisi B	7
2.1.2.4.	Temel Çevre Matrisi C	8
2.2.	ENERJİ SİSTEMİNİN UÇLARINDAN UYARILARAK MODELLENMESİ	9
2.2.1.	Primitif Empedans Matrisi	9
2.2.2.	Temel Çevre Denklemleri	11
2.2.3.	Temel Kesitleme Denklemleri	12
2.2.4.	Bara Empedans Matrisinin Elde Edilmesi	13
2.2.5.	Bara Admitans Matrisinin Elde Edilmesi	16
	ÖRNEK PROBLEM	17
2.3.	MODELLEME YÖNTEMLERİNİN KARŞILAŞTIRILMASI	26

#### BÖLÜM III - YÜK AKIŞ ANALİZİ ÇÖZÜM YÖNTEMLERİ

3.1.	GİRİŞ	28
3.2.	YÜK AKIŞININ TANITILMASI	28
3.3.	ENERJİ SİSTEM DENKLEMLERİ	29
3.3.1.	Şebeke Tanım Denklemleri	29
3.3.2.	Bara Yük Denklemleri	30
3.3.3.	Hat Akış Denklemleri	30
3.4.	YÜK AKIŞ ANALİZİ ÇÖZÜM YÖNTEMLERİ	31
3.4.1.	$Y_{BARA}$ kullanılan Gauss Yöntemi	31
3.4.2.	$Y_{BARA}$ kullanılan Gauss-Siedel Yöntemi	33
3.4.3.	$Y_{BARA}$ kullanılan Newton-Raphson Yöntemi	34
3.5.	YÜK AKIŞ ANALİZİ ÇÖZÜM YÖNTEMLERİNİN KARŞILAŞTIRILMASI	39
	ÖRNEK PROBLEM	46
3.6.	GAUSS-SEİDEL YÖNTEMI İÇİN BİLGİSAYAR PROGRAMI, VE ÇIKIŞLAR	48



3.7. NEWTON-RAPHSON YÖNTEMİ İÇİN BİLGİSAYAR PROGRAMI VE  
ÇIKIŞLAR

52

BÖLÜM IV - TRANSIENT-STABİLİTE ÇÖZÜM YÖNTEMLERİ

4.1.	GİRİŞ	57
4.2.	ENERJİ SİSTEMLERİ	57
4.3.	ENERJİ SİSTEMLERİNDE STABİLİTE	58
4.3.1.	TRANSIENT-STABİLİTE	59
4.3.2.	TRANSIENT-STABİLİTE SİMÜLASYON YÖNTEMLERİ	60
	ÖRNEK PROBLEM	61
4.4.	SALINIM DENKLEMLERİ	62
4.5.	BAŞLANGIÇ HESAPLARI	67
4.6.	EULER YÖNTEMİ İLE ÇÖZÜM	70
4.6.1.	Bilgisayar Programı	73
4.6.2.	Bilgisayar Çıkışları	77
4.6.3.	Açısal Hız ve Faz Açısının Zamana Göre Değişim Eğrileri	79
4.7.	DÜZELTİLMİŞ EULER YÖNTEMİ İLE ÇÖZÜM	81
4.7.1.	Bilgisayar Programı	82
4.7.2.	Bilgisayar Çıkışları	86
4.7.3.	Açısal Hız ve Faz Açısının Zamana Göre Değişim Eğrileri	88
4.8.	RUNGE-KUTTA YÖNTEMİ İLE ÇÖZÜM	90
4.8.1.	Bilgisayar Programı	92
4.8.2.	Bilgisayar Çıkışları	97
4.8.3.	Açısal Hız ve Faz Açısının Zamana Göre Değişim Eğrileri	99
4.9.	SONUÇLARIN KARŞILAŞTIRILMASI	101

BÖLÜM V - SONUÇLAR

102

KAYNAKLAR

TEŞEKKÜR

ÖZGEÇMİŞ

Bugünki bölümde ise, transienten yöntemlerin genel bir değerlendirmesini yapmış ve transienten tekniklerde ilk elde edilen sonuçlar üzerinde durulmuştur.



## ÖZET

Bu tezde, elektrik enerji sistemlerinde kullanılan modelleme yük akış ve transient-stabilite çözüm yöntemleri incelenmiştir. Yöntemler enerji sistemlerine uygulanarak bilgisayarda incelenmiş ve sonuçlar karşılaştırılarak irdelenmiştir. Çalışma beş bölüm halinde toplanmıştır.

Birinci bölümde, konunun kısa tanıtılması yapıldıktan sonra konu ile ilgili genel bilgiler verilmiştir.

İkinci bölümde, uçlarından kaynaklarla uyarılarak ve bara bağlantı matrisi kullanılarak modellenen enerji sistemi gözönüne alınmıştır. Her iki yöntem bilgisayar işlem süresi açısından karşılaştırılmak üzere sistemde bara sayısı sabit, eleman sayısı değişken alınarak farklı modlarla  $Z_{BARA}$  ve  $Y_{BARA}$  matrisleri oluşturulmuştur. Her bir mod için bilgisayarda  $Z_{BARA}$  ve  $Y_{BARA}$  matrislerinin oluşturulmasında toplam işlem sayıları tespit edilmiştir. Optimum çözüm getiren yöntemi belirlemek üzere müşterek bir grafik üzerinde sonuçlar gösterilmiştir.

Üçüncü bölümde, elektrik enerji sistemlerinin önemli problemlerinden biri olan yük akış analizi tanıtılmış ve çözüm yöntemleri özetlenmiştir. Bu yöntemlerin incelemesinde test şebekelere yapılan uygulamalar ile elde edilen sonuçlar yöntemlerin karşılaştırılmasında kullanılmıştır.  $Y_{BARA}$  kullanılan Gauss-Seidel ve Newton-Raphson yöntemleri ile yük akış analizi yapmak üzere bilgisayar programları hazırlanmış ve enerji sistemine uygulanarak sonuçlar elde edilmiştir.

Dördüncü bölümde, enerji sistemlerinin çok önemli bir diğer problemi olan transient-stabilite tanıtılmış ve çözüm yöntemleri bilgisayar üzerinde araştırılarak incelenmiştir. Ele alınan her üç yöntem için faz açısı ve açısal hızın zamana göre değişim eğrileri bilgisayarda elde edilmiş ve bu eğriler müşterek bir grafik üzerinde optimum yöntemi belirlemek üzere gösterilmiştir.

Beşinci bölümde ise, kullanılan yöntemlerin genel bir değerlendirilmesi yapılarak bu inceleme ile elde edilen sonuçlar irdelenmiştir.



## SUMMARY

In the present thesis, modelling used in electrical power systems, load flow and transient-stability solution techniques have been investigated. Methods currently used in the power systems are analysed by using the computer and the results are compared from several points of view. The work is presented in five chapters.

Chapter 1 presents, as a brief description of power systems and covers the basic principles.

In chapter 2, the power system modelling is used; bus incidence matrix and injecting from the buses has been considered. Both methods are compared in respect to computation time, having taken the number of buses are constant and the number of elements are variable;  $Z_{BUS}$  and  $Y_{BUS}$  matrix with the different mode are formed. Total computer execution number has been determined in  $Z_{BUS}$  and  $Y_{BUS}$  matrix formation for each mode. The results are presented on the graph in order to determine the method which gives optimum solution.

In the third chapter, the load flow analysis which is one of the important problems in the electrical power systems has been presented and the solution methods have been summarized test network applications and the results obtained are used for comparing the methods which are under investigation. Gauss-Seidel method using the bus admittance matrix and Newton-Raphson method using the bus admittance matrix are employed in preparation computer programs for load flow analysis and the results have been obtained by applying power systems.

In chapter 4, the transient-stability which is a very important problem in the power system has been introduced and the solution methods are investigated by using a computer. Phase angle and angular velocity are plotted, versus time, by the computer for three methods on the same graph for determining the optimum methods.

In chapter 5, the methods used are evaluated in general and the results obtained in the present work are discussed.



BÖLÜM II

ENERJİ SİSTEMLERİNİN BİLGİSAYARLA MODELLENMESİ

BÖLÜM I

GİRİŞ

Elektrik enerjisi ihtiyacı, çağımızdaki gelişmeler ve artan dünya nüfusu ile bağıntılı olarak hızla artmaktadır. Günümüzde bu ihtiyaç nominal ünite güçleri daha büyük değerlere ulaşan ve teknik özellikleri geliştirilen senkron发电机le sağlanmaktadır. Bunun yanında enerji üretim merkezlerinin eskilerde olduğunun tersine yerleşim bölgelerinden uzaklarda kurulma gerekliliği, oldukça uzun yüksek gerilim taşıma hatlarının kullanılması zorunluluğunu doğurmus- tur. Örneğin, Amerika'da ve Avrupa'da birbirinden binlerce kilometre uzaklıktaki üretim merkezleri birbirleri ile paralel çalıştırılmaktadır. Enerji üretimindeki bu artışlara paralel olarak taşıma ve dağıtım hatlarının büyümesi önemli işletme ve kontrol sorunlarını da birlikte getirmiştir. Bu şekilde meydana gelen çok büyük enerji sistemlerinin dizaynlarının oluşturulabilmesi ve çalışma koşullarının kontrol edilebilmesi için olanaklı bilgisayar analiz araçlarının kullanılması gerekip.

Gelişmekte olan memleketimizde de teknolojik ilerlemeler ve modern toplumun hızlı değişen ihtiyaçlarına paralel olarak artan enerji ihtiyacı, son yıllarda yapılan istatistiklere göre yaklaşık olarak her 7 yılda bir iki katına çıkacaktır. Enerji ihtiyacının bu hızlı artışı yeni üretim merkezlerinin kurulmasını ve mevcut enerji sisteminin süratle büyütülmesini gerektirecektir. Elde edilecek büyük enerji sistemlerinde, yeni ve süratli kontrol cihazlarının kullanılması, sistem analizlerinin de daha sıhhatlı yapılmasını gerektirmektedir. Bunun için eski yaklaşımların ve görüşlerin yeniden gözden geçirilmesine ve bu sahada yeni gelişmelere ihtiyaç duyulmuştur.

1960'lı yıllarda bilgisayarlardaki hızlı gelişmelerin sonucu olarak eski kullanılan analiz yöntemleri yerlerini bilgisayar analiz yöntemlerine bırakmak zorunda kalmıştır. Bilgisayarların sürat, güvenilirliği ve yüksek hassasiyeti, kısa zamanda enerji sistemlerinin analizinde en fazla kullanılan bir araç haline gelmelerine sebep olmuştur. Bilgisayarların enerji sistemleri analizinde kullanılmaya başlaması ile beraber nümerik analiz yöntemleri de ön plana çıkmıştır. Bu sayede bir çok nümerik analiz yöntemleri geliştirilmiş ve enerji sistemlerinin önemli problemlerinin çözümünde kullanılmıştır. Bu araştırmalara halen devam edilmektedir.

Bu tezde, bilgisayar zamanını optimum olarak kullanabilmek üzere enerji sistemleri analiz yöntemleri bilgisayarda incelenerek bazı yeni yorumlar getirilmiştir.



## BÖLÜM II ENERJİ SİSTEMLERİNİN BİLGİSAYARLA MODELLENMESİ

### 2.1. GİRİŞ

Bir elektrik şebekesinde ilk adım uygun matematiksel modelerin elde edilmesidir. Bu model şebeke elemanlarının özelliklerini tanımlamakla beraber bu elemanlar arasındaki elektriksel bağlantıları da tanımlamalıdır.

Bir şebeke matrisinin elemanları akım veya gerilim gibi bağımsız değişkenlerin seçimine bağlıdır. Buna karşılık şebeke matrisinin elemanları empedanslar veya admitanslar olacaktır. Herbir devre elemanın elektriksel tanımı uygun bir primitif matrisle ifade edilebilir. Bu matris her elemanın karakteristigini tanımlar fakat bağlantılarıyla ilgili bilgi vermez. Bu sebeple şebeke bağlantılarının özelliklerini de tanımlamak için primitif matrisi şebeke matrisine dönüştürmemiz gereklidir.

Şebeke bağlantılarını temsil eden denklemlerde kullanılan matrislerin şekli seçilen referansa bağlıdır. Meselâ bir bara veya çevre referansına göre değişir. Bir barayı referans alduğumuzda değişkenler düğüm gerilimleri ve düğüm akımlarıdır. Bir çevre referans alındığında değişkenler çevre gerilimleri ve akımlarıdır.

Enerji sistemi problemlerinin bilgisayarla çözümünde en önemli bir husus uygun bağlantı matrisleriyle şebeke matrislerinin kurulmasıdır.

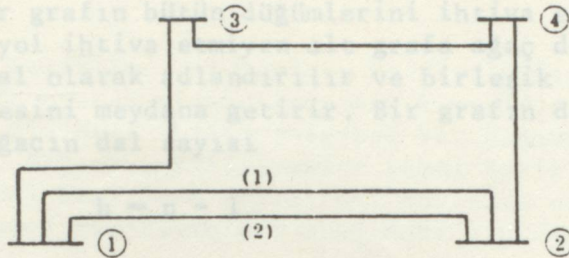
#### 2.1.1. Graf

Bir devrenin geometrik yapısını tanımlayabilmek için şebeke elemanlarını, karakteristigine bakmaksızın bir çizgi parçasıyla temsil etmek yeterlidir. Bu çizgi parçaları, elemanlar, bağlantı uçları da düğümler olarak adlandırılır. Şayet düğüm elemanın ucu ise düğüm ve eleman birbirine bağlıdır. Bir düğüme birden fazla eleman bağlı olabilir.

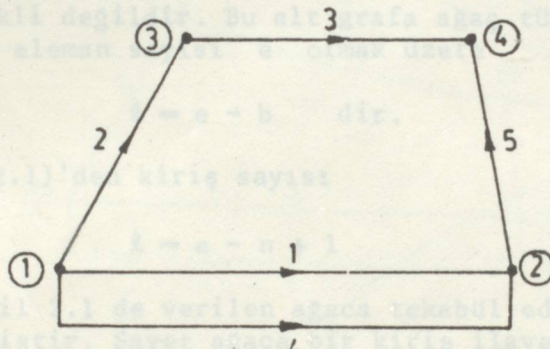
Bir graf bir şebekenin elemanlarının bağlantılarını gösterir. Alt graf, graf elemanlarının herhangi bir kısmıdır. Bir yol herhangi bir düğüme bağlı, ikiden fazla olmayan birlesik elemanların bir altgrafıdır. Bir graf ancak ve ancak her iki düğüm çifti arasında bir yol varsa birleşiktir. Elemanları bileştirilmiş grafın her elemanına bir yön verilmişse o zaman graf yönlendirilmiştir denir. Aşağıda bir güç sistemi ve onu temsil eden yönlendirilmiş graf gösterilmiştir.

Şekil 2.2- Şekil 2.1'deki şebeke igeri ağacı ve tımlayıeni





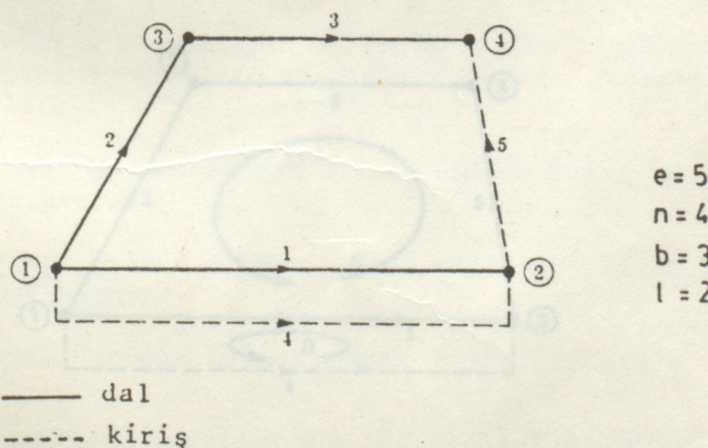
(a) Daire bulutumayan birleşik grafin elemanları kırıçlar olarak adlandırılır ve bir alt graf moyana satırır. Birleşik olmayanları şartlı dedir. Bu sınıfın alt sınıfı olanı denir. Kırıç sayısı 3 ve sınırları



(b)

SEKİL 2.1- Bir güç sisteminin

- a) Pozitif sequence (doğru bileşen) devre diyagramı
  - b) Yönlendirilmiş grafi



**ŞEKİL 2.2-** Şekil 2.1 deki şebeke için ağaç ve tümleyeni

Bir grafın bütün düğümlerini ihtiva eden fakat dallardan kapalı bir yol ihtiva etmiyen alt grafa ağaç denir. Bir ağacın elemanları dal olarak adlandırılır ve birleşik grafın elemanlarının bir alt kümesini meydana getirir. Bir grafın düğüm sayısı  $n$  olmak üzere bir ağacın dal sayısı

$$b = n - 1$$

dir.

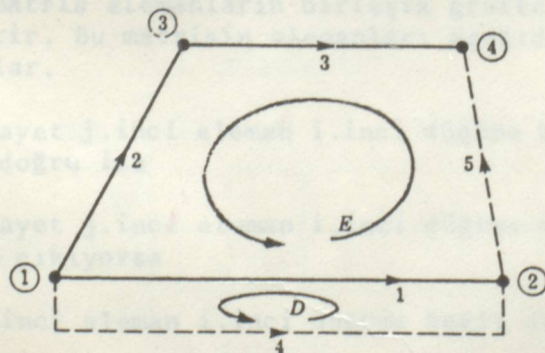
Ağaçta bulunmayan birleşik grafın elemanları kirişler olarak adlandırılır ve bir alt graf meydana getirirler. Birleşik olamları gerekli değildir. Bu alt grafa ağaç tümleyeni denir. Kiriş sayısı  $\ell$  ve eleman sayısı  $e$  olmak üzere

$$\ell = e - b \quad \text{dir.}$$

Denklem (2.1)'den kiriş sayısı

$$\ell = e - n + 1 \quad (2.2)$$

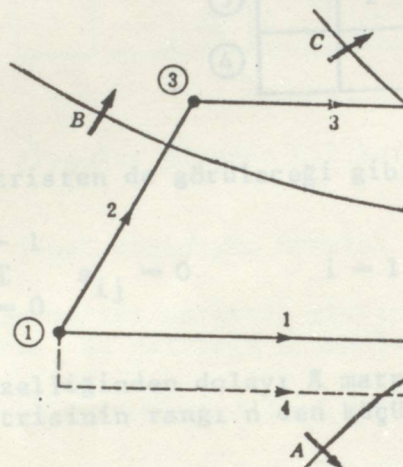
olur. Şekil 2.1 de verilen ağaca tekabül eden tümleyen Şekil 2.2 de gösterilmiştir. Şayet ağaca bir kiriş ilave edilirse graf çevreolarak adlandırılan kapalı bir yol ihtiva eder. İlave edilen herbir kiriş bir veya daha fazla çevreler meydana getirir. Sadece bir kiriş ihtiva eden çevreler bağımsızdır ve temel çevreler olarak adlandırılırlar. Temel çevrelerin sayısı kiriş sayısına eşittir ve bu da denklem (2.2) deki gibidir. Temel çevrenin yönü onun kirişinin yönü olarak seçilir. Şekil 2.2 deki grafın temel çevreleri Şekil 2.3 te gösterilmiştir.



ŞEKİL 2.3- Birleşik grafın temel çevreleri



Bir kesitleme, elemanları kaldırıldığında birleşik grafi iki alt grafa ayıran elemanların bir kümesidir. Şayet her bir kesitleme sadece bir dalı ihtiva ediyorsa bir bağımsız kesitleme grubu seçilebilir. Bağımsız kesitlemeler temel kesitlemeler olarak adlandırılır. Temel kesitleme sayısı dal sayısına eşittir. Şekil 2.2 deki grafin temel kesitlemeleri aşağıdaki gibidir.



2.1.2.2. Bir Eleman Matrisi A

ŞEKİL 2.4- Birleşik grafın temel kesitlemeleri

### 2.1.2. Bağlantı Matrisleri

#### 2.1.2.1. Eleman-Düyüküm Bağlantı Matrisi A

Bu matris elemanlarının birleşik grafta bağlandıkları düğümleri gösterir. Bu matrisin elemanları aşağıda gösterildiği şekilde bulunurlar.

$a_{ij} = -1$  Şayet j.inci eleman i.inci düğüme bağlı ve yönü bu düğüme doğru ise

$a_{ij} = +1$  Şayet j.inci eleman i.inci düğüme bağlı ve yönü bu düğümden çıkyorsa

$a_{ij} = 0$  j.inci eleman i.inci düğüme bağlı değilse

Bu matrisin boyutu  $n \times e$  dir. Şekil 2.2 deki graf için eleman-düyüküm matrisi A aşağıda verilmiştir.



	e n	1	2	3	4	5	
Bara							Balla
(1)	1	1			1		
(2)	-1				-1	1	
(3)		-1	1				
(4)			-1			-1	

Matristen de görüleceği gibi matris olup  $\text{rank } A_d = (n-1)$

$$\sum_{j=0}^{n-1} a_{ij} = 0 \quad i = 1, 2, \dots, e$$

dir. Bu özelliğinden dolayı  $A$  matrisinin satırları lineer bağımlıdır.  $A$  matrisinin rangı  $n$  den küçüktür ( $\text{rang } A < n$ )

### 2.1.2.2. Bara Bağlantı Matrisi A

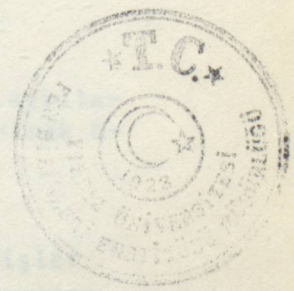
Birleşik grafın herhangibir düğümü referans düğümü olarak alınabilir. Baralar olarak adlandırılan diğer düğümlerin değişkenleri referans noktasına göre ölçülebilir. Referans düğümüne tekabül eden satırın  $A$  dan çıkarılmasıyla elde edilen elemen-düğüm bağlantı matrisi, bara bağlantı matrisi olarak adlandırılır ve  $A$  ile gösterilmiştir. Bu matrisin boyutu  $(n-1) \times e$  ve  $\text{rank } A = n-1 = b$  dir. Şekil 2.2 deki graf'in (1) düğümü referans seçilirse  $A$  matrisi aşağıdaki gibi olur.

Elemanlar

Bara	1	2	3	4	5
(2)	-1			-1	1
(3)		-1	1		
(4)			-1		-1

Bu matris dikdörtgen olduğundan singülerdir

$A$  matrisinin satırları aşağıdaki gibi özel bir şekilde ayarlanmışsa bu matrisi şekildeki gibi iki kısmî matrise ayıralım.  $A_b$  sütunları dallardan  $A_\ell$  sütunları kirişlerden meydana gelmiştir.  $A_b$ 'nin boyutu  $(n-1) \times b$  ve  $A_\ell$  nin boyutu ise  $(n-1) \times \ell$  dir.



Elemanlar						Dallar	Kirişler
Bara	1	2	3	4	5		
(2)	-1			-1	1		
A = (3)		-1	1				
(4)			-1		-1		

$A_b$  singüler olmayan bir kare matris olup  $\text{rank } A_d = (n-1)$  dir.

#### 2.1.2.3. Temel Kesitleme Matrisi B

Bu matris birleşik grafın temel kesitlemelerle göre durumunu gösterir. Bu matrisin elemanları şu şekilde bulunur.

$b_{ij} = 1$  j.inci eleman i.inci temel kesitlemeye giriyorsa

$b_{ij} = -1$  j.inci eleman i.inci temel kesitlemeden çıkışyorsa

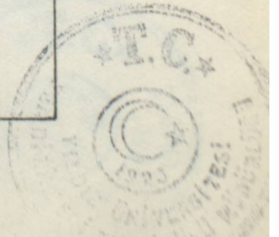
$b_{ij} = 0$  j.inci eleman i.inci temel kesitlemeye bağlı değilse

Bu matrisin boyutu  $b \times e$  dir. Şekil 2.4 deki graf için B matrisi aşağıdaki gibi olur.

Temel		Elemanlar				
Kesitlemeler		1	2	3	4	5
A		1			1	-1
B = B			1			1
C				1		1

Bu B matrisi  $U_b$  ve  $B_\ell$  gibi iki alt matrise ayrılabilir.  $B_\ell$  nin sütunları kirişler,  $U_b$  nin sütunları dallar olmak üzere aşağıdaki gibi ayrılmıştır.

1      2      3      4      5						Dallar	Kirişler
A	1			1	-1		
B = B		1			1		
C			1		1		



$U_b$  birim matrisi dallar ve temel kesitlemeler arasında bire-bir eşleme gösterir.  $B_\ell$  ait matrisi bara çakışım matrisi  $A'$  dan da elde edilebilir. Kirişlerin baralara bağlantısını  $A_\ell$  ve dalların baralara bağlantısını  $A_b$  gösterir. Dallar ve temel kesitlemeler arasında bire-bir eşleme olduğundan  $B_\ell^t A_b^t$  çarpımı kirişlerin baralara bağlantısını gösterir. Yani

$$B_\ell^t A_b^t = A'$$

buradan da

$$B_\ell^t = A_\ell^t (A_b^t)^{-1}$$

dir.

### 2.1. Primitif Kapasite Matrisi

#### 2.1.2.4. Temel Çevre Matrisi C

Birleşik grafın temel çevrelerindeki elemanların konumu temel çevre matrisi C ile gösterilir. Bu matrisin elemanları şu şekilde bulunur.

$c_{ij} = 1$  j.inci eleman i.inci temel çevrede ve aynı yönde ise

$c_{ij} = -1$  j.inci eleman i.inci temel çevrede fakat ters yönde ise

$c_{ij} = 0$  j.inci eleman i.inci temel çevrede değilse

Temel çevre matrisinin boyutu  $\ell \times e$  dir. Şekil 1.3 deki graf için temel çevre matrisi C aşağıda gösterilmiştir.

Elemanlar					
Temel Çevreler	1	2	3	4	5
D	-1			1	
E	1	-1	-1		1

$$C = \begin{matrix} & D & \\ & E & \end{matrix} = \begin{matrix} C_b & \\ & U_\ell \end{matrix}$$

Bu C matrisini  $C_b$  ve  $U_\ell$  gibi iki alt matrise ayıralırız.  $C_b$  nin sütunlarını dallar,  $U_\ell$  nin sütunlarını da kirişler meydana getirmektedir.  $U_\ell$  matrisi kirişlerin temel çevrelerere bire-bir eşlemesini gösterir.



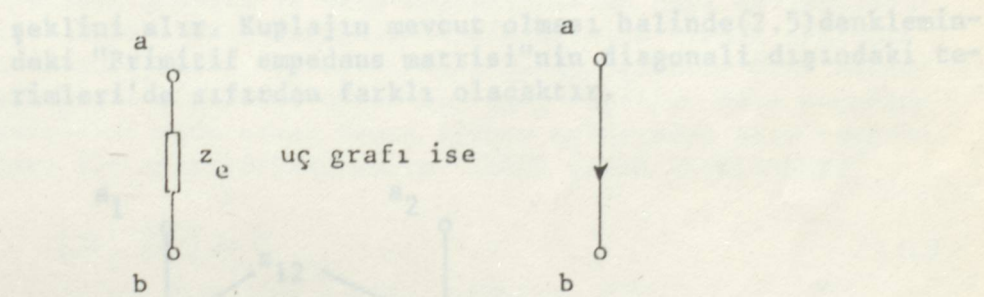
## 2.2. ENERJİ SİSTEMİNİN UÇLARINDAN KAYNAKLARLA UYARILARAK MODELLENMESİ

(2.4) Adaykenindeki Z<sub>e</sub> katsayılar matrisi "Primitif empedans matrisi"

Bu bölümde elektrik enerji sisteminin matematiksel modeli sistem uçlarından kaynaklarla uyarılarak graf teorisiyle çıkarılmıştır. Bunun için primitif şebeke tanım denklemleri iki uçlu kavramlarından hareketle çıkarılmış sonra temel kesitleme ve temel çevre denklemleri kullanılarak bara empedans ve admitans matrisleri elde edilmiştir. Bölümün sonunda bu modelleme için bilgisayar programı ve a-kış diyagramı verilmiştir.

### 2.2.1. Primitif Empedans Matrisi

Şebekeyi meydana getiren elemanların her birinin iki uçlu olduğu düşünülerek "TANIM DENKLEMLERİ" aşağıdaki gibi yazılabılır.



ŞEKİL :(2.5) İki uçlu eleman ve uç grafi

Şekil(2.5)'de gösterilen iki uçlu elemanın matematiksel modeli;

$$e_e = z_e \cdot i_e \quad (2.3)$$

Eleman için(2.3) denklemi matrisel formda aşağıdaki gibi yazılabılır.

$$[e_e] = [z_p] [i_e] \quad (2.4)$$



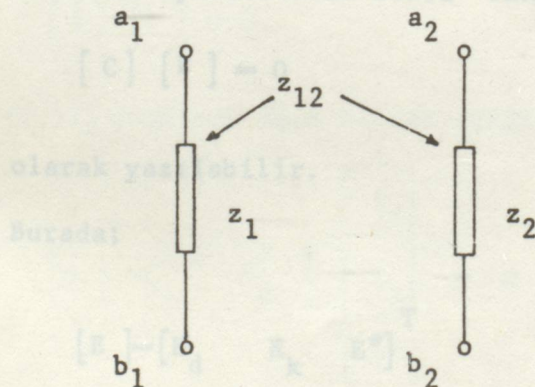
(2.4) denklemindeki  $Z$  katsayılar matrisi "Primitif empedans matrisi" olarak adlandırılır.

Şebeke elemanları arasında kuplaj mevcut değilse,  $Z^P$  "Primitif empedans matrisi" diagonal bir matris olur. Yani;

$$\begin{bmatrix} e_1 \\ e_2 \\ \vdots \\ \vdots \\ e_n \end{bmatrix} = \begin{bmatrix} z_1 & 0 & \cdots & 0 \\ 0 & z_2 & \cdots & 0 \\ \vdots & \vdots & \ddots & \vdots \\ \vdots & \vdots & \ddots & \vdots \\ 0 & 0 & \cdots & z_n \end{bmatrix} \begin{bmatrix} i_1 \\ i_2 \\ \vdots \\ \vdots \\ i_n \end{bmatrix} \quad (2.5)$$

Şeklini alır. Kuplajın mevcut olması halinde (2.5) denklemdeki "Primitif empedans matrisi"nin diagonali dışındaki terimleri' de sıfırdan farklı olacaktır.

matrisini side etmek için sistem türlerinden sıkıştırılmış kaynakları ile uyarıldıktan sonra "TEMEL ÇEVRE DENKLEMLERİ"



ŞEKİL : (2.6) İki eleman arasında kuplajın gösterilmesi.

$z_1$  ve  $z_2$  iki uçlu elemanlar için karşılıklı kuplajı düşünerek matematiksel modeli aşağıdaki gibi yazılabilir.

$$\begin{bmatrix} e_1 \\ e_2 \end{bmatrix} = \begin{bmatrix} z_{11} & z_{12} \\ z_{21} & z_{22} \end{bmatrix} \begin{bmatrix} i_1 \\ i_2 \end{bmatrix} \quad (2.6)$$



Bu denklem n elemanı için ise aşağıdaki gibi olur.

$$\begin{bmatrix} e_1 \\ e_2 \\ \vdots \\ e_n \end{bmatrix} = \begin{bmatrix} z_{11} & z_{12} & \cdots & z_{1n} \\ z_{21} & z_{22} & \cdots & z_{2n} \\ \vdots & \vdots & & \vdots \\ \vdots & \vdots & & \vdots \\ z_{n1} & z_{n2} & \cdots & z_{nn} \end{bmatrix} \begin{bmatrix} i_1 \\ i_2 \\ \vdots \\ i_n \end{bmatrix} \quad (2.7)$$

### 2.2.2. Temel Çevre Denklemleri

Enerji sisteminin matematiksel modeli sistem uçlarından (Baralardan) kaynaklar ile uyarılarak elde edilebilir. Bu uyarımada gerilim ve akım kaynaklarından biri kullanılabilir. Ancak, bara empedans matrisini elde etmede sistemin akım kaynakları ile uyarılması daha uygundur. Önce sistemin grafi çizilerek uygun bir ağaç seçilir. Bara empedans matrisini elde etmek üzere sistem uçlarından akım kaynakları ile uyarıldıktan sonra "TEMEL ÇEVRE DENKLEMLERİ"

$$[C] [E] = 0 \quad (2.8)$$

olarak yazılabilir.

Burada;

$$[E] = [E_d \quad E_k \quad E^*]^T \quad (2.9)$$

şeklinde üç kısımdan meydana gelen bir vektördür. (2.9) denkleminde;

$E_d$  : Dal gerilimlerini

$E_k$  : Kiriş gerilimlerini

$E^*$  : Kaynak gerilimlerini

gösterir. (2.8) denklemi açık olarak aşağıdaki gibi tekrar yazılabilir.



$$\begin{bmatrix} C_1 & U & 0 \\ \hline C_2 & 0 & U \end{bmatrix} \begin{bmatrix} E_d \\ E_k \\ E^* \end{bmatrix} = 0 \quad (2.10)$$

Buradan,

$$\begin{bmatrix} 0 \\ U \end{bmatrix} E^* + \begin{bmatrix} C_1 & U \\ C_2 & 0 \end{bmatrix} \begin{bmatrix} E_d \\ E_k \end{bmatrix} = 0 \quad (2.11)$$

elde edilir.

Yukarıda seçtiğimiz aynı ağaç için "TEMEL KESİTLEME DENKLEMLERİ" aşağıdaki gibidir.

### 2.2.3. Temel Kesitleme Denklemleri

$$[B] [I] = 0 \quad (2.12)$$

elde edilir.

(2.12) denklemi açık olarak aşağıdaki gibi tekrar yazılabilir.

$$\begin{bmatrix} U & -C_1^t & -C_2^t \end{bmatrix} \begin{bmatrix} I_d \\ I_k \\ I^* \end{bmatrix} = 0 \quad (2.13)$$

(1.13) denkleminde matrisyel işlem yapılırsa;

$$[U] [I_d] = [C_1^t \quad C_2^t] \begin{bmatrix} I_k \\ \dots \\ I^* \end{bmatrix} \quad (2.14)$$

elde edilir. Ayrıca,

$$[U] [I_k] = [U \quad 0] \begin{bmatrix} I_k \\ I^* \end{bmatrix} \quad (2.15)$$



(2.15) denklemi dikkate alınarak (2.14) ve (2.15) denklemeleri birlikte yazılırsa;

$$\begin{bmatrix} I_d \\ I_k \end{bmatrix} = \begin{bmatrix} C_1^t & C_2^t \\ U & 0 \end{bmatrix} \begin{bmatrix} I_k \\ I^* \end{bmatrix} \quad (2.16)$$

elde edilir.

#### 2.2.4. Bara Empedans Matrisinin Elde Edilmesi

Bara empedans matrisini elde etmek üzere (2.7) denklemi (2.11) denkleminde yerine konursa;

$$\begin{bmatrix} 0 \\ U \end{bmatrix} E^* + \begin{bmatrix} C_1 & U \\ C_2 & 0 \end{bmatrix} \begin{bmatrix} z_{11} & z_{12} \dots z_{1n} \\ z_{21} & z_{22} \dots z_{2n} \\ \vdots z_{n1} & z_{n2} \dots z_{nn} \end{bmatrix} \begin{bmatrix} I_d \\ I_k \end{bmatrix} = 0 \quad (2.17)$$

elde edilir.

$$[Z_p] = \begin{bmatrix} z_{11} & z_{12} \dots z_{1n} \\ z_{21} & z_{22} \dots z_{2n} \\ \vdots z_{n1} & z_{n2} \dots z_{nn} \end{bmatrix} = \begin{bmatrix} z_{11} & z_{12} \\ z_{21} & z_{22} \end{bmatrix} \quad (2.18)$$

şeklinde kısmi matrislere ayrılrısa (2.17) denklemi yeniden aşağıdaki gibi yazılabilir.

$$\begin{bmatrix} 0 \\ U \end{bmatrix} E^* + \begin{bmatrix} C_1 & U \\ C_2 & 0 \end{bmatrix} \begin{bmatrix} z_{11} & z_{12} \\ z_{21} & z_{22} \end{bmatrix} \begin{bmatrix} I_d \\ I_k \end{bmatrix} = 0 \quad (2.19)$$

(2.16) denklemi (2.19) denkleminde yerine konur ve düzenlenirse



$$\begin{bmatrix} 0 \\ \vdots \\ U \end{bmatrix} E^* + \begin{bmatrix} C_1 & U \\ C_2 & 0 \end{bmatrix} \begin{bmatrix} z_{11} & z_{12} \\ z_{21} & z_{22} \end{bmatrix} \begin{bmatrix} C_1^t & C_2^t \\ U & 0 \end{bmatrix} \begin{bmatrix} I_k \\ I^* \end{bmatrix} = 0$$

ve

$$\begin{bmatrix} 0 \\ \vdots \\ U \end{bmatrix} E^* + \begin{bmatrix} z_1 & z_2 \\ z_3 & z_4 \end{bmatrix} \begin{bmatrix} I_k \\ I^* \end{bmatrix} = 0 \quad (2.20)$$

elde edilir. Burada;

$$z_1 = C_1 z_{11} C_1^t + z_{21} C_1^t + C_1 z_{12} + z_{22}$$

$$z_2 = -C_1 z_{11} C_2^t - z_{21} C_2^t$$

$$z_3 = -C_2 z_{11} C_1^t - C_2 z_{12}$$

$$z_4 = C_2 z_{11} C_2^t$$

dir.

$$\begin{bmatrix} C_1 & U \\ C_2 & 0 \end{bmatrix}^t = \begin{bmatrix} C_1^t & C_2^t \\ U & 0 \end{bmatrix}$$

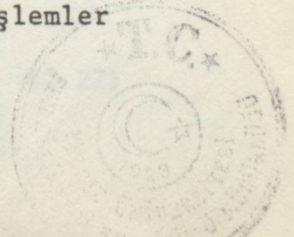
olduğu göz önüne alınarak

$$\begin{bmatrix} z_1 & z_2 \\ z_3 & z_4 \end{bmatrix} = \begin{bmatrix} C_1 & U \\ C_2 & 0 \end{bmatrix} \begin{bmatrix} z_{11} & z_{12} \\ z_{21} & z_{22} \end{bmatrix} \begin{bmatrix} C_1 & U \\ C_2 & 0 \end{bmatrix}^t \quad (2.21)$$

elde edilir.

(2.20) denklemi aşağıdaki gibi tekrar yazılır ve işlemler yapılırsa

$$\begin{bmatrix} z_1 & z_2 \\ z_3 & z_4 \end{bmatrix} \begin{bmatrix} I_k \\ I^* \end{bmatrix} = \begin{bmatrix} 0 \\ -U \end{bmatrix} E^*$$



$$z_1 I_k + z_2 I^* = 0 \quad (2.22)$$

$$z_3 I_k + z_4 I^* = -E^* \quad (2.23)$$

(2.22) denkleminden plasabilir.

$$I_k = -z_1^{-1} \cdot z_2 \cdot I^*$$

olur. Bu sonucu (2.23)de yerine koyarsak

$$[z_4 - z_3 z_1^{-1} z_2] I^* = -[E^*] \quad (2.24)$$

elde edilir. Uyarma kaynakları ile gerçek değerler arasında

$$E = V^*$$

ve sel kondans denklemleri

$$I = -I^*$$

Bağıntıları olduğu dikkate alınırsa (2.24)denklemi

$$[E] = [z_4 - z_3 z_1^{-1} z_2] [I] \quad (2.25)$$

olur. Buradaki,

$$[z_4 - z_3 z_1^{-1} z_2]$$

BARA EMPEDANS MATRİSİ "Z<sub>BARA</sub>" dır. Yani şebeke;

$$[E] = [Z_{BARA}] [I]$$

şeklinde modellenmiş olmaktadır.

$$[Z_{BARA}] = [z_4 - z_3 z_1^{-1} z_2]$$

(2.27)

dır. Ayrıca BARA ADMİTANS MATRİSİ :

$$[y_{BARA}] = [z_{BARA}]^{-1} \quad (2.28)$$

denkleminden hesaplanabilir.

## 2.2.5. Bara Admitans Matrisinin Elde Edilmesi

Bu matrisi elde etmek üzere sistemin gerilim kaynakları ile uyarılması daha uygundur. Sistem uçlarından (Baralar- dan) gerilim kaynakları ile uyarıldığında grafin dalları sadece bu gerilim kaynaklarından meydan'a gelecektir. Buna göre TEMEL ÇEVRE DENKLEMLERİ

$$[C \mid U] \begin{bmatrix} E^* \\ E_k \end{bmatrix} = 0 \quad (2.29)$$

## Temel kesitleme denklemleri

$$[U \mid -C^T] \begin{bmatrix} I^* \\ \vdots \\ I_k \end{bmatrix} = 0 \quad (2.30)$$

olur.(1.29) den,

$$[E_k] = -[C] [E^*] \quad (2.31)$$

(2.30) denkleminden,

$$[I^*] = [C^t] \quad [I_v] \quad (2.32)$$

Diger taraftan(2.5) denkleminden

$$[I_k] = [Y_p] [E_k] \text{ und } K_{\text{Kargilagetrakt}} \text{ Zeile } (2.33)$$

yazılabilir. Burada,

$$[Y_p] = [Z_p]^{-1}$$



"primitif admitans matrisi" olarak adlandırılır.

(2.31) ve (2.33) denklemeleri (2.32) denkleminde yerine konursa,

$$[I^*] - [C^t] [Y_p] [E_k] = [-C^t] [Y_p] [C] [E^*] \quad (2.34)$$

Kaynaklardan gerçek değerlere geçersek,

$$[I] = [C^t] [Y_p] [C] [E] \quad (2.35)$$

elde edilir. Sistem :

$$[I] = [Y_{BARA}] [E] \quad (2.36)$$

şeklinde modellenmiş olur.

$$[Y_{BARA}] = [C^t] [Y_p] [C]$$

şeklindedir. Buradan da "Bara Empedans Matrisi"

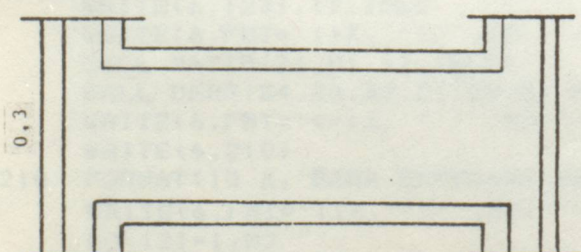
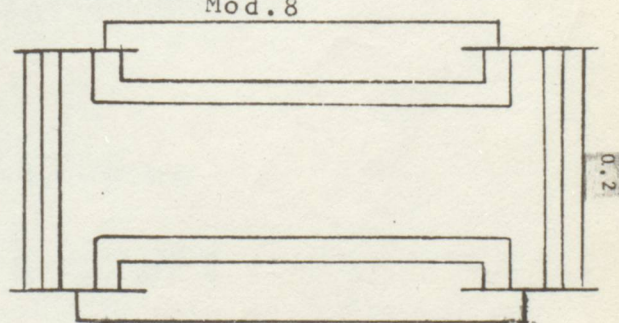
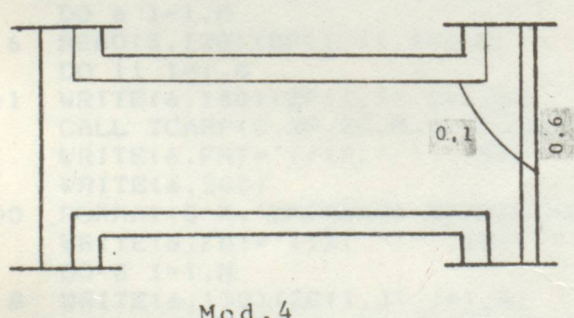
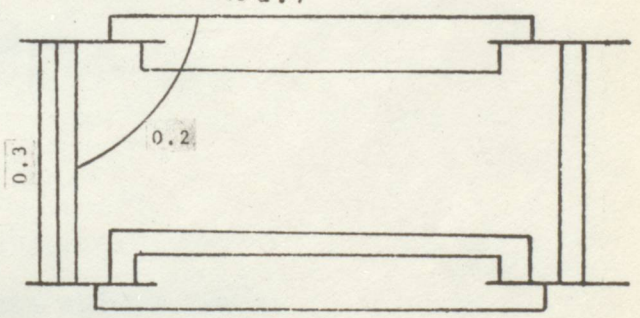
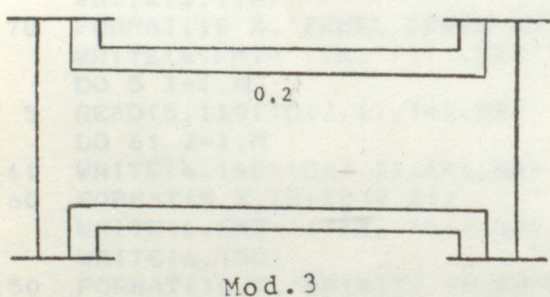
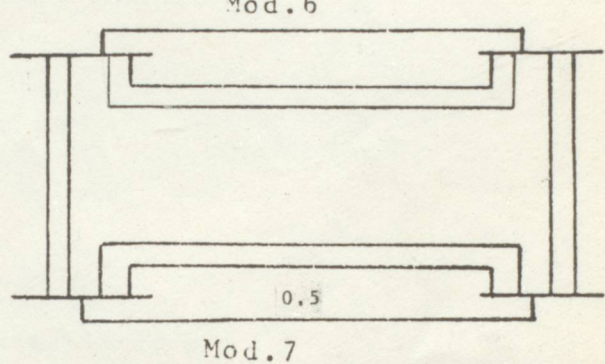
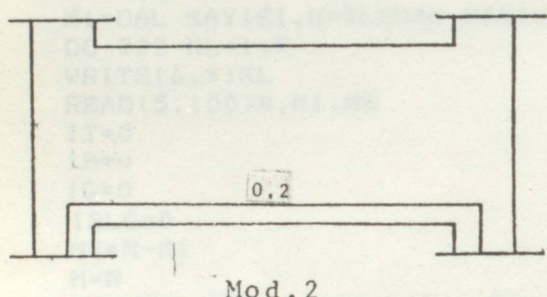
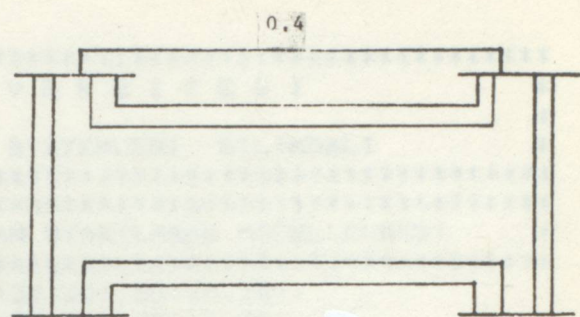
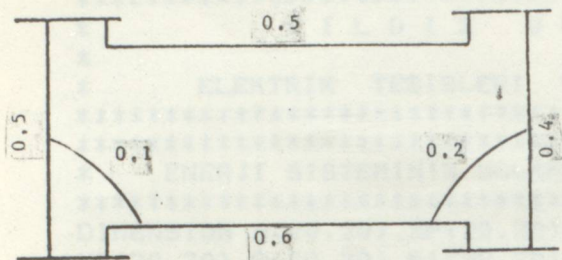
$$[Z_{BARA}] = [Y_{BARA}]^{-1} \quad (2.37)$$

eşitliğinden hesaplanabilir.

#### ÖRNEK PROBLEM

Aşağıda tek hat diyagramları verilen enerji sistemlerinde bara sayısı sabit, eleman sayısı değişken alınarak elde edilen farklı modlar için  $Y_{BARA}$  ve  $Z_{BARA}$  matrislerini, uçlarından kaynaklarla uyararak ve bara bağlantı matrisini kullanarak bilgisayarda modelliyeлим. Her iki yöntemi bilgisayar işlem süresi yönünden karşılaştırırmak üzere elde edilen sonuçları aynı bir grafik üzerinde gösterelim.





```
*****
*      Y I L D I Z   U N I V E R S I T E S I
*
*      ELEKTRIK TESISLERI VE SISTEMLERI BILIMDALI
*
*      ENERJI SISTEMININ UCLARINDAN UYARILARAK MODELLENMESI
*
*****
```

DIMENSION A(20,20),ZP(20,20),C1(20,20),ZG(20,20),  
\*YC(20,20),C(20,20),K1(20,20),YP(20,20),YB(20,20),  
\*Z1(20,20),Z2(20,20),Z3(20,20),Z4(20,20),Z(20,20),  
\*A1(20,20),A2(20,20),ZB(20,20)

INTEGER C  
M1=DAL SAYISI,N=ELEMEN SAYISI  
DO 222 KL=1,9  
 WRITE(6,\*)(JUNCA YAPILAN ISLEM SAYILARI',/10X,10X,10X,15)  
 READ(5,100)N,M1,M8  
 IT=0  
 IR=0  
 IG=0  
 ISLC=0  
 M2=N-M1  
 M=N  
 WRITE(6,FMT='(/1X,''!'',52(''-''),'''!''')')  
 WRITE(6,170)  
170 FORMAT(10 X,'TEMEL CEVRE MATRISI=C')  
 WRITE(6,FMT='(1X,''!'',52(''-''),'''!''',/))'  
 DO 5 I=1,M  
5 READ(5,110)(C(J,I),J=1,M8)  
 DO 61 J=1,M  
61 WRITE(6,160)(C(J,I),I=1,M8)  
150 FORMAT(5 X,18(I2,2 X))  
 WRITE(6,FMT='(/1X,''!'',52(''-''),'''!''')')  
 WRITE(6,150)  
150 FORMAT(10 X,'PRIMITI VE EMPEDANS MATRISI=ZP')  
 WRITE(6,FMT='(1X,''!'',52(''-''),'''!''',/))'  
 DO 6 I=1,M  
6 READ(5,120)(ZP(I,J),J=1,M)  
 DO 11 I=1,M  
11 WRITE(6,140)(ZP(I,J),J=1,M)  
 CALL TCARP(C,ZP,ZG,M,N,IT,ISLC)  
 WRITE(6,FMT='(/1X,''!'',52(''-''),'''!''')')  
 WRITE(6,200)  
200 FORMAT(8 X,'EMPEDANS MATRISI=Z')  
 WRITE(6,FMT='(1X,''!'',52(''-''),'''!''',/))'  
 DO 8 I=1,M  
8 WRITE(6,130)(ZC(I,J),J=1,N)  
 CALL DONUS(ZC,Z1,Z2,Z3,Z4,M1,N)  
 WRITE(6,FMT='(/1X,''!'',52(''-''),'''!''')')  
 WRITE(6,123),IT,ISLC  
 WRITE(6,FMT='(1X,''!'',52(''-''),'''!''',/))'  
 CALL MATIN(Z1,M1,IT,ISLC)  
 CALL DERS(Z4,Z3,Z2,Z1,ZB,M1,M2,IT,ISLC)  
 WRITE(6,FMT='(/1X,''!'',52(''-''),'''!''')')  
 WRITE(6,210)  
210 FORMAT(10 X,'BARA EMPEDANS MATRISI=ZB')  
 WRITE(6,FMT='(1X,''!'',52(''-''),'''!''',/))'  
 DO 12 I=1,M2  
12 WRITE(6,130)(ZB(I,J),J=1,M2)  
100 FORMAT(3 I2)



```
110 FORMAT(30 I2)
120 FORMAT(13(F3.1))
130 FORMAT(5 X,8(F8.3,2 X))
140 FORMAT(5 X,13(F3.1,2 X))
WRITE(6,FMT='(/1X,''!'',52(''-''),'''!''))'
WRITE(6,123),IT,ISLC
WRITE(6,FMT='(1X,''!'',52(''-''),'''!'',/))'
CALL MATIN(ZB,M2,IT,ISLC)
WRITE(6,211)
211 FORMAT(10 X,'BARA ADMITANS MATRISI=YB')
WRITE(6,FMT='(1X,''!'',52(''-''),'''!'',/))'
DO 16 I=1,M2
16 WRITE(6,130)(ZB(I,J),J=1,M2)
WRITE(6,FMT='(/1X,''!'',52(''-''),'''!''))'
222 WRITE(6,123),IT,ISLC
WRITE(6,FMT='(1X,''!'',52(''-''),'''!'',/))'
123 FORMAT(10 X,'PROGRAM BOYUNCA YAPILAN ISLEM SAYILARI',
*/10 X,'TOPLAMA SAYISI',10X,'CARPMA SAYISI',/18X,15,14X,15)
*/8 X,'TOPLAMA SAYISI',2X,'CARPMA SAYISI',2X,'BOLME SAYISI',
*2 X,'TOP. ISLEM SAYISI',/10X,15,14X,15,13X,15)
STOP
END
SUBROUTINE TCARP(K1,YP,YB,M,N,IT,ISLC)
DIMENSION K1(20,20),YP(20,20),YB(20,20)
DO 5 I=1,N
DO 5 J=1,M
C1(I,J)=0
DO 55 L=1,M
PRINT*, 'A=',K1(L,J), ' YP=',YP(L,J)
PRINT*, 'A('',L,'',',I,',')=',K1(L,I), ' YP('',L,'',',J,',')=',YP(L,J)
IT=IT+1
ISLC=ISLC+1
55 C1(I,J)=C1(I,J)+K1(L,I)*YP(L,J)
PRINT*, 'C1('',I,'',',J,',')=',C1(I,J)
CONTINUE
WRITE(6,*)'C1 MATRISI'
DO 10 I=1,N
10 WRITE(6,135)(C1(I,J),J=1,M)
135 FORMAT(5 X,8(F6.3,2 X))
DO 6 I=1,N
DO 6 J=1,N
YB(I,J)=0
DO 6 L=1,M
ISLC=ISLC+1
IT=IT+1
6 YB(I,J)=YB(I,J)+C1(I,L)*K1(L,J)
RETURN
END
SUBROUTINE MATIN(A,N,IT,ISLC)
DIMENSION A(20,20)
DO 50 K=1,N
DO 20 I=1,N
DO 20 J=1,N
IF(I.EQ.K.OR.J.EQ.K) GOTO 20
ISLC=ISLC+1
IT=IT+1
A(I,J)=A(I,J)-A(I,K)*A(K,J)/A(K,K)
20 CONTINUE
A(K,K)=-1 0/A(K,K)
DO 30 I=1,N
IF(I.EQ.K) GOTO 30
```



```
ISLC=ISLC+1
A(I,K)=A(I,K)*A(K,K)
30 CONTINUE
DO 40 J=1,N
IF(J.EQ.K) GOTO 40
A(K,J)=A(K,J)*A(K,K)
40 CONTINUE
50 CONTINUE
DO 60 I=1,N
DO 60 J=1,N
ISLC=ISLC+1
A(I,J)=-A(I,J)
60 CONTINUE
RETURN
END

SUBROUTINE DONUS(Z,Z1,Z2,Z3,Z4,N,K)
DIMENSION Z(20,20),Z1(20,20),Z2(20,20),Z3(20,20),Z4(20,20)
N1=N+1
DO 5 I=1,N
DO 5 J=1,N
5 Z1(I,J)=Z(I,J)
DO 6 I=1,N
DO 6 J=N1,K
K1=J-N
6 Z2(I,K1)=Z(I,J)
DO 7 I=N1,K
K1=I-N
DO 7 J=1,N
7 Z3(K1,J)=Z(I,J)
DO 8 I=N1,K
K1=I-N
DO 8 J=N1,K
K2=J-N
8 Z4(K1,K2)=Z(I,J)
RETURN
END

SUBROUTINE DERS(Z1,Z2,Z3,Z4,ZD,M2,M1,IT,ISLC)
DIMENSION Z1(20,20),Z2(20,20),Z3(20,20),Z4(20,20),
*A1(20,20),A2(20,20),ZD(20,20)
DO 1 I=1,M1
DO 1 J=1,M2
A1(I,J)=0
1 DO 1 K=1,M2
ISLC=ISLC+1
IT=IT+1
1 A1(I,J)=A1(I,J)+Z2(I,K)*Z4(K,J)
DO 2 I=1,N1
DO 2 J=1,N1
A2(I,J)=0
2 DO 2 K=1,M2
ISLC=ISLC+1
IT=IT+1
2 A2(I,J)=A2(I,J)+A1(I,K)*Z3(K,J)
DO 3 I=1,M1
DO 3 J=1,M1
IT=IT+1
3 ZD(I,J)=Z1(I,J)-A2(I,J)
RETURN
END
```



\*\*\*\*\*  
\* YILDIZ UNIVERSITESI \*  
\*  
\* ELEKTRIK TESISLERI VE SISTEMLERI BILIMDALI \*  
\*  
\* BARA BAGLANTI MATRISINI KULLANARAK ENERJI \*  
\* SISTEMININ MODELLENMESI \*  
\*  
\* DIMENSION A(20,20), ZP(20,20), C1(20,20), YB(20,20),  
\* ZP1(20,20), B(20,20), K1(20,20)  
INTEGER B  
DO 222 KL=1,9  
WRITE(6,\* )KL  
IT=0  
IB=0  
ISLC=0  
READ(5,100) N,M  
WRITE(6,FMT='(/1X,''!''',52(''-'''),'''!''')')  
WRITE(6,170)  
170 FORMAT(10 X,'BARA BAGLANTI MATRISI=A')  
WRITE(6,FMT='(1X,''!''',52(''-'''),'''!''',/))  
DO 5 I=1,M  
5 READ(5,110)(B(I,J),J=1,N)  
DO 51 J=1,N  
51 WRITE(6,160)(B(I,J),I=1,M)  
160 FORMAT(5 X,18(I2,2 X))  
WRITE(6,FMT='(/1X,''!''',52(''-'''),'''!''',/))  
WRITE(6,150)  
150 FORMAT(10 X,'PRIMITIVE EMPEDANS MATRISI=ZP')  
WRITE(6,FMT='(1X,''!''',52(''-'''),'''!''',/))  
DO 6 I=1,M  
6 READ(5,120)(ZP(I,J),J=1,M)  
DO 11 I=1,M  
11 WRITE(6,140)(ZP(I,J),J=1,M)  
CALL MATIN(ZP,M,IT,ISLC)  
WRITE(6,FMT='(/1X,''!''',52(''-'''),'''!''')')  
WRITE(6,180)  
180 FORMAT(10 X,'PRIMITIVE ADMITANS MATRISI=YP')  
WRITE(6,FMT='(1X,''!''',52(''-'''),'''!''',/))  
DO 10 I=1,M  
10 WRITE(6,130)(ZP(I,J),J=1,M)  
WRITE(6,FMT='(/1X,''!''',52(''-'''),'''!''')')  
CALL TRACP(B,ZP,YB,M,N,IT,ISLC)  
WRITE(6,FMT='(/1X,''!''',52(''-'''),'''!''')')  
WRITE(6,190)  
190 FORMAT(10 X,'BARA ADMITANS MATRISI=YB')  
WRITE(6,FMT='(1X,''!''',52(''-'''),'''!''',/))  
DO 8 I=1,N  
8 WRITE(6,130)(YB(I,J),J=1,N)  
WRITE(6,FMT='(1X,''!''',52(''-'''),'''!''')')  
WRITE(6,123), IT, ISLC  
WRITE(6,FMT='(1X,''!''',52(''-'''),'''!''',/))  
100 FORMAT(2 I2)  
110 FORMAT(30 I2)  
120 FORMAT(13(F3.1))  
130 FORMAT(5 X,8(F8.3,2 X))  
140 FORMAT(5 X,13(F3.1,2 X))



```
CALL MATIN(YB,N,IT,ISLC)
WRITE(6,FMT='(1X,'''',52(''-''),''''))'
WRITE(6,200)
200 FORMAT(10 X,'BARA EMPEDANS MATRISI=ZB')
WRITE(6,FMT='(1X,'''',52(''-''),'''',/)')
DO 7 I=1,N
7 WRITE(6,130)(YB(I,J),J=1,N)
WRITE(6,FMT='(1X,'''',52(''-''),''''))'
222 WRITE(6,123)IT,ISLC
WRITE(6,FMT='(1X,'''',52(''-''),'''',/)')
123 FORMAT(10 X,'PROGRAM BOYUNCA YAPILAN ISLEM SAYILARI',
*10 X,'TOPLAMA SAYISI',10X,'CARPMA SAYISI',/18X,I5,14X,I5)
123 FORMAT(/10 X,'PROGRAMDA BURAYA KADAR YAPILAN ISLEM SAYILARI'
*8 X,'TOPLAMA SAYISI',2X,' CARPMA SAYISI',2X,'BOLME SAYISI',
*2 X,'TOP. ISLEM SAYISI',/10X,I5,14X,I5,8X,I5,13X,I5)
STOP
END
SUBROUTINE TCARP(K1,YP,YB,M,N,IT,ISLC)
DIMENSION K1(20,20),YP(20,20),C1(20,20),YB(20,20)
DO 5 I=1,N
DO 5 J=1,M
C1(I,J)=0
DO 55 L=1,M
PRINT*, 'A=',K1(L,J), ' YP=',YP(L,J)
PRINT*, 'A('',L,'',',I,',')=',K1(L,I), ' YP('',L,'',',J,',')=',YP(L,J)
IT=IT+1
ISLC=ISLC+1
55 C1(I,J)=C1(I,J)+K1(L,I)*YP(L,J)
PRINT*, 'C1('',I,'',',J,',')=',C1(I,J)
CONTINUE
WRITE(6,*)"C1 MATRISI"
DO 10 I=1,N
10 WRITE(6,135)(C1(I,J),J=1,M)
135 FORMAT(5 X,B(F6.3,2 X))
DO 6 I=1,N
DO 6 J=1,N
YB(I,J)=0
DO 6 L=1,M
ISLC=ISLC+1
IT=IT+1
6 YB(I,J)=YB(I,J)+C1(I,L)*K1(L,J)
RETURN
END
SUBROUTINE MATIN(A,N,IT,ISLC)
DIMENSION A(20,20)
DO 50 K=1,N
DO 20 I=1,N
DO 20 J=1,N
IF(I.EQ.K.OR.J.EQ.K) GOTO 20
ISLC=ISLC+1
IT=IT+1
A(I,J)=A(I,J)-A(I,K)*A(K,J)/A(K,K)
20 CONTINUE
A(K,K)=-1 0/A(K,K)
DO 30 I=1,N
IF(I.EQ.K) GOTO 30
ISLC=ISLC+1
A(I,K)=A(I,K)*A(K,K)
30 CONTINUE
```



```
DO 40 J=1,N
IF(J.EQ.K) GOTO 40
A(K,J)=A(K,J)*A(K,K)
40 CONTINUE
50 CONTINUE
DO 60 I=1,N
DO 60 J=1,N
ISLC=ISLC+1
A(I,J)=-A(I,J)
60 CONTINUE
RETURN
END
SUBROUTINE DONUS(Z,Z1,Z2,Z3,Z4,N,K)
DIMENSION Z(20,20),Z1(20,20),Z2(20,20),Z3(20,20),Z4(20,20)
N1=N+1
DO 5 I=1,N
DO 5 J=1,N
5 Z1(I,J)=Z(I,J)
DO 6 I=1,N
DO 6 J=N1,K
K1=J-N
6 Z2(I,K1)=Z(I,J)
DO 7 I=N1,K
K1=I-N
DO 7 J=1,N
7 Z3(K1,J)=Z(I,J)
DO 8 I=N1,K
K1=I-N
DO 8 J=N1,K
K2=J-N
8 Z4(K1,K2)=Z(I,J)
RETURN
END
SUBROUTINE DERS(Z1,Z2,Z3,Z4,ZD,M2,M1,IT,ISLC)
DIMENSION Z1(20,20),Z2(20,20),Z3(20,20),Z4(20,20),
*A1(20,20),A2(20,20),ZD(20,20)
DO 1 I=1,M1
DO 1 J=1,M2
A1(I,J)=0
DO 1 K=1,M2
ISLC=ISLC+1
IT=IT+1
A1(I,J)=A1(I,J)+Z2(I,K)*Z4(K,J)
DO 2 I=1,N1
DO 2 J=1,N1
A2(I,J)=0
DO 2 K=1,M2
ISLC=ISLC+1
IT=IT+1
2 A2(I,J)=A2(I,J)+A1(I,K)*Z3(K,J)
DO 3 I=1,M1
DO 3 J=1,M1
IT=IT+1
3 ZD(I,J)=Z1(I,J)-A2(I,J)
RETURN
END
```

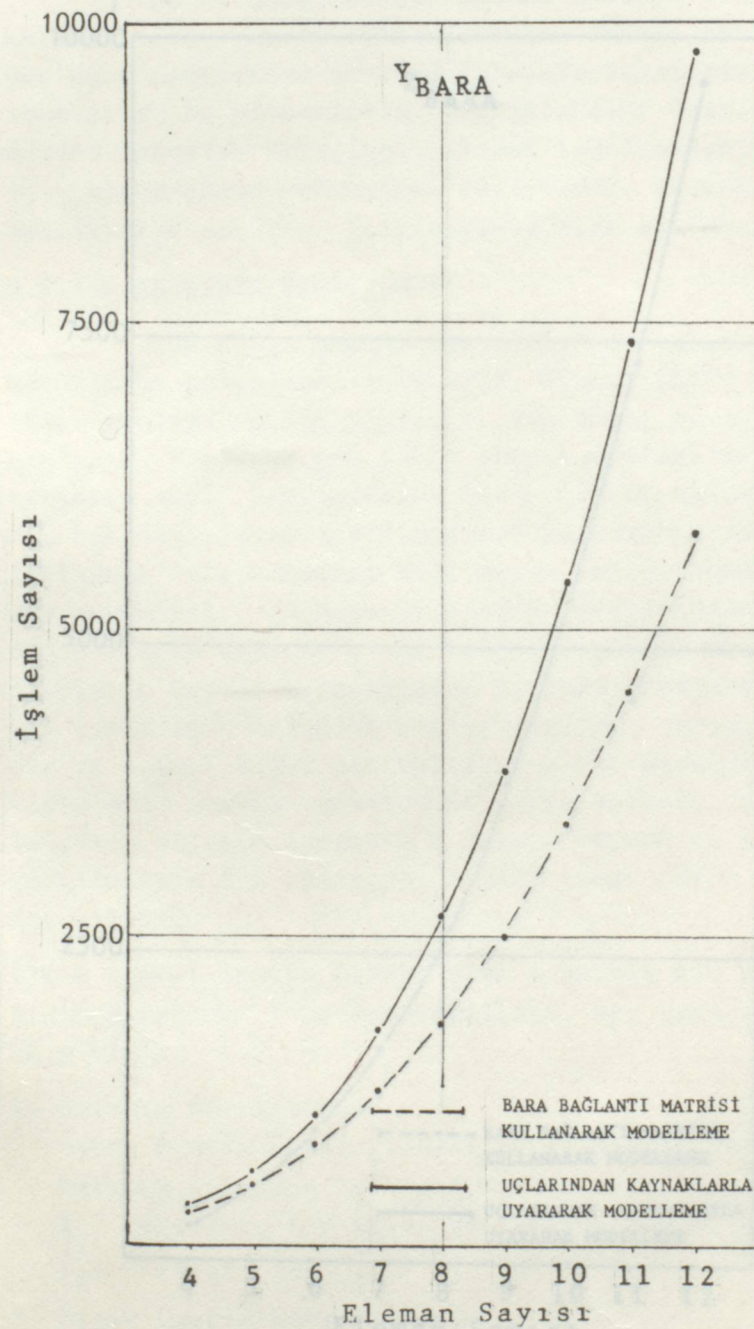
2.3. MODELLEME YÖNTEMLERİNİN KARŞILAŞTIRILMASI:

BİLGİSAYAR ÇIKIŞLARI

MOD NUMARASI	ISLEM	BARA BAGLANTI MATRISINI KULLANARAK SISTEMIN MODELLENMESI		UCLARINDAN KAYNAKLARLA UYARILARAK SISTEMIN MODELLENMESI	
		YBARA	ZBARA	YBARA	ZBARA
1	T	120	132	161	149
	C	148	175	168	141
	B	40	55	16	1
	GT	308	362	345	291
2	T	200	212	303	291
	C	245	272	315	288
	B	85	100	19	4
	GT	530	584	637	583
3	T	312	324	519	507
	C	378	405	540	513
	B	156	171	30	15
	GT	846	900	1089	1035
4	T	462	474	827	815
	C	553	580	861	834
	B	259	274	55	40
	GT	1274	1328	1743	1689
5	T	656	668	1245	1233
	C	776	803	1296	1269
	B	400	415	100	85
	GT	1832	1886	2641	2587
6	T	900	912	1791	1779
	C	1053	1080	1863	1836
	B	585	600	171	156
	GT	2538	2592	3825	3771
7	T	1200	1212	2483	2471
	C	1390	1417	2580	2553
	B	820	835	274	259
	GT	3410	3464	5337	5283
8	T	1562	1574	3339	3327
	C	1793	1820	3465	3438
	B	1111	1126	415	400
	GT	4466	4520	7219	7165
9	T	1992	2004	4377	4365
	C	2268	2295	4536	4509
	B	1464	1479	600	585
	GT	5724	5778	9513	9459



2.3. MODELLEME YÖNTEMLERİNİN KARŞILAŞTIRILMASI:

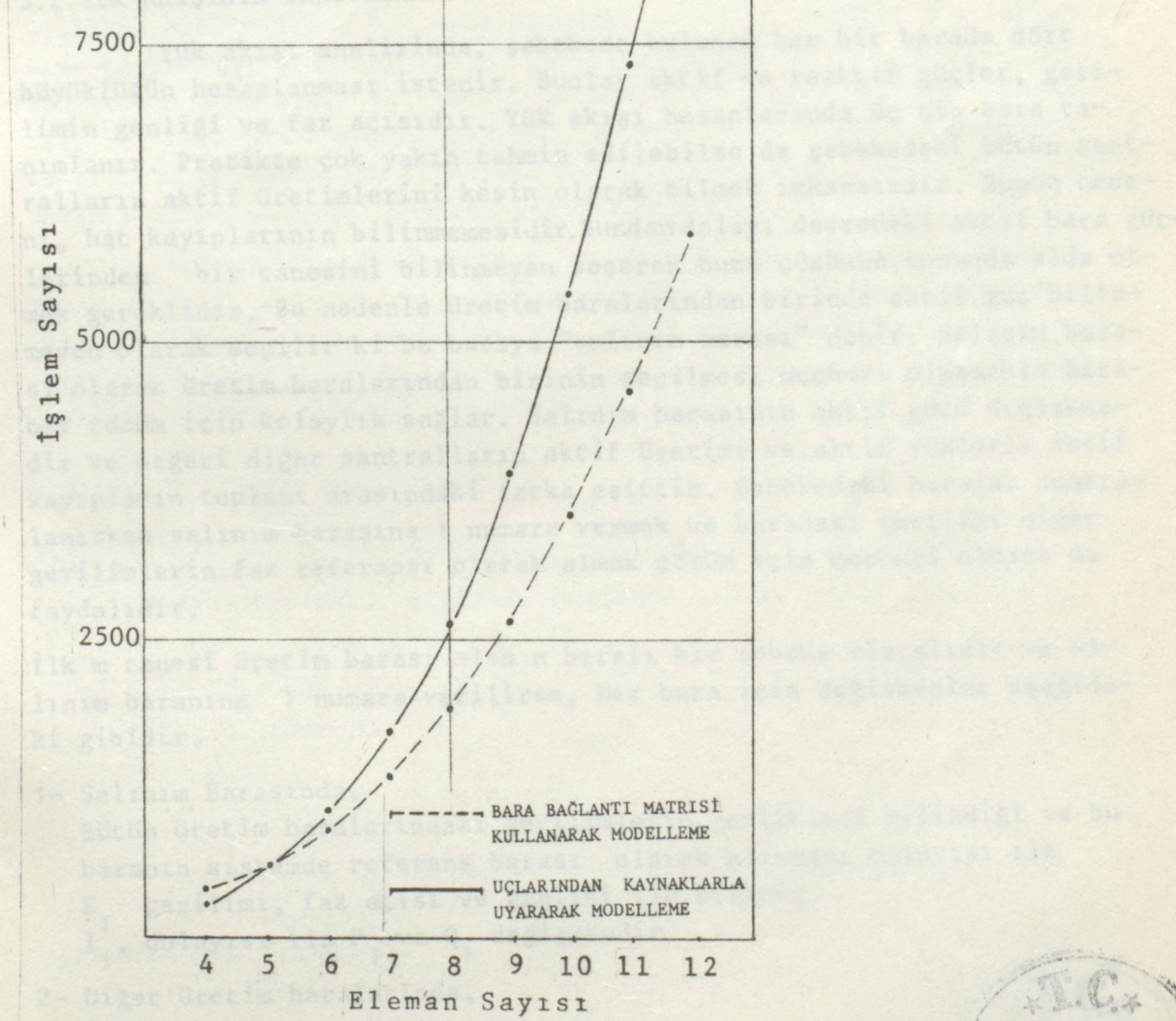


### BÖLÜM III YÜK AKIS ANALİZİ ÇÖZÜM YÖNTEMLERİ

#### 3.1. GİRİŞ

Z BARA bölümde, bundan önceki bölümde side edilen sebeke modeli yük akış analizinin side edilmesi konusunda, farklı yöntemlerden biri olan Z BARA yönteminin sebeke modeli uygulanmasından side edilen sonuçlar karşılaştırılarak İrdalı ve Z BARA akış analizi için uygun ölçüs yorumlaşılıp belirlenmiş ve bu bölümde Z BARA problemi uygulanarak sonuçlar bilgisayarla side edilmiştir.

#### 3.2. Z BARA'NIN TANITIMASI



p = Z<sub>ij</sub>, i, j = 1, ..., n, i ≠ j  
Geleneksel, i ve j, degerleri



### BÖLÜM III

#### YÜK AKIŞ ANALİZİ ÇÖZÜM YÖNTEMLERİ

##### 3.1. GİRİŞ

Bu bölümde, bundan önceki bölümde elde edilen şebeke modeli kullanılarak, enerji sistemlerinin önemli problemlerinden biri olan yük akış analizinin elde edilmesinde kullanılan çözüm yöntemleri özetlenmiştir. Bu yöntemlerin test şebekeler üzerine uygulanmasından elde edilen sonuçlar karşılaştırılarak irdelenmiştir. Yük akış analizi için uygun çözüm yöntemleri belirlenmiş ve ele alınan örnek probleme uygulanarak sonuçlar bilgisayarla elde edilmiştir.

##### 3.2. YÜK AKIŞININ TANITILMASI

Yük akışı analizinde, şebekede bulunan her bir barada dört büyülügün hesaplanması istenir. Bunlar aktif ve reaktif güçler, gerilimin genliği ve faz açısıdır. Yük akışı hesaplarında üç tip bara tanımlanır. Pratikte çok yakın tahmin edilebilse de şebekedeki bütün santralların aktif üretimlerini kesin olarak bilmek imkansızdır. Bunun nedeni, hat kayıplarının bilinmemesidir. Bundan dolayı devredeki aktif bara güçlerinden bir tanesini bilinmeyen seçerek bunu çözümün sonunda elde etmek gereklidir. Bu nedenle üretim baralarından birinde aktif güç bilinmeyen olarak seçilir ki bu baraya "salınım barası" denir. Salınım barası olarak üretim baralarından birinin seçilmesi mecburi olmamakla beraber çözüm için kolaylık sağlar. Salınım barasının aktif gücü değişkendir ve değeri diğer santralların aktif üretimi ve aktif yüklerle aktif kayıpların toplamı arasındaki farka eşittir. Şebekedeki baralar numaralandırırken salınım barasına 1 numara vermek ve baradaki gerilimi diğer gerilimlerin faz referansı olarak almak çözüm için mecburi olmaya da faydalıdır.

İlk  $m$  tanesi üretim barası olan  $n$  baralı bir şebeke ele alınır ve salınım baranına 1 numara verilirse, her bara için değişkenler aşağıdaki gibidir.

###### 1- Salınım Barasında,

Bütün üretim baralarındaki gerilimlerin genlikleri bilindiği ve bu baranın sisteme referans barası olarak alınması dolayısı ile  $E_1$  gerilimi, faz açısı ve genliği ile bilinir.  
 $I_1^1$ , dolayısı ile  $P_1$  ve  $Q_1$  değişkendir.

###### 2- Diğer üretim baralarında,

$p = 2, \dots, m$  için  $E_p$  ve  $P_p$  bilinir  
Gerilim açısı,  $I_p$  ve  $Q_p$  değişkendir.



3- Bütün Yük baralarında,

$p = (m+1), \dots, n$  için  $P_p$  ve  $Q_p$  bilinir.  
 $E_p$  ve  $I_p$  değişkendir.

Etkili bilgisayar programlarında iki hususa dikkat etmek gereklidir. Bunlar şebekenin matematiksel modelinin kolayca formülleştirilmesi ve eşitlikleri çözerken uygun sayısal yöntemlerin kullanılmasıdır. Şebekeler büyük ölçüde nonlinear denklemlerin çözümü zorlaşır. Bu nedenle enerji sistemi denklemlerinin çözümünde nümerik çözüm yöntemleri tercih edilir.

Yük akış analizi için veriler, şebekedeki yük tevzii merkezlerinden elde edilir. Yük baralarındaki aktif ve reaktif güç ihtiyacının santrallar arasında nasıl paylaştırıldığı ve santralların gerilimlerinin genlikleri yük tevzii merkezince bilinir. Geriye kalanlar ise, her baradaki karmaşık gerilim, santralların reaktif üretimleri ve çekilen gücün hatlar arasında nasıl dağıldığıdır. Bunlarda bu problemi bilinmeyecek olanları meydana getirir.

Yük akış analizinde  $Z_{BARA}$  veya  $Y_{BARA}$  matrisleri kullanılabilirse de  $Z_{BARA}$  matrisi daha ziyade kısa devre analizi  $Y_{BARA}$  matrisi ise yük analizi için daha uygundur.  $Y_{BARA}$  matrisi sistemin tek hat diyagramından hareketle ve taşıma hatlarının seri empedansı ve gönt admittansı da dikkate alınarak hesaplanır.

### 3.3. ENERJİ SİSTEM DENKLEMLERİ

#### 3.3.1. Şebeke Tanım Denklemleri

Bara empedans matrisini kullanan şebeke tanım denklemi,

$$E = Z_{BARA} \cdot I \quad (3.1)$$

veya admitans formunda,

$$I = Y_{BARA} \cdot E \quad (3.2)$$

dir.

Bara çevre matrisini kullanan şebeke tanım denklemi ise,

$$E = Z_{ÇEVRE} \cdot I$$

veya admitans formunda,

$$I = Y_{ÇEVRE} \cdot E$$

şeklindedir.



### 3.3.2 Bara Yük Denklemleri

Herhangi bir  $p$  barasında aktif ve reaktif güç :

$$P_p - jQ_p = E_p^* I_p$$

ve akım,

$$I_p = \frac{P_p - jQ_p}{E_p^*} \quad (3.3)$$

Burada,  $I_p$  sisteme aktığında pozitiftir.

Şebeke denklemi formülünde toprağa göre şönt elemanlar matris parametrelerine dahil edilirse, (3.3) denklemindeki akım baradaki toplam akımdır. Diğer taraftan, şönt elemanlar matris parametrelerine dahil edilmezse,  $p$  barasındaki toplam akım

$$I_p = \frac{P_p - jQ_p}{E_p^*} - y_p E_p$$

Burada  $y_p$ , baradaki toplam şönt admitans ve  $y_p E_p$  ise  $p$  barasından toprağa akan şönt akımdır.

### 3.3.3 Hat Akış Denklemleri :

Bara gerilimlerinin iteratif çözümü tamamlandıktan sonra hat akısları hesaplanır.  $p$  ve  $q$  barasını bağıyan hatta  $p$  barasındaki akım;

$$i_{pq} = (E_p - E_q)y_{pq} + E_p \frac{y'_{pq}}{2}$$

Burada  $y_{pq}$  = Hattın admitansı

$y'_{pq}$  = Toplam hattın şönt admitansı (şarj admitansı)

$$E_p \frac{y'_{pq}}{2} = \text{Hat şarjının } p \text{ barasında meydana getirdiği akım.}$$

Aktif ve reaktif yük akısı ise;

$$P_{pq} - jQ_{pq} = E_p^* i_{pq}$$

veya

$$P_{pq} - jQ_{pq} = E_p^*(E_p - E_q)y_{pq} + E_p^* E_p \frac{y'_{pq}}{2} \quad (3.4)$$

Burada  $p$  barasından  $q$  barasına aktif güç akısı  $P_{pq}$  ve reaktif güç akısı ise  $Q_{pq}$  dur. Benzer şekilde  $q$  barasından  $p$  barasına güç akısı;

$$P_{qp} - jQ_{qp} = E_q^*(E_q - E_p)y_{pq} + E_q^* E_q \frac{y'_{pq}}{2} \quad (3.5)$$

$p-q$  hattında güç kaybı (3.4) ve (3.5) denklemlerinden hesaplanan yük



akışlarının cebirsel toplamıdır.

### 3.4. YÜK AKIŞ ANALİZİ ÇÖZÜM YÖNTEMLERİ

Yük akış analizinde kullanılan belli başlı çözüm yöntemlerini kısaca aşağıdaki gibi sıralayabiliriz.

- 1-  $Y_{BARA}$  kullanılan Gauss yöntemi
- 2-  $Y_{BARA}$  kullanılan Gauss-Seidel yöntemi
- 3-  $Y_{BARA}$  kullanılan Relaxation yöntemi
- 4-  $Y_{BARA}$  kullanılan Newton-Raphson yöntemi
- 5-  $Z_{BARA}$  kullanılan Gauss-Seidel yöntemi
- 6-  $Y_{GEVRE}$  kullanılan Gauss yöntemi

#### 3.4.1. $Y_{BARA}$ kullanılan Gauss Yöntemi :

Gerilimin belirli bir değerde sabit kaldığı salınım barası hariç diğer bütün baralar için gerilim değerleri kabul edilerek yük akış probleminin çözümüne başlanır. Daha sonra bara yükleme denkleminden  $s$  salınım barası hariç bütün baralar için akımlar hesaplanır.

$$I_p = \frac{P_p - jQ_p}{E_p^*} \quad p = 1, 2, \dots, n \quad (3.6)$$

Burada,  $n$  : şebekedeki bara sayısıdır. Şebeke tanım denklemi (3.7) işe aşağıdaki gibidir.

$$I = Y_{BARA} E \quad (3.7)$$

Toprak referans barası olarak seçilirse  $n - 1$  adet eş zamanlı denklem (3.8)'deki gibi yazılabilir.

$$E_p = \frac{1}{Y_{pp}} \left( I_p - \sum_{\substack{q=1 \\ q \neq p}}^n Y_{pq} E_q \right) \quad p = 1, 2, \dots, n \quad (3.8)$$

(3.6) denkleminden bara akımları hesaplanmıştır. Salınım barası gerilimi ve tahmini bara gerilimleri (3.8) denklemine konarak yeni bir bara gerilim denklemi elde edilir. (3.8) denklemi çözmek üzere bara akımlarını hesaplamak için (3.6) denkleminde yeni gerilimler kullanılır. Bu işleme bütün bara gerilimlerindeki değişimler (sapmalar) ihmal edilebilecek bir değere ininceye kadar devam edilir. Gerilim çözümü elde edildikten sonra salınım barasındaki güç ve hat akışları hesaplanır. Şebeke tanım denklemi (3.8) ve bara yükleme denklemi (3.6) birleştirilerek sadece bara gerilimlerinin değişken olduğu (3.9) denklemi elde edilir.



$$E_p = \frac{1}{Y_{pp}} \left( \frac{P_p - jQ_p}{E_p^*} - \sum_{\substack{q=1 \\ q \neq p}}^n Y_{pq} E_q \right) \quad \begin{array}{l} p = 1, 2, \dots, n \\ p \neq s \end{array} \quad (3.9)$$

Bu şekilde formüle edilen yük akış problemi iteratif yöntemlerle çözülebilen bir takım nonlinear denklemler ortaya çıkarmıştır. Iteratif hesaplamaya başlamadan önce mümkün olduğu kadar aritmetik işlem yaparak çözüm için bilgisayar zamanında belirgin bir azalma temin edilir. (3.9) denkleminde,

$$\frac{1}{Y_{pp}} = L_p$$

yazılıarak,

$$E_p = \frac{(P_p - jQ_p)L_p}{E_p^*} - \sum_{\substack{q=1 \\ q \neq p}}^n Y_{pq} L_p E_q \quad \begin{array}{l} p = 1, 2, \dots, n \\ p \neq s \end{array} \quad (3.10)$$

denklemi elde edilir. Burada,

$$(P_p - jQ_p)L_p = KL_p$$

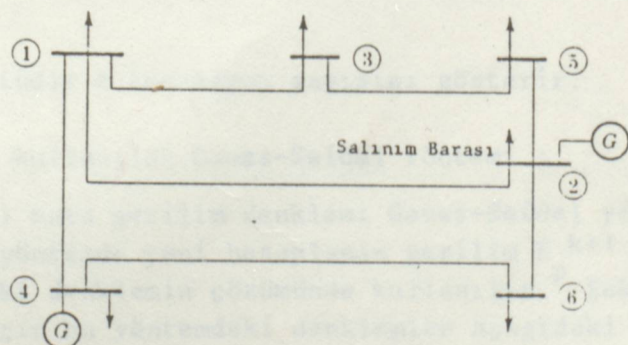
ve

$$Y_{pq}L_p = YL_{pq}$$

konarak bara gerilim denklemi (3.10)'dan (3.11) elde edilir.

$$E_p = \frac{KL_p}{E_p^*} - \sum_{\substack{q=1 \\ q \neq p}}^n YL_{pq} E_q \quad \begin{array}{l} p = 1, 2, \dots, n \\ p \neq s \end{array} \quad (3.11)$$

Yük akış analizinde sistem dengeli kabul edilir ve pozitif-sequence devreye eşdeğer tek fazlı bir gösteriliş kullanılır. Kuplaj olmadığından bara admitans matrisinin birçok elemanı sıfır olacaktır. Şekil-3.1'de gösterilen sisteme 2 numaralı bara salınınmaması olarak seçilirse, gauss yöntemi için formüller aşağıdaki gibi olur.



Bara q		1	2	3	4	5	6
Y <sub>BARA</sub>	1	Y <sub>11</sub>	Y <sub>12</sub>	Y <sub>13</sub>	Y <sub>14</sub>		
	2	Y <sub>21</sub>	Y <sub>22</sub>			Y <sub>25</sub>	Y <sub>26</sub>
	3	Y <sub>31</sub>		Y <sub>33</sub>		Y <sub>35</sub>	
	4	Y <sub>41</sub>			Y <sub>44</sub>		Y <sub>46</sub>
	5		Y <sub>52</sub>	Y <sub>53</sub>		Y <sub>55</sub>	
	6	-	Y <sub>62</sub>		Y <sub>64</sub>		Y <sub>66</sub>

Şekil-3.1 Bir enerji sisteminin tek hat diyagramı ve  
bara admitans matrisi.

$$E_1^{k+1} = \frac{KL_1}{(E_1^k)^*} - YL_{12}E_2 - YL_{13}E_3^k - YL_{14}E_4^k$$

E<sub>2</sub> = Belirli sabit değer

$$E_3^{k+1} = \frac{KL_3}{(E_3^k)^*} - YL_{31}E_1^k - YL_{35}E_5^k$$

$$E_4^{k+1} = \frac{KL_4}{(E_4^k)^*} - YL_{41}E_1^k - YL_{46}E_6^k$$

$$E_5^{k+1} = \frac{KL_5}{(E_5^k)^*} - YL_{52}E_2 - YL_{53}E_3^k$$

$$E_6^{k+1} = \frac{KL_6}{(E_6^k)^*} - YL_{62}E_2 - YL_{64}E_4^k$$

Burada, üst indis k iterasyon sayısını gösterir.

#### 3.4.2. Y<sub>BARA</sub> kullanılan Gauss-Seidel Yöntemi :

(3.11) bara gerilim denklemi Gauss-Seidel yöntemi ile de çözülebilir. Bu yöntemde yeni hesaplanan gerilim E<sup>k+1</sup> yerine E<sup>k</sup><sub>p</sub> konur ve bundan sonraki denklemin çözümünde kullanılır.<sup>P</sup> Şekil-3.1'de gösterilen sistem için bu yöntemdeki denklemler aşağıdaki gibidir.

$$E_1^{k+1} = \frac{KL_1}{(E_1^k)^*} - YL_{12}E_2 - YL_{13}E_3^k - YL_{14}E_4^k$$

E<sub>2</sub> = Belirli sabit değer



$$E_3^{k+1} = \frac{KL_3}{(E_3^k)^*} - YL_{31}E_1^{k+1} - YL_{35}E_5^k$$

$$E_4^{k+1} = \frac{KL_4}{(E_4^k)^*} - YL_{41}E_1^{k+1} - YL_{46}E_6^k$$

$$E_5^{k+1} = \frac{KL_5}{(E_5^k)^*} - YL_{52}E_2 - YL_{53}E_3^{k+1}$$

$$E_6^{k+1} = \frac{KL_6}{(E_6^k)^*} - YL_{62}E_2 - YL_{64}E_4^{k+1}$$

### 3.4.3. Y<sub>BARA</sub> kullanılan Newton-Raphson Yöntemi :

Bara gerilimleri açısından belirli aktif ve reaktif güçleri ifade eden nonlinear denklem takımı kullanılarak Newton-Raphson yöntemi ile yük akış analizi yapılabilir. p barasındaki yük (3.12) 'deki gibidir.

$$P_p - jQ_p = E_p^* I_p \quad (3.12)$$

(3.12) deki I<sub>p</sub> için (3.7) şebeke tanım denklemindeki değeri yerine konarak (3.13) elde edilir.

$$P_p - jQ_p = E_p^* \sum_{q=1}^n Y_{pq} E_q \quad (3.13)$$

$E_p = e_p + jf_p$  ve  $Y_{pq} = G_{pq} - jB_{pq}$  olduğundan (3.13) denklemi,

$$P_p - jQ_p = (e_p - jf_p) \sum_{q=1}^n (G_{pq} - jB_{pq})(e_q + jf_q)$$

olur. Reel ve imajiner kısımları ayrıldığında (3.14) denklemi elde edilir.

$$P_p = \sum_{q=1}^n \{e_p(e_q G_{pq} + f_q B_{pq}) + f_p(f_q G_{pq} - e_q B_{pq})\} \quad (3.14)$$

$$Q_p = \sum_{q=1}^n \{f_p(e_q G_{pq} + f_q B_{pq}) - e_p(f_q G_{pq} - e_q B_{pq})\}$$

Bu formülasyon bir takım nonlinear eşzamanlı denklemleri verir. Bunlar sistemin her bir barası için iki tanedir. Aktif ve reaktif güçlerin değerleri P<sub>p</sub> ve Q<sub>p</sub> bilinmektedir. Gerilimin belirli ve sabit bir değerde olduğu salınım barası hariç diğer bütün baralarda gerilimin reel ve imajiner bileşenleri olan e<sub>p</sub> ve f<sub>p</sub> bilinmemektedir. Dolayısı ile yük akış probleminin çözümünde 2(n-1) adet denklem çözülür.

Aktif ve reaktif güç değişimleri arasındaki bağıntıyı ifade etmek için Newton-Raphson yöntemi bir takım lineer denklemi gerektirir



ve bara gerilim bileşenleri aşağıdaki gibidir.

$$\begin{array}{c|cc|cc|c} \Delta P_1 & \frac{\partial P_1}{\partial e_1} & \dots & \frac{\partial P_1}{\partial e_{n-1}} & \frac{\partial P_1}{\partial f_1} & \dots & \frac{\partial P_1}{\partial f_{n-1}} \\ \dots & \dots & \dots & \dots & \dots & \dots & \dots \\ \Delta P_{n-1} & \frac{\partial P_{n-1}}{\partial e_1} & \dots & \frac{\partial P_{n-1}}{\partial e_{n-1}} & \frac{\partial P_{n-1}}{\partial f_1} & \dots & \frac{\partial P_{n-1}}{\partial f_{n-1}} \\ \hline \Delta Q_1 & \frac{\partial Q_1}{\partial e_1} & \dots & \frac{\partial Q_1}{\partial e_{n-1}} & \frac{\partial Q_1}{\partial f_1} & \dots & \frac{\partial Q_1}{\partial f_{n-1}} \\ \dots & \dots & \dots & \dots & \dots & \dots & \dots \\ \Delta Q_{n-1} & \frac{\partial Q_{n-1}}{\partial e_1} & \dots & \frac{\partial Q_{n-1}}{\partial e_{n-1}} & \frac{\partial Q_{n-1}}{\partial f_1} & \dots & \frac{\partial Q_{n-1}}{\partial f_{n-1}} \end{array} = \begin{array}{c|cc|cc|c} \Delta e_1 & & & & & \\ \dots & & & & & \\ \Delta e_{n-1} & & & & & \\ \hline \Delta f_1 & & & & & \\ \dots & & & & & \\ \Delta f_{n-1} & & & & & \end{array} \quad (3.15)$$

Burada katsayılar matrisi Jakobien ve n. bara salınım barasıdır.

(3.15) denklemi matris formunda aşağıdaki gibi yazılır.

$$\begin{array}{c|cc|c} \Delta P & J_1 & J_2 & \Delta e \\ \hline \Delta Q & J_3 & J_4 & \Delta f \end{array}$$

Bu yazılısta Jakobien elemanlarını belirliyen denklemler bara güç denklemelerinden elde edilebilir. (3.14) denkleminden aktif güç aşağıdaki gibidir.

$$\begin{aligned} P_p &= e_p(e_p G_{pp} + f_p B_{pp}) + f_p(f_p G_{pp} - e_p B_{pp}) \\ &+ \sum_{\substack{q=1 \\ q \neq p}}^n \{e_p(e_q G_{pq} + f_q B_{pq}) + f_p(f_q G_{pq} - e_q B_{pq})\} \\ &\quad p = 1, 2, \dots, n-1 \end{aligned} \quad (3.21)$$

$J_1$ 'in köşegen dışındaki elemanlarının diferansiyeli,

$$\frac{\partial P_p}{\partial e_q} = e_p G_{pq} - f_p B_{pq} \quad q \neq p$$

olur.  $J_1$ 'in diagonal üzerindeki elemanları ise,

$$\frac{\partial P_p}{\partial e_p} = 2e_p G_{pp} + f_p B_{pp} - f_p B_{pp} + \sum_{\substack{q=1 \\ q \neq p}}^n (e_q G_{pq} + f_q B_{pq}) \quad (3.17)$$

dir. Bununla beraber p barasındaki akım denklemi,

$$I_p = c_p + jd_p = (G_{pp} - jB_{pp})(e_p + jf_p) + \sum_{\substack{q=1 \\ q \neq p}}^n (G_{pq} - jB_{pq})(e_q + jf_q)$$

dir. Bu denklem reel ve imajiner kısımlarına ayrılırsa,



$$\begin{aligned}
 c_p &= e_p G_{pp} + f_p B_{pp} + \sum_{\substack{q=1 \\ q \neq p}}^n (e_q G_{pq} + f_q B_{pq}) \\
 d_p &= f_p G_{pp} - e_p B_{pp} + \sum_{\substack{q=1 \\ q \neq p}}^n (f_q G_{pq} - e_q B_{pq}) \\
 p &= 1, 2, \dots, n-1
 \end{aligned} \tag{3.18}$$

olur. (3.17) denkleminde akımın reel bileşeni  $C_p$  yerine konarak  $J_1$  köşegen üzerindeki elemanları basitleştirilebilir. Buradan,

$$\frac{\partial P_p}{\partial e_p} = e_p G_{pp} - f_p B_{pp} + c_p$$

denklemi elde edilir. (3.16) denkleminden  $J_2$ 'nin diagonal dışındaki elemanları,

$$\frac{\partial P_p}{\partial f_q} = e_p B_{pq} + f_p G_{pq} \quad q \neq p$$

ve  $J_2$ 'nin diagonal üzerindeki elemanları ise,

$$\frac{\partial P_p}{\partial f_p} = e_p B_{pp} + 2f_p G_{pp} - e_p B_{pp} + \sum_{\substack{q=1 \\ q \neq p}}^n (f_q G_{pq} - e_q B_{pq}) \tag{3.19}$$

(3.18) denklemindeki akımın imajiner bileşeni (3.19) denkleminde yere  
rine konursa,

$$\frac{\partial P_p}{\partial f_p} = e_p B_{pp} + f_p G_{pp} + d_p$$

elde edilir. (3.14) denkleminden reaktif güç,

$$\begin{aligned}
 Q_p &= f_p(e_p G_{pp} + f_p B_{pp}) - e_p(f_p G_{pp} - e_p B_{pp}) \\
 &\quad + \sum_{\substack{q=1 \\ q \neq p}}^n \{f_p(e_q G_{pq} + f_q B_{pq}) - e_p(f_q G_{pq} - e_q B_{pq})\} \\
 p &= 1, 2, \dots, n-1
 \end{aligned} \tag{3.20}$$

elde edilir.  $J_3$ 'ün diagonalı dışındaki elemanlarının diferansiyeli,

$$\frac{\partial Q_p}{\partial e_q} = e_p B_{pq} + f_p G_{pq} \quad q \neq p$$

ve  $J_3$ 'ün diagonal üzerindeki elemanları ise,

$$\frac{\partial Q_p}{\partial e_p} = f_p G_{pp} - f_p G_{pp} + 2e_p B_{pp} - \sum_{\substack{q=1 \\ q \neq p}}^n (f_q G_{pq} - e_q B_{pq}) \tag{3.21}$$

(3.18) denkleminde akımın imajiner bileşeni (3.21) denkleminde yeri-  
ne konursa,

$$\frac{\partial Q_p}{\partial e_p} = e_p B_{pp} + f_p G_{pp} - d_p$$

elde edilir. (3.20) denkleminden  $J_4$ 'ün diagonal dışındaki elemanları,

$$\frac{\partial Q_p}{\partial f_q} = -e_p G_{pq} + f_p B_{pq} \quad q \neq p$$

ve  $J_4$ 'ün diagonal üzerindeki elemanları ise,

$$\frac{\partial Q_p}{\partial f_p} = e_p G_{pp} + 2f_p B_{pp} - e_p G_{pp} + \sum_{\substack{q=1 \\ q \neq p}}^n (e_q G_{pq} + f_q B_{pq}) \tag{3.22}$$

olarak elde edilir. (3.18) denkleminde akımın reel bileşeni (3.22) denk-



leminde yerine konursa,

$$\frac{\partial Q_p}{\partial f_p} = -c_p G_{pp} + f_p B_{pp} + c_p$$

elde edilir.

Bara gerilimleri için belirli bir başlangıç değerleri verile-rek (3.14) denklemlerinden aktif ve reaktif güçler hesaplanır. Güçte-ki değişimler önceden belirlenen ve hesaplanan değerler arasındaki farka eşittir.

$$P_p^k = P_p \text{ (ön görülen)} - P_p^k$$

$$Q_p^k = Q_p \text{ (ön görülen)} - Q_p^k \quad p = 1, 2, \dots, n-1$$

Tahmini bara gerilimleri ve hesaplanan güçler jacobienin elemanlarını bulmak için bara akımlarının hesaplanması kullanılır. (3.15) lineer denklem takımı  $\Delta e_p^k$  ve  $\Delta f_p^k \quad p = 1, 2, \dots, n-1$  için direkt veya ite-ratif yöntemle çözülür. Bara gerilimleri için yeni tahmini değerler,

$$e_p^{k+1} = e_p^k + \Delta e_p^k$$

$$f_p^{k+1} = f_p^k + \Delta f_p^k$$

dır. Bütün baralarda  $\Delta P_p^k$  ve  $\Delta Q_p^k$  belirli töleranslar içinde kala-na kadar işlem tekrarlanır.

Newton-Raphson yöntemi denklemlerin polar koordinatlarla ifa-de edildiği yük akışı problemlerinin çözümünde de kullanılabilir. Polar koordinatlarda,

$$E_p = |E_p| e^{j\delta_p} \quad \text{and} \quad Y_{pq} = |Y_{pq}| e^{-j\theta_{pq}}$$

yukarıdaki ifadeler (3.13) denkleminde yerine konduğunda P barasında-ki güç,

$$P_p - jQ_p = \sum_{q=1}^n |E_p E_q Y_{pq}| e^{-j(\theta_{pq} + \delta_p - \delta_q)}$$

dir.  $e^{-j(\theta_{pq} + \delta_p - \delta_q)} = \cos(\theta_{pq} + \delta_p - \delta_q) - j \sin(\theta_{pq} + \delta_p - \delta_q)$ ,

olduğundan, gücün aktif ve reaktif bileşenleri (3.23)'deki gibidir.

$$P_p = \sum_{q=1}^n |E_p E_q Y_{pq}| \cos(\theta_{pq} + \delta_p - \delta_q) \quad p = 1, 2, \dots, n-1 \quad (3.23)$$



(3.23) denkleminden Jacobien elemanları aşağıdaki gibi hesaplanır.

$J_1$  için :

$$\frac{\partial P_p}{\partial \delta_q} = |E_p E_q Y_{pq}| \sin (\theta_{pq} + \delta_p - \delta_q) \quad q \neq p$$

$$\frac{\partial P_p}{\partial \delta_p} = - \sum_{\substack{q=1 \\ q \neq p}}^n |E_p E_q Y_{pq}| \sin (\theta_{pq} + \delta_p - \delta_q)$$

$J_2$  için :

$$\frac{\partial P_p}{\partial |E_q|} = |E_p Y_{pq}| \cos (\theta_{pq} + \delta_p - \delta_q) \quad q \neq p$$

$$\frac{\partial P_p}{\partial |E_p|} = 2|E_p Y_{pp}| \cos \theta_{pp} + \sum_{\substack{q=1 \\ q \neq p}}^n |E_q Y_{pq}| \cos (\theta_{pq} + \delta_p - \delta_q)$$

$J_3$  için :

$$\frac{\partial Q_p}{\partial \delta_q} = -|E_p E_q Y_{pq}| \cos (\theta_{pq} + \delta_p - \delta_q) \quad q \neq p$$

$$\frac{\partial Q_p}{\partial \delta_p} = \sum_{\substack{q=1 \\ q \neq p}}^n |E_p E_q Y_{pq}| \cos (\theta_{pq} + \delta_p - \delta_q)$$

$J_4$  için :

$$\frac{\partial Q_p}{\partial |E_q|} = |E_p Y_{pq}| \sin (\theta_{pq} + \delta_p - \delta_q) \quad q \neq p$$

$$\frac{\partial Q_p}{\partial |E_p|} = 2|E_p Y_{pp}| \sin \theta_{pp} + \sum_{\substack{q=1 \\ q \neq p}}^n |E_q Y_{pq}| \sin (\theta_{pq} + \delta_p - \delta_q)$$

Güçteki değişimlerin gerilimin genliği ve faz açısından değişimlerle arasındaki bağıntıyı gösteren denklem Newton-Raphson yöntemi için aşağıdaki gibidir.

$$\begin{array}{c} \Delta P \\ \hline \Delta Q \end{array} = \begin{array}{|c|c|} \hline J_1 & J_2 \\ \hline J_3 & J_4 \\ \hline \end{array} \begin{array}{c} \Delta \delta \\ \hline \Delta |E| \end{array}$$

Newton-Raphson Yönteminde Yapılabilcek Basitleştirmeler :

Genel olarak bara geriliminin genliğindeki küçük değişimler için baradaki aktif güç çok az değişir. Benzer şekilde bara geriliminin faz açısından küçük değişimlerde reaktif güç çok az değişir. Dolayısı ile polar koordinatlar kullanılarak yük akış problemi  $J_2$  ve  $J_3$  alt matrisleri sıfır kabul edilerek çözülebilir (Carpentier 1963). Basitleştirilmiş matris denklemi,



$$\frac{\Delta P}{\Delta Q} = \frac{J_1}{0} \quad \frac{0}{J_4} \quad \frac{\Delta \delta}{\Delta |E|}$$

Jacobien' in sadece ilk birkaç iterasyonda tekrar değerlendirilmesi ile başarılı çözümler elde edilir.

Dik koordinat sistemleri kullanıldığında Jacobien'in  $J_1$ ,  $J_2$ ,  $J_3$  ve  $J_4$  alt matrislerinin diagonal dışı elemanları ihmal edilerek yük akış problemi çözülebilir (Ward ve Hale, 1956). P barasında aktif ve reaktif güçteki değişimler için aşağıdaki denklemler elde edilir.

$$\begin{aligned}\Delta P_p &= \frac{\partial P_p}{\partial e_p} \Delta e_p + \frac{\partial P_p}{\partial f_p} \Delta f_p \\&= \Delta e_p(e_p G_{pp} - f_p B_{pp} + c_p) + \Delta f_p(e_p B_{pp} + f_p G_{pp} + d_p) \\ \Delta Q_p &= \frac{\partial Q_p}{\partial e_p} \Delta e_p + \frac{\partial Q_p}{\partial f_p} \Delta f_p \\&= \Delta e_p(e_p B_{pp} + f_p G_{pp} - d_p) + \Delta f_p(-e_p G_{pp} + f_p B_{pp} + c_p)\end{aligned}\quad p = 1, 2, \dots, n-1$$

Bu denklemler Gauss-Seidel yöntemi kullanılarak da çözülebilir.

### 3.5 YÜK AKIŞ ANALİZİ ÇÖZÜM YÖNTEMLERİNİN KARŞILAŞTIRILMASI:

Yük akış analizi çözümlerini elde etmek için geliştirilen yöntemlerde :

- 1 - İterasyonlu hesaplamada parametreleri elde etmede sistem giriş ve rileri için gerekli hesaplama zamanı.
  - 2 - Bilgisayar programı ve hafıza ihtiyacı.
  - 3 - İterasyon çözüm zamanı.
  - 4 - Şebeke verilerini düzeltmek ve sistem çalışma değişkenlerine etki etmek için gerekli hesaplama zamanı.

**bulunmalıdır.**

Bütün yük akış yöntemlerinin 1. safhası, ele alınan şebekenin kodlanması ve uygun şebeke matrisinin elde edilmesidir. Bu şebeke matrisinin elde edilmesi Bölüm-II 'de detaylı olarak ele alınmış, en uygun bir yöntem ve bilgisayarla elde edilmiştir. Orada incelediğimiz şebeke de elemanlar arasında karşılıklı kuplajın olması hali en



genel hal dikkate alınmıştır. Şebeke elemanları arasında karşılıklı kuplajın olmaması halinde şebeke matrisi yani  $Y_{BARA}$  matrisi basitçe direkt olarak yazılabilir. Bu matrisin diagonal elemanı  $Y_{pp}$ , p barasına bağlanan şebeke elemanlarının admitanslarının toplamına eşittir. Diagonal dışındaki elemanı  $Y_{pq}$  ise, p barasını q barasına bağlayan şebeke elemanın admitansının ters işaretlisine eşittir. Bununla beraber, bara admitans matrisinin elemanlarının çoğu sıfır (sparse) olduğundan çok az sayıda elemanın hesaplanması gereklidir.

Sıfır elemanlar hafızada bir yer işgal etmediginden bara admitans matrisi bilgisayar hafızasında çok küçük bir yerde korunabilir. Bunun sağlanmasıının bir yolu matrisin satır ve sütunlarına karşılık gelen bara numaralarının bir listesi ile sıfır olmayan elemanların hafızaya alınmasıdır.

Bara admitans matrisinin elde edilmesinde, matris inversi, nonsingular transformasyon veya algoritma kullanmak gereklidir. Bara admitans matrisinin aksine bara empedans matrisi referans baraya tekabül eden satır ve sütun hariç sıfır olmayan elemanlardan meydana gelir. Bir barası referans alınan 101 baralı bir sistemde kompleks matrisin tamamını hafızaya almak için 20000 kelimeye bilgisayar hafızasının kullanılması gereklidir. Bara empedans matrisi, simetrik bir matris olduğundan yanlış diagonal elemanları ve diagonal dışı elemanların da yarısının hafızaya alınmasını gerektirir. Bu işlem hafıza ihtiyacını 10100 kelimeye düşürür. Bunun aksine, her bir bara için ortalama dört hattı olan bir 101 baralı sistemde, bara admitans matrisinin sıfır olmayan kompleks elemanlarının tamamını hafızaya almak için 1000 bilgisayar hafıza kelimesi gereklidir. Simetri gözönüne alındığında, hafızaya alma işlemi için 600 bilgisayar hafıza kelimesi yeterlidir. İlave olarak bara numaralama listesi içinde bir yer ayrılmazı gereklidir.

Çevre admitans matrisi, ya singular transformasyon ile elde edilen çevre empedans matrisi veya nonsingular transformasyon ile elde edilen böülümlere ayrılmış çevre admitans matrisi kullanılarak matris inversiyonu ile elde edilir. Diğer bir alternatif olarak bara admitans matrisi teşkil edilir ve daha sonra çevre admitans matrisini elde etmek için algoritma kullanılabilir. Çevre admitans matrisi dolu bir matristir.

Yük akış analizi için öne sürülen yöntemlerin etkinliğini değerlendirmek için deneme bilgisayar programları geliştirilmiştir. Bu programlar gerçek enerji sistemlerinde yük akış analizleri elde etmek ve relatif çözüm sürelerini tayin etmek için kullanılmıştır.

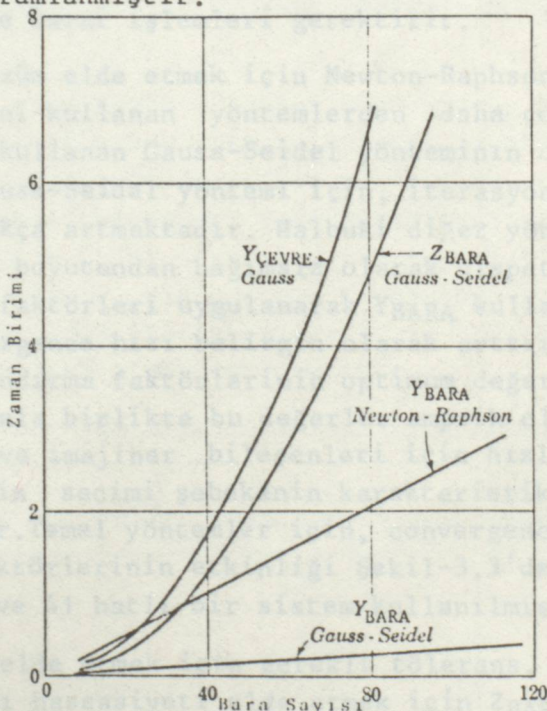


Şekil-3.2'de basılıcık yöntemler ile elde edilen iterasyon  
iteratif çözüm yapmak için gerekli bilgisayar zamanı :

- 1 - Iterasyonu tamamlamak için gerekli aritmetik ve karar işlemleri-  
nin sayısına.
- 2 - Çözüm yöntemlerinin bir noktaya yaklaşma hızına
- 3 - Enerji sistemlerinin boyutuna ve karakteristiklerine  
bağlıdır.

Bara admitans veya bara empedans matrisini kullanan Gauss  
yöntemi, Gauss-Seidel yöntemi ile karşılaşıldığında çözümü elde et-  
mek için ilave iterasyonlar gerektirir. Her iki yöntemde de her iteras-  
yon için aynı süre gerekli olduğundan Gauss yöntemi detaylı olarak in-  
celenmeyecektir. Bara admitans matrisini kullanan relaxation yöntemi  
daha fazla iterasyon ve her iterasyon için daha fazla zamanı gerektir-  
diğinde burada inceleme dışında bırakılmıştır.

Bara admitans matrisini kullanan Gauss-Siedel ve Newton-  
Raphson yöntemleri için bilgisayar programları geliştirilmesinde her  
iterasyon için aritmetik işlem sayısını azaltmak amacıyla şebeke mat-  
risinin sparsity özelliğinden yararlanılmıştır. Gauss-Seidel yöntemi  
dik koordinatlar, Newton-Raphson yöntemi ise polar koordinatlar  
kullanılarak programlanmıştır.



Şekil-3.2 Yük Akış Yöntemleri için iterasyon  
başına zamanı gösterir.



Şekil-3.2'de başlıca yöntemler ile elde edilen iterasyon zamanları gösterilmiştir. Bara admitans matrisi kullanan Gauss-Seidel yöntemi, iterasyonu tamamlamak için çok az sayıda aritmetik işlem kullanır. Bunun sebebi şebeke matrisinin elemanlarının çoğunun sıfır olması ve çözüm yönteminin basit olmasıdır. Dolayısı ile iterasyon için çok az süre gerekir. Bara Adımtans matrisi kullanan Newton-Raphson yönteminde aritmetik işlemlerin sayısını azaltmak için şebeke matrisinin sparsity özelliğinden yararlanılır. Bununla birlikte her iterasyon için Jacobien elemanlarının hesaplanması ilave bilgisayar zamanı gereklidir. Her iki yöntemde de iterasyon için gerekli zaman, şebekedeki baraların sayısı ile artar. Bunun sebebi, her yeni bara için şebeke matrisine ilave edilen sıfır olmayan eleman sayısının yaklaşık olarak aynı olmasıdır.

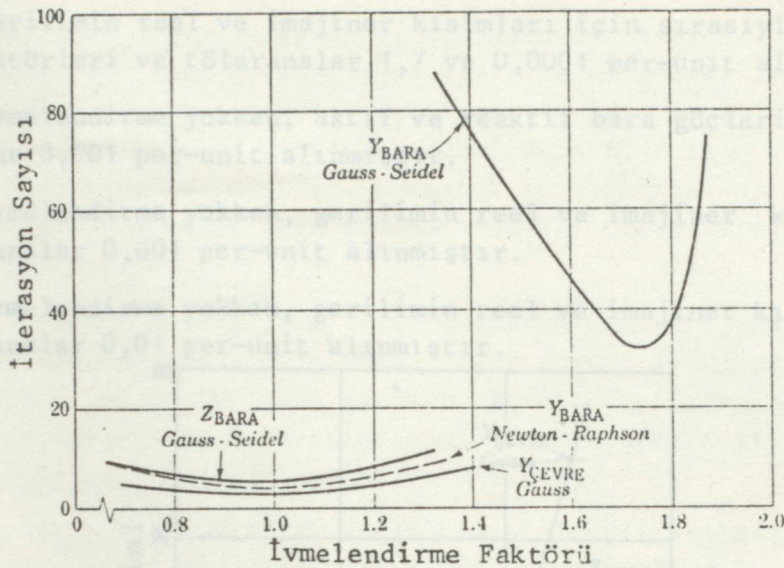
Bara empedans matrisini kullanan Gauss-Seidel yöntemi, nispeten basit çözüm uygulaması gerektirir. Bununla birlikte bu yöntemde her iterasyon süresi daha büyük ve yaklaşık olarak bara sayısının karesi ile orantılı olarak değişir. Bunun sebebi, bara empedans matrisinin dolu bir matris olmasıdır.

Çevre admitans matrisini kullanan Gauss yöntemi, iterasyon çözümü sırasında çevre ve bara değerlerini birbirine bağlamak için ilave aritmetik ve karar işlemleri gerektirir.

Bir çözüm elde etmek için Newton-Raphson ve  $Z_{BARA}$  veya  $Y_{ÇEVRE}$  matrislerini kullanan yöntemlerden daha çok sayıda iterasyon gerektiren  $Y_{BARA}$  kullanan Gauss-Seidel yönteminin convergence hızı yavaştır. Ayrıca Gauss-Seidel yöntemi için, iterasyon sayısı şebekedeki bara sayısı arttıkça artmaktadır. Halbuki diğer yöntemler için iterasyon sayısı sistem boyutundan bağımsız olarak nispeten sabit kalmaktadır. Hızlandırma faktörleri uygulanarak  $Y_{BARA}$  kullanan Gauss-Siedel yönteminde, convergence hızı belirgin olarak arttırılabilir. Yük akış çözümü içih hızlandırma faktörlerinin optimum değerlerinin hesaplanması güçtür. Bununla birlikte bu değerler amprik olarak belirlenebilir. Gerilimin gerçek ve imajiner bileşenleri için hızlandırma faktörleri  $\alpha$  ve  $\beta$  değerlerinin seçimi şebekenin karakteristiklerine ve çözüm yöntemine bağlıdır. Temel yöntemler için, convergence hızı üzerine farklı hızlandırma faktörlerinin etkinliği Şekil-3.3'de gösterilmiştir. Bu analizde 30 bara ve 41 hatlı bir sistem kullanılmıştır.

Çözüm elde etmek için gerekli tölerans, farklı yöntemlere göre değişir. Aynı hassasiyeti elde etmek için  $Z_{BARA}$  veya  $Y_{ÇEVRE}$  matrislerinin kullanıldığı yöntemlerden  $Y_{BARA}$  kullanan Gauss-Seidel yönteminde, daha küçük gerilim toleransı kullanılmalıdır. Testlerde





Şekil-3.3-Yük akış çözümlerinde, ivmelendirme faktörlerinin convergence hızı üzerine etkisi.

gerilimin hem gerçek ve hemde imajiner bileşenleri için 0,0001 per-unit gerilim töleransı kullanılmıştır. Aynı sonuçları elde etmek için  $Z_{\text{BARA}}$  kullanan Gauss-Seidel yönteminde gerilim toleransı 0,001 per-unit,  $Y_{\text{ÇEVRE}}$  kullanan Gauss yönteminde ise 0,01 per-unit olarak alınmıştır.

$Y_{\text{BARA}}$  kullanan Newton-Raphson yönteminde, bir barada aktif ve reaktif güçler için töleransların belirlenme avantajı vardır. İstenen hassasiyeti belirleyen toleransın bir mana ifade etmesi bakımından rakamla ifade edilmesi uygundur. Test hesaplamalarında aktif ve reaktif bara güçleri için 0,001 per-unit tölerans kullanılmış ve benzer sonuçlar elde edilmiştir. Hızlandırma faktörleri ile beraber farklı boyuttaki sistemler için iterasyon sayısı ve her yöntem için kullanılan töleranslar Tablo-3.1'de özetlenmiştir.

Tablo-3.1 Yük akış çözümleri için iterasyon sayıları :

Bara Sayısı	$Y_{\text{BARA}}$ Gauss-Seidel†	$Y_{\text{BARA}}$ Newton-Raphson‡	$Z_{\text{BARA}}$ Gauss-Seidel§	$Y_{\text{ÇEVRE}}$ Gauss¶
14	24	4	5	4
30	33	4	5	4
57	59	4	6	6
92	80	4	5	7
113	92	4	5	-

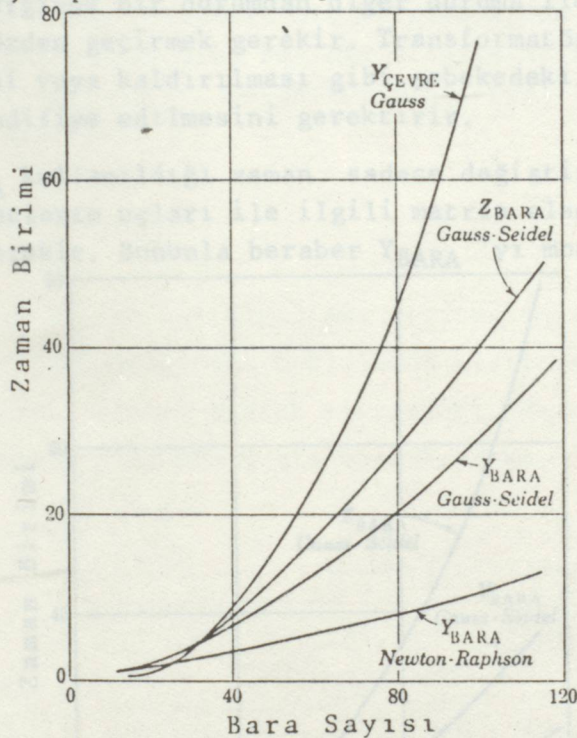


† - Gerilimin reel ve imajiner kısımları için sırasıyla ivmelendirme faktörleri ve töleranslar 1,7 ve 0,0001 per-unit alınmıştır.

‡ - İvmelendirme yokken, aktif ve reaktif bara güçleri için töleranslar 0,001 per-unit alınmıştır.

§ - İvmelendirme yokken, gerilimin reel ve imajiner kısımları için töleranslar 0,001 per-unit alınmıştır.

¶ - İvmelendirme yokken, gerilimin reel ve imajiner kısımları için töleranslar 0,01 per-unit alınmıştır.



Şekil-3.4 Gerilim kontrollü baraların etkileri dikkate alınmadığında, iteratif çözüm zamanı.

Yapılan bütün testler için başlangıç bara gerilimleri  $1,0 + j0$  olarak kabul edilmiştir.

İterasyon çözümü için gerekli süre,  $Y_{BARA}$  kullanılan Newton-Raphson yönteminde en azdır. Belli başlı yöntemler için toplam iteratif çözüm süreleri Şekil-3.4 'de gösterilmiştir. Bu başlangıç testlerinde gerilim kontrollü baraların etkisi dahil edilmemiştir.

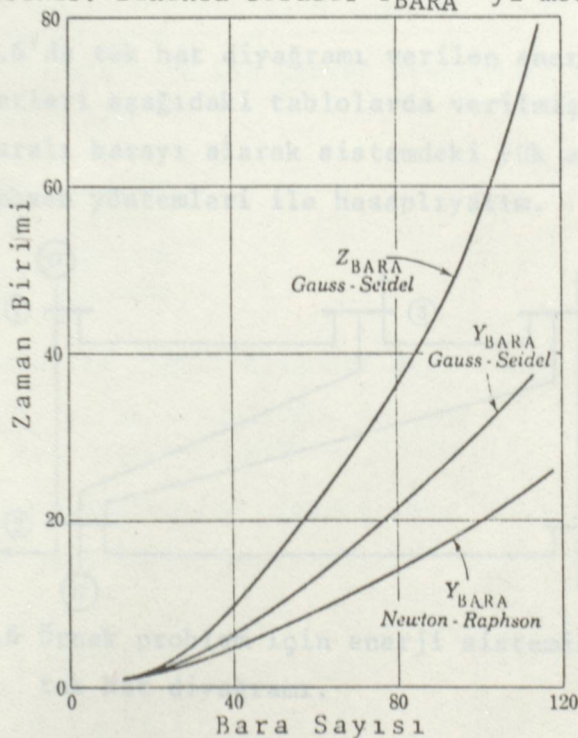
Gerilim kontrollü baraların etkisi dikkate alındığında,  $Y_{BARA}$  kullanan Gauss-Seidel yöntemi, çözümü elde etmede daha az iterasyon gerektirir. Bununla beraber,  $Y_{BARA}$  kullanan Newton-Raphson ve  $Z_{BARA}$  kullanan Gauss-Siedel yöntemleri için gerekli iterasyon sayısı biraz



daha fazladır.  $Y_{BARA}$  veya  $Z_{BARA}$  kullanan Gauss-Siedel yönteminde her iterasyon için gerekli süre ilave işlem sebebi ile artar. Newton-Raphson yönteminde ise, her iterasyon için gerekli süre biraz azalır. Bunun sebebi, gerilim kontrollü baralar için aritmetik işlemlerin sayısının azalmasıdır. Otomatik gerilim kontrollü baralar kullanılan temel yöntemler için toplam iteratif çözüm süreleri Şekil-3. 5'de gösterilmiştir.

Farklı sistem şartlarını gösteren bir seri yük akış çözümle-ri elde edildiğinde bir durumdan diğer duruma ilerlemeden önce sistem verilerini gözden geçirmek gereklidir. Transformatörlerin ve hatların ilave edilmesi veya kaldırılması gibi şebekedeki değişimler şebeke matrisinin modifiye edilmesini gerektirir.

$Y_{BARA}$  kullanıldığı zaman sadece değiştirilen transformatörlerin veya hatların uçları ile ilgili matris elemanlarının tekrar hesaplanması gereklidir. Bununla beraber  $Y_{BARA}$  'yı modifiye etmek için



Şekil-3.5 Gerilim kontrollü baraların etkileri dikkate alındığında, iteratif çözüm zamanı.

algoritma kullanmak lazımdır. Yeni bir kırış ilave edildiğinde şebekedeki değişimler şebeke matrisinin bütün elemanlarının modifiye edilmesini gerektirir.  $\Delta$  matrisini modifiye etmek için bir algoritma geliştirilmesi gereklidir.

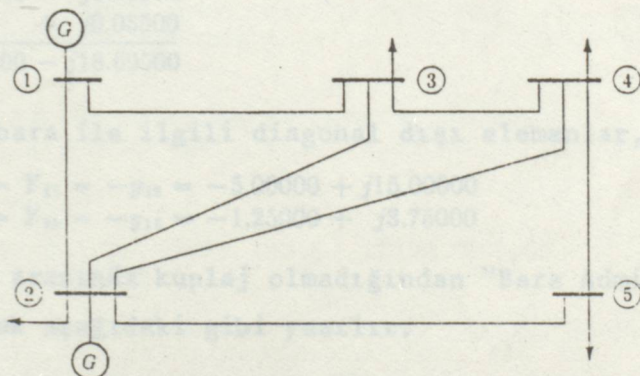


Bara gerilimleri için başlangıç değerlerin seçiminin çözüm süresi üzerine belirgin bir etkisi vardır. Bir seri yük akışı hesaplandığı zaman genel usul herbir durum için hesaplanan bara gerilimleri bir sonraki durum için başlangıç gerilimler olarak kullanılır. Bu bilhassa sistem şartlarında sadece küçük değişimler olduğu zaman iterasyon sayısını azaltır.

Yük akış çözümleri için gerekli gerçek bilgisayar süresi bilgisayar hızına ve programın etkinliğine bağlıdır. Karşılaştırmada kullanılan zaman birimleri bir bilgisayardan diğerine farklılık gösterir. Genel olarak orta boy bir bilgisayar için, her zaman birimi 1 saniye civarındadır. Büyük boy bilgisayar için 0,1 saniye veya daha düşük değerdedir.

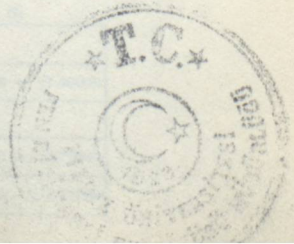
#### ÖRNEK PROBLEM

Şekil.3.6'da tek hat diyagramı verilen enerji sisteminin karakteristik değerleri aşağıdaki tablolarda verilmiştir. Salınım barası olarak 1 numaralı barayı alarak sistemdeki yük akışını Gauss-Seidel ve Newton-Raphson yöntemleri ile hesaplıyalım.



ŞEKİL.3.6 Örnek problem için enerji sisteminin tek hat diyagramı.

Bara Kodu <i>p-q</i>	Taşıma Hattinin	
	Seri Empedansı <i>z<sub>pq</sub></i>	Şönt Admitansı <i>y'<sub>pq</sub>/2</i>
1-2	$0.02 + j0.06$	$0.0 + j0.030$
1-3	$0.08 + j0.21$	$0.0 + j0.025$
2-3	$0.06 + j0.18$	$0.0 + j0.020$
2-4	$0.06 + j0.18$	$0.0 + j0.020$
2-5	$0.04 + j0.12$	$0.0 + j0.015$
3-4	$0.01 + j0.03$	$0.0 + j0.010$
4-5	$0.08 + j0.24$	$0.0 + j0.025$



Bara Kodu <i>p-q</i>	Hat Admitansı <i>Y<sub>pq</sub></i>
1-2	5.00000 - j15.00000
1-3	1.25000 - j3.75000
2-3	1.66667 - j5.00000
2-4	1.66667 - j5.00000
2-5	2.50000 - j7.50000
3-4	10.00000 - j30.00000
4-5	1.25000 - j3.75000

Bara Kodu <i>p</i>	Toprağa Göre Admitans <i>Y<sub>p</sub></i>
1	0.0 + j0.05500
2	0.0 + j0.08500
3	0.0 + j0.05500
4	0.0 + j0.05500
5	0.0 + j0.04000

Bara Kodu <i>p</i>	Kabul Edilen Bara Gerilimleri	Üretim		Yük	
		<i>MW</i>	<i>MVar</i>	<i>MW</i>	<i>MVar</i>
1	1.06 + j0.0	0	0	0	0
2	1.0 + j0.0	40	30	20	10
3	1.0 + j0.0	0	0	45	15
4	1.0 + j0.0	0	0	40	5
5	1.0 + j0.0	0	0	60	10

Burada y<sub>11</sub>, 1 numaralı bara ile toprak arasındaki admitansların toplamıdır. Böylece  $Y_{11}$  ise,

$$\begin{aligned} & 5.00000 - j15.00000 \\ & 1.25000 - j3.75000 \\ & 0.0 + j0.05500 \\ \hline & 6.25000 - j18.69500 \end{aligned}$$

1 numaralı bara ile ilgili diagonal dışı elemanlar,

$$\begin{aligned} Y_{12} = Y_{21} &= -y_{12} = -5.00000 + j15.00000 \\ Y_{13} = Y_{31} &= -y_{13} = -1.25000 + j3.75000 \end{aligned}$$

Hatlar arasında kuplaj olmadığından "Bara Admitans Matrisi" direkt olarak aşağıdaki gibi yazılır.

Bara q Bara p	1	2	3	4	5
1	$Y_{11}$	$Y_{12}$	$Y_{13}$		
2	$Y_{21}$	$Y_{22}$	$Y_{23}$	$Y_{24}$	$Y_{25}$
3	$Y_{31}$	$Y_{32}$	$Y_{33}$	$Y_{34}$	
4		$Y_{42}$	$Y_{43}$	$Y_{44}$	$Y_{45}$
5		$Y_{52}$		$Y_{54}$	$Y_{55}$



①	②	③	④	⑤
① 6.25000 - j18.69500	-5.00000 + j15.00000	-1.25000 + j3.75000		
② -5.00000 + j15.00000	10.83334 - j32.41500	-1.66667 + j5.00000	-1.66667 + j5.00000	-2.50000 + j7.50000
③ -1.25000 + j3.75000	-1.66667 + j5.00000	12.91667 - j38.69500	-10.00000 + j30.00000	
④	-1.66667 + j5.00000	-10.00000 + j30.00000	12.91667 - j38.69500	-1.25000 + j3.75000
⑤	-2.50000 + j7.50000		-1.25000 + j3.75000	3.75000 - j11.21000

### 3.6.GAUSS-SEIDEL YONTEMI ICIN BILGISAYAR PROGRAMI

\*\*\*\*\*  
\* YILDIZ UNIVERSITESI \*  
\*  
\* ELEKTRIK TESISLERİ VE SISTEMLERİ BILIMDALI \*  
\*  
\* GAUSS-SEIDEL ITERASYON YONTEMIYLE COZUM \*  
\*\*\*\*\*

```
PROGRAM TEV(INPUT,OUTPUT,KARA1,KARA2,TAPE5=KARA1,TAPE6=KARA2)
COMPLEX SHY(20),SERY(20),Y(20,20),KL(20),YL(20,20),E(20),SUM
COMPLEX S,R,FL(20),TOP(20),EOLD,SS,RR,SERZ(20)
REAL MAGV
INTEGER SB,EB
DIMENSION LINE(20),SB(20),EB(20),P(20),Q(20),ERR(10)
READ(5,8) NB,NL
9 FORMAT(2I1)
PEAI(5,10)(LINE(I),SB(I),EB(I),SERZ(I),SHY(I),I=1,NL)
10 FORMAT(1(3I1,4F4.3))
WRITE(6,84)
34 FORMAT(//,T25,'SISTEM VERILERI',//,T10,'HAT',T16,'BARA KODU',T27
*, 'EMPEDANS',T40,'HAT YUKLEMESI',/T16,'P',T21,'Q',T30,'Z',T45,
*'Y/2')
DO 44 I=1,NL
44 WRITE(6,99) LINE(I),SB(I),EB(I),SERZ(I),SHY(I)
99 FORMAT(T7,3I5,2X,F4.2,'+J(',F4.2,',')',2X,F3.1,'+J(',F5.3,',')',/)
DO 17 L=1,5
17 DO 17 M=1,5
Y(L,M)=0
READ(5,9)(P(I),I=2,5),(Q(I),I=2,5),(E(I),I=1,5)
9 FORMAT(2(4F4.2),10F4.2)
WRITE(6,46)
16 FORMAT(//,T12,'GERILIM VE GUC KABULLERI',//,T10,'BARA',T19,'GERILIM
*',T25,'GUC',//)
WRITE(6,47)(I,E(I),P(I),Q(I),I=1,NB)
47 FORMAT(10X,I2,4X,F4.2,'+J(',F3.2,',')',2X,F5.2,'+J(',F5.2,',')',/)
DO 2 I=1,NL
SERY(I)=1./SERZ(I)
L=SB(I)
M=EB(I)
Y(L,L)=Y(L,L)+SERY(I)+SHY(I)
Y(M,M)=Y(M,M)+SERY(I)+SHY(I)
Y(L,M)=Y(L,M)-SERY(I)
2 Y(M,L)=Y(M,L)-SERY(I)
WRITE(6,12)((Y(I,J),J=1,NB),I=1,NB)
12 FORMAT(//,T47,'Y BARA MATRISI',//,5(5(F8.4,'+J(',F8.4,',')',3X),//))
ITER=0
100 ITER=ITER+1
DO 3 I=2,NB
KL(I)=CMPLX(P(I),(-Q(I)))/Y(I,I)
FL(I)=KL(I)/CONJG(E(I))
EOLD=E(I)
TOP(I)=CMPLX(0.0,0.0)
DO 30 J=1,NB
IF(J.EQ.I) GO TO 30
YL(I,J)=Y(I,J)/Y(I,I)
```



YILGIRAYA, CİNTİSLAR

```
TOP(I)=TOP(I)+YL(I,J)*E(J)
30 CONTINUE
E(I)=FL(I)-TOP(I)
ERR(I)=CABS(EOLD-E(I))
3 CONTINUE
DO 50 I=2,5
IF(ERR(I).GT.0.0001) GOTO 100
50 CONTINUE
SUH=CNPLX(0.0,0.0)
DO 4 I=1,NB
SUM=SUM+Y(I,I)*E(I)
4 SUM=SUM+Y(I,I)*E(I)
WRITE(6,14)ITER
14 FORMAT(' ',T6,'ITERASYON SAY.',I3,/,T16,'BARA',T16,'GERİLİM',
1T30,'MUT.DEGERİ',T42,'DELTA(DER.)',T57,'AKTİF GÜC',T71,'REA.GÜC')
DO 5 I=1,NB
P(I)=REAL(SUM*CONJG(E(I)))
Q(I)=-AIMAG(SUM*CONJG(E(I)))
DELTA=ATAN2(AIMAG(E(I)),REAL(E(I)))*57.29578
MAGV=CABS(E(I))
5 WRITE(6,15)I,E(I),MAGV,DELTA,P(I),Q(I)
15 FORMAT(I7,2X,F7.4,'+J(',F6.4,',)',4X,F7.4,4X,F7.5,6X,F8.4,3X,'+J(',
*F8.4,')')
WRITE(6,16)
16 FORMAT(//T25,'YUK AKISI',//,110,'HAT',T16,'SB',T21,'EB',T25,
1'AKTİF GÜC',T42,'REAKTİF GÜC')
WRITE(6,18)
18 FORMAT(T30,'MN',T44,'MVAR')
DO 6 I=1,NL
L=SD(I)
N=EB(I)
S=CONJG(E(L))*(E(L)-E(M))*SERV(I)+CONJG(E(L))*E(L)*SHTY(I)
R=CONJG(E(M))*(E(M)-E(L))*SERV(I)+CONJG(E(M))*E(N)*SHTY(I)
SSA=100.*REAL(S)
SSR=-100.*AIMAG(S)
RRA=100.*REAL(R)
RRR=-100.*AIMAG(R)
WRITE(6,26)LINE(I),L,M,SSA,SSR
6 WRITE(6,26)LINE(I),M,L,RRA,RRR
FORMAT(' ',T7,3I5,5X,F8.4,3X,'+J(',F8.4,')')
STOP
26 END
```



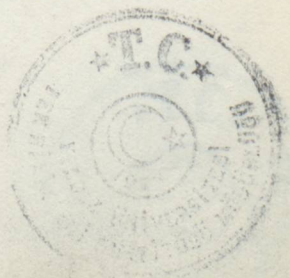
BİLGİSAYAR ÇIKIŞLARI

SİSTEM VERİLERİ

HAT	BARA P Q	KODU Z	EMPEDANS	HAT YÜKLEMESİ $\gamma/2$
1	1	2	.02+J( .06)	0.0+J( .030)
2	1	3	.08+J( .24)	0.0+J( .025)
3	2	3	.06+J( .18)	0.0+J( .020)
4	2	4	.06+J( .18)	0.0+J( .020)
5	2	5	.04+J( .12)	0.0+J( .015)
6	3	4	.01+J( .03)	0.0+J( .010)
7	4	5	.03+J( .24)	0.0+J( .025)

GERİLİM VE GÜC KABULLERİ

BARA	GERİLİM	GÜC
1	1.06+J( .00)	0.00+J( 0.00)
2	1.00+J( .00)	.20+J( .20)
3	1.00+J( .00)	-.45+J( -.15)
4	1.00+J( .00)	-.40+J( -.05)
5	1.00+J( .00)	-.60+J( -.10)



## Y. BARA MATRISI

6.2500+J(-13,6950)	-5.0000+J( 15,0000)	-1.2500+J( 3.7500)	0.0000+J( 0.0000)	0.0000+J( 0.0000)
-5.0000+J( 15,0000)	10.83333+J(-32,4150)	-1.6667+J( 5.0000)	-1.6667+J( 5.0000)	-2.5000+J( 7.5000)
1.2500+J( -3.7500)	-1.6667+J( 5.0000)	12.9167+J(-38,6950)	-10.0000+J( 30.0000)	0.0000+J( 0.0000)
0.0000+J( 0.0000)	-1.6667+J( 5.0000)	-10.0000+J( 30.0000)	12.9167+J(-38,6950)	-1.2500+J( 3.7500)
0.0000+J( 0.0000)	-2.5000+J( 7.5000)	0.0000+J( 0.0000)	-1.2500+J( 3.7500)	3.7500+J(-11,2100)

ITERASYON SAY. 23

BARA	GERILIM	MUT. DFGERI	DEFLTA.(PER.)	AKTIF GUC	REA. GUC
1	1.0600+J(0.0000)	1.0600	0.00000	40.4031	+J(156,1767)
2	1.0463+J(-.0511)	1.0475	-2.79634	47.4084	+J(152,2030)
3	1.0204+J(-.0889)	1.0243	-4.97951	51.9929	+J(146,9537)
4	1.0193+J(-.0948)	1.0237	-5.31275	57.8151	+J(146,5612)
5	1.0122+J(-.1088)	1.0180	-6.13788	54.6175	+J(144,9813)

## YUK AKISI

HAT	SB	EB	AKTIF GUC	REAKTIF GUC	MVAR
1	1	2	88.5414	+J( -8,5934)	
1	2	1	-87.1411	+J( 6,1318)	
2	1	3	40.5869	+J( 1,1512)	
3	2	3	-39.4028	+J( -3,0309)	
3	2	3	24.6214	+J( 3,5493)	
3	2	2	-24.2710	+J( -6,7937)	
4	2	4	27.8742	+J( 2,9631)	
4	4	2	-27.4348	+J( -5,9351)	
5	2	5	54.7916	+J( 7,3387)	
5	5	2	-53.6678	+J( -7,1676)	
6	3	4	18.9391	+J( -5,2139)	
6	4	3	-18.9032	+J( 3,2244)	
6	4	4	6.3631	+J( -2,2839)	
5	4	4	-6.3321	+J( -2,8287)	



```
I1=I+K
J1=J+K
GY=REAL(Y(I,J))
BY=-AIMAG(Y(I,J))
RJ(I,J)=E(I)*GY-F(I)*BY
RJ(I1,J)=E(I)*BY+F(I)*GY
RJ(I,J1)=E(I)*BY+F(I)*GY
RJ(I1,J1)=F(I)*BY-E(I)*GY
IF(I.EQ.J)GO TO 45
GO TO 6
45 C1=REAL(IA(I))
D1=AIMAG(IA(I))
RJ(I,J)=RJ(I,J)+C1
RJ(I1,J)=RJ(I1,J)+D1
RJ(I,J1)=RJ(I,J1)-D1
RJ(I1,J1)=RJ(I1,J1)+C1
6 CONTINUE
DO 100 I=2,10
DO 100 J=2,10
A(I-1,J-1)=RJ(J,I)
100 CONTINUE
CALL MATIN(A,N)
DO 7 I=1,N
DO 7 J=1,N
7 DEF(I+1)=DEF(I+1)+A(I,J)*DEF(I,J)
DO 8 I=2,NB
E(I)=E(I)+DEF(I)
F(I)=F(I)+DEF(I+K)
EL(I)=CMPLX(E(I),F(I))
8 EF(ITER,I)=EL(I)
DO 54 I=2,NB
54 DF(ITER,I)=CMPLX(DEF(I),DEF(I+K))
DO 33 I=1,10
33 DEF(I)=0.
IF(ITER>6)GO TO 21,21
21 WRITE(6,67)
57 FORMAT(120('*'),//T38,'BARA GERILIMLERINDEKI DEGISIM',//5X,'ITERASYON',
*T22,'BARA 2',T44,'BARA 3',T66,'BARA 4',T88,'BARA 5',//)
DO 22 I=1,ITER
WRIIE(6,55)I,(DF(I,J),J=2,NB)
56 FORMAT(9X,I2,3X,4(F8.6,'+J(1.F8.6,')',2X,),/)
22 CONTINUE
WRIIE(6,68)
49 FORMAT('//T38,'BARA GERILIMLERI',//5X,'ITERASYON',122,'BARA 2',T44,
*'BARA 3',T66,'BARA 4',T88,'BARA 5',//)
DO 69 I=1,ITER
69 WRITE(6,70)I,(EF(I,J),J=2,NB)
70 FORMAT(9X,I2,3X,4(F8.5,'+J(1.F8.5,')',2X,),/)
SUM=CMPLX(0.0,0.0)
DO 41 I=1,NB
41 SUM=SUM+F(I,I)*EL(I)
WRITE(6,14)ITER
14 FORMAT(' ',T6,'ITERASYON SAY.',I3,//T6,'BARA',T16,'GERILIM',
1T30,'MUT.DEGERI',T42,'DELTA(DER.)',T57,'AKTİF GÜC',T71,'REA.GÜC')
DO 51 I=1,NB
P(I)=REAL(SUM*CONJG(EL(I)))
Q(I)=-AIMAG(SUM*CONJG(EL(I)))
DELTA=ATAN2(AIMAG(EL(I)),REAL(EL(I)))*57.29370
NAGV=CABS(EL(I))
51 WRITE(6,15)I,EL(I),NAGV,DELTA,P(I),Q(I)
```



BİLGİSAYAR ÇIKIŞLARI

```
15  FORMAT(I7,2X,F7.4,'+J(1,F6.4,1),4X,F7.4,4X,F2.5,3X,F8.4,3X,'+J(1,
*F8.4,1))
  WRITE(6,16)
16  FORMAT(///T25,'YUK AKISI'//,T10,'HAT',T16,'SB',T21,'EB',T25,
1'AKTİF GÜC',T42,'REAKTİF GÜC')
  WRITE(6,81)
81  FORMAT(T30,'MW',T44,'MVAR')
  DO 81 I=1,NL
    L=SB(I)
    M=ER(I)
    S=CONJG(EL(L))*((EL(L)-EL(M))*SERY(I)+CONJG(EL(L))*EL(L)*SHTY(I))
    R=CONJG(EL(M))*((EL(M)-EL(L))*SERY(I)+CONJG(EL(M))*EL(M)*SHTY(I))
    SSA=100.*REAL(S)
    SSR=-100.*AIMAG(S)
    RRA=100.*REAL(R)
    RRR=-100.*AIMAG(R)
    WRITE(6,26)LINE(I),L,M,SSA,SSR
26  WRITE(6,26)LINE(I),M,L,RRA,RRR
  FORMAT(' ',T7,3I5,5X,F8.4,3X,'+J(1,F8.4,1)')
  STOP
END
SUBROUTINE MATIN(A,N)
DIMENSION A(20,20)
DO 50 K=1,8
DO 20 I=1,8
DO 20 J=1,8
IF(I.EQ.K.OR.J.EQ.K)GO TO 20
A(I,J)=A(I,J)-A(I,K)*A(K,J)/A(K,K)
CONTINUE
A(K,K)=-1.0/A(K,K)
DO 30 I=1,8
IF(I.EQ.K)GO TO 30
A(I,K)=A(I,K)*A(K,K)
30  CONTINUE
DO 40 J=1,8
IF(J.EQ.K)GO TO 40
A(K,J)=A(K,J)*A(K,K)
40  CONTINUE
50  CONTINUE
DO 60 I=1,8
DO 60 J=1,8
A(I,J)=-A(I,J)
CONTINUE
RETURN
```



END

BİLGİSAYAR ÇIKIŞLARI

BİLGİSAYAR ÇIKIŞLARI

-55-

BİLGİSAYAR ÇIKIŞLARI

ITERASYON	BARA 2	BARA 3	BARA 4	BARA 5
1	.055044+J(-.05084)	.031761+J(-.09123)	.031357+J(-.097467)	.026518+J(-.112840)
2	-.008806+J(-.000802)	-.011545+J(.001955)	-.012273+J(-.002392)	-.014504+J(.003917)
3	-.000039+J(.000376)	.000095+J(.000088)	.000083+J(.000031)	.000103+J(-.000109)
4	-.000016+J(-.000016)	-.000028+J(-.000021)	-.000031+J(-.000072)	-.000039+J(-.000026)
5	-.000001+J(.000001)	-.000000+J(.000000)	.000000+J(.000000)	.000001+J(.000000)
6	-.000000+J(-.000000)	-.000000+J(-.000000)	-.000000+J(-.000000)	-.000000+J(-.000000)

BİLGİSAYAR ÇIKIŞLARI

ITERASYON	BARA 2	BARA 3	BARA 4	BARA 5
1	1.05504+J(-.05084)	1.03176+J(-.09123)	1.031356+J(-.09747)	1.02652+J(-.11284)
2	1.04624+J(-.05164)	1.02022+J(-.08928)	1.01908+J(-.09508)	1.01201+J(-.10892)
3	1.04620+J(-.05127)	1.02031+J(-.08919)	1.01917+J(-.09504)	1.01212+J(-.10903)
4	1.04618+J(-.05128)	1.02028+J(-.08921)	1.01914+J(-.09507)	1.01203+J(-.10905)
5	1.04618+J(-.05128)	1.02028+J(-.08921)	1.01914+J(-.09507)	1.01203+J(-.10905)
6	1.04618+J(-.05128)	1.02028+J(-.08921)	1.01914+J(-.09507)	1.01203+J(-.10905)



BÖLÜM IV  
TRANSIENT - STABİLİTE ÇÖZÜM YÖNTEMLERİ

ITERASYON SAY. 6

EARA	GERİLİM	MUT. DEĞERİ	DELTA(DER.)	AKTİF GÜC	REA. GÜC
1	1.0800+J(0.0000)	1.0800	0.00000	40.3860	+J(15.6.1744)
2	1.0462+J(-.0513)	1.0474	-2.00635	47.3955	+J(15.2.1056)
3	1.0203+J(-.0892)	1.0242	-4.99697	51.7970	+J(14.6.9256)
4	1.0191+J(-.0951)	1.0236	-5.32914	52.8165	+J(14.6.5344)
5	1.0121+J(-.1091)	1.0179	-6.15026	54.6091	+J(14.4.2608)

YÜK AKIŞI

HAT	EE	AKTİF GÜC	REAKTİF GÜC	MUAR
1 1	1	38.8638	+J( -8.5795 )	
2 1	1	-87.4534	+J( -6.1437 )	
2 1	3	40.7230	+J( 1.1584 )	
2 3	1	-39.5311	+J( -3.0139 )	
3 2	3	24.6943	+J( 3.5464 )	
3 3	2	-24.3428	+J( -6.7840 )	
4 4	4	27.9351	+J( 2.7629 )	
4 4	4	-27.4248	+J( -5.9276 )	
5 5	5	54.8229	+J( 7.3430 )	
5 5	4	-53.6977	+J( -7.1672 )	
6 6	4	18.8739	+J( -5.2022 )	
6 6	4	-18.8363	+J( 3.2124 )	
7 7	4	6.3320	+J( -2.2848 )	
7 7	5	-6.3023	+J( -2.8328 )	

READY.



## BÖLÜM IV TRANSIENT - STABİLİTE ÇÖZÜM YÖNTEMLERİ

### 4.1.GİRİŞ

Bir enerji sisteminde, transient stabilité hesabının incelenmesinde iki çeşit probleme karşılaşılır. Bunlardan birincisi başlangıç şartlar problemi ikincisi de dinamik problemdir. Başlangıç şartlar problemi şebeke için tariflenen cebirsel denklem sisteminin çözümü ile bulunur. Dinamik problem ise, karmaşık diferansiyel denklem sisteminin çözümünü gerektirir. Stabilité analizi nümerik çözüm yöntemleri kullanılarak bilgisayarla yapılır. Bu bölümde gayemiz belli başlı çözüm yöntemlerini ele alınan örnek problem üzerinde göstermek ve her bir çözüm yöntemi için elde edilen sonuçları karşılaştırmaktır.

Konuya kısaca enerji sistemlerinin ve stabilitenin tanıtımı ile başlıyalım.

### 4.2.ENERJİ SİSTEMLERİ

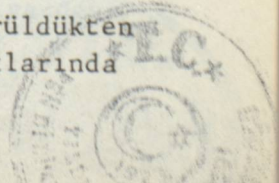
Bir elektrik enerji sistemi gözönüne alındığında böyle bir sistemin birbirine göre hareketli elemanların birleşmesinden meydana geldiği görülür. Özellikleri nedeniyle bu elemanları iki grupta toplamak mümkündür.

1. Güç elemanları: Mekanik enerji sağlayan tahrik sistemleri, üreteçler (senkron发电机), transformatörler, enerji taşıma ve dağıtım hatları ve elektriksel yükler.

2. Kontrol elemanları: Tahrik sistemlerine ait mekanik regülatörler (hız regülatörleri), senkron发电机lere ait uyarma sistemi regülatörleri (gerilim ve açı regülatörleri), röleler ve açma kapama elemanları gibi.

Bu ayrımdan da anlaşılacağı gibi bir enerji sistemi, elektromekanik bir sistemdir. Bu nedenle sistemin işleyişinde ve analizinde elektriksel elemanların fonksiyonları yanı sıra, mekaniksel elemanların fonksiyonları da gözönüne alınmalıdır.

Enerji sistemlerinin en önemli elemanı, senkron发电机lerdir. Sistemin güvenilir bir şekilde işleyisi büyük ölçüde, sistemde bulunan senkron发电机lerin birbirine göre paralel (senkron) çalışmalarına bağlıdır. Bir senkron发电机nun senkronizmadan ayrılması sonucu sistem gerilim ve akımında salınımlar meydana gelir ve enerji taşıma hattı istenmeyen bir bölgede otomatik olarak röleler vasıtasyyla devre dışı kalır. Böyle bir durumda, senkronizmadan ayrılan发电机 devreden çıkartılarak tekrar senkron çalışma haline dönüştürüldükten sonra devreye alınarak yeniden yüklenir. Normal işletme şartlarında



senkron makinalar, çalışma ilkeleri nedeniyle kolaylıkla senkronizma-dan ayrılmazlar. Yüklenme gereği bir senkron makina hızlanmaya ya da yavaşlamaya başlarsa, makinada meydana gelen senkronlayıcı kuvvetler makinayı senkronizmada tutarlar. Bununla beraber ani yüklemeler enerji taşıma hatlarındaki kısa devre arızaları gibi bazı durumlarda senkronlayıcı kuvvetler, bir senkron makina ya da bir kaç makina için yeterli olmayabilir.

Düger taraftan elektriksel yükler, ideal olarak sabit bir gerilim ve sabit bir frekansla beslenmelidir. Başka bir ifade ile hem gerilim hem de frekans elektriksel yükün gerektirdiği değerlerde olmalıdır. Bunlardaki değişim belli bir toleransın içinde örneğin gerilimdeki değişim  $+ \frac{1}{10}$ , frekanstaki değişim ise bir kaç hertz içinde kalmalıdır.

İşte yukarıda açıklanan nedenlerden dolayı güvenilirlik ve kalite, bir enerji sisteminden istenilen en önemli iki özelliklektir.

#### 4.3. ENERJİ SİSTEMLERİNDE STABİLİTE

Elektrik enerjisi ihtiyacı, çağımızdaki gelişmeler ve artan dünya nüfusu ile orantılı olarak hızla artmaktadır. Günümüzde bu ihtiyaç giderek büyüyen büyük güçlü senkron发电机ların geliştirilmesi ile sağlanmaktadır. Bunun yanında enerji üretim merkezlerinin yerleşim bölgelerinden uzaklarda kurulma gerekliliği, oldukça uzun yüksek gerilim iletim hatlarının kullanılması zorunluluğunu doğurmus-tur. Ancak, enerji üretiminin ve buna bağlı olarak dağıtımının büyümesi, önemli işletme ve kontrol sorunlarını birlikte getirmis-tir. Öyle ki bu sorunlardan en önemli enerji sisteminin stabilitesi ile ilgili olanıdır. Enerji sistemlerinde stabilitet bir bozucu etkiye maruz kalan sistemin bozucu etki sonrası tekrar bozucu etki-öncesi çalışma şartlarına dönme yeteneği anlamındadır. Bir enerji sistemi ancak, sisteme ait mekaniksel giriş ve elektriksel çıkış enerjileri arasında sürekli bir uyum bulunması şartı ile kararlı olarak çalışabilir. Burada sözü geçen mekaniksel giriş enerjileri, sistemdeki senkron发电机'lere ait tahrik sistemlerinin enerjileri-dir. Elektriksel yüklerin her biri ayrı ayrı düşünülürse, bunlarda olabilecek bir değişim sistem gücüne göre genellikle daha küçüktür. Bununla beraber, her bir elektriksel yük değişimi mekaniksel giriş enerjilerinde olabilecek karşı değişimlerle dengelenmelidir. Bunun sağlanmaması halinde, yukarıda da belirtildiği gibi sistem gerilim ve frekansı nominal değerlerinden saparlar. Büyük bozucu etki olarak tanımlanan ani yük değişimleri, enerji taşıma hatlarındaki kısa dev-



reler, açma kapama işlemleri ve enerji taşıma hatları ile yeraltı kablolarında meydana gelen kapasitif akımların söz konusu olduğu durumlarda daha büyük sorunlarla karşılaşılır. Bu gibi nedenlerle bir enerji sistemi, bozucu etki tipine bağlı olarak farklı davranışlar içinde bulunur. Öte yandan bilindiği gibi, sistemdeki senkron generatörlerin giriş enerjileri mekanik regülatörler ile ayarlanır. Elektriksel elemanlara göre daha büyük zaman sabitlerine sahip olan mekanik regülatörler, büyük bir bozucu etkiyi takip eden bir kaç saniyelik süre içinde hemen devreye giremezler. İşte, bir bozucu etki sonrası bir enerji sisteminin tam bir analizinin oldukça karmaşık olması bozucu etki tipi ve zaman, sistemin stabilité açısından analizinin sınıflandırılması gereğini ortaya koyar. Genellikle bu sınıflandırma;

1. Transient stabilite
2. Dinamik stabilite
3. Sürekli stabilite

şeklindedir.

#### 4.3.1. Transient - Stabilite

Senkronizmanın ani olarak kaybının söz konusu olduğu ani yük değişimleri, enerji taşıma hatlarındaki kısa devreler gibi büyük bozucu etkilere sistemin cevabı "Transient Stabilite" olarak adlandırılır. Transient stabilite ile, bozucu etkiden sonraki bir kaç saniyelik süre için sistemin dinamik analizi yapılır. Analizin yapıldığı kısa zaman aralığında tahrik sistemlerinin verdiği mekanik gücün değişmeyip sabit kaldığı kabul edilir. Başka bir ifade ile bu süre boyunca mekanik regülatörlerin devrede olmadığı kabul edilir.

Enerji sistemi büyük bir bozucu etkiye maruz kaldığında sisteme deki senkron makinalara ilişkin rotor (yük) açılarının ilk salınımları büyük öneme sahiptir. Sistemin senkronizmada kalma yeteneği ya da stabil olarak çalışması, ilk salınımdan sonraki salınımların birincisinden daha küçük olmaları ile belirlenir. İlk salınıma ait geçici olayları etkileyen en önemli etkenler şu şekilde sıralanabilir;

- a) Bozucunun türünü, yerini ve süresini bildiren darbenin etkisi,
- b) Bir bozucu etki tarafından başlatılan geçici olay sırasında enerji taşıma sisteminin güçlü senkronlama sağlayabilme yeteneği,
- c) Türbin-generator ve taşıma sistemi parametreleri.

Bu parametreleri etkileyen ön önemli sistem parametreleri ise,

1. Senkron makina parametreleri



- Eylemsizlik sabiti
- Boyuna eksen geçici reaktansı
- Boyuna eksen açık devre zaman sabiti
- Geçici olay sırasında uyarma sisteminin senkron makinanın akı değerine etkisi ile çıkış gücünü artırmadaki yeteneği.

2.Normal durumda, arıza sırasında ve arıza sonrasında enerji taşıma sistemi empedansları.

Arızalı kısım devre dışı bırakıldığı anda senkron makinalarla enerji taşıma sistemi arasında büyük transfer empedansları meydana geleceğinden arızalı kısmın devre dışı bırakılmasındaki esneklik çok önemlidir.

3. Koruyucu rölelerin özellikleri ve kullanılış yerleri.

Burada asıl gaye, enerji taşıma sistemindeki arızalı bölgenin en kısa zamanda belirlenip devre dışı bırakılmasına.

#### 4.3.2.Transient stabilite Simülasyon Yöntemleri

Enerji sisteminin büyük bozucu etkilere maruz kalması halinde, daha önce belirtildiği gibi, transient stabilite söz konusudur. Böyle bir durumda sistemin matematiksel modeli, lineer olmayan diferansiyel denklemlerden meydana geleceği için lineer kontrol teorisinden bilinen stabilite analiz yöntemleri ile sistemin davranışını incelenemez.

Önceleri Transient Stabilite analizi alternatif akım devre analizatörleri ile yapılmıştı. Sonraları, sistemin davranışını tanımlayan diferansiyel denklemlerin elle adım adım çözümleri ile belirlenme yoluna gidilmiş ve 1960'lı yıllarda bilgisayar programcılığındaki gelişmeler sistem davranışına oldukça uyumlu matematiksel modelleri kullanma imkanını getirmiştir. Giderek artan gelişmeler sonucunda transient stabilite sorununun incelenmesinde oldukça etkin olan sayısal simülasyon yöntemleri ortaya çıkmıştır. Sayısal simülasyon yöntemleri, sistemin fiziksel davranışına oldukça uyumlu matematiksel modelleri kullanma imkanını getirdiğinden, geçici olay esnasi ve sonrasında sistem davranışının tam olarak analizi imkanını vermiştir.

Sayısal simülasyon işleminde, ilk olarak bozucu etki öncesi sistemin sürekli haldeki yük akışı yapılır. Sonra, bütün çalışma koşullarını ihtiva edecek şekilde meydana getirilen sistemin matematiksel modelinin bilgisayarla çözümü ile sistemin stabilite analizi yapılır.

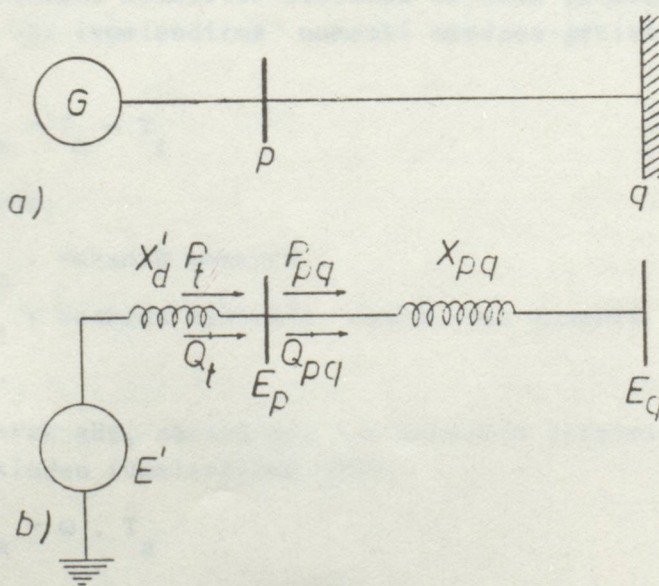
Bu çözüm işleminde sistemin stabil (kararlı) olup olmadığına, sistemdeki senkron makinalara ait rotor açılarının zamana göre davranışları ile karar verilir.

Simülasyon işleminde genellikle kullanılan nümerik analiz yöntemleri;

1. Euler yöntemi
2. Düzeltilmiş Euler Yöntemi
3. Runge-Kutta yöntemi.  
dir.

#### ÖRNEK PROBLEM

Aşağıdaki şekilde gösterilen senkron makinanın üretim gücü 100 MW ve 50 MVar'dır. Sonsuz q barasının gerilimi  $1,0 + j0$ , dır. 100000 kVA bazına göre hattın reaktansı 0.05 per-unit, aynı baz'a göre makinanın transient reaktansı 0.20 ve atalet momenti sabiti 3,5 per-unit olarak verilmiştir. P bölgesinde 0.10 saniye müddetle devam eden üç fazlı bir arıza için generatörün açısal hızı ve faz açısından değişmeleri Euler, Düzeltilmiş Euler ve Runge-Kutta yöntemleri ile hesaplıyalım. (Zaman artımı olarak 0,02 saniye ve maksimum zaman için de 0,20 saniye alınacaktır.)



- $P_t$  = Generatörün aktif çıkış gücü (4.3)  
 $Q_t$  = Generatörün reaktif çıkış gücü  
 $P_{pq}$  = Aktif güç akışı in dönen kısımları ile ilgili aktif net  
enerji cinsimler ile ilgili mekanik kanallardan.  
 $Q_{pq}$  = Reaktif güç akışı (4.4)  
 $E'$  = Transient reaktans gerisindeki gerilim  
 $E_p$  = p barasının gerilimi at momenti  
 $E_q$  = q barasının gerilimi al ivme at  
 $X'_d$  = Transient reaktans  
 $X_{pq}$  = Hat reaktansı (4.5)

ŞEKİL-4.1 Basit bir enerji sisteminin,

- (a) Tek hat diyagramını  
(b) Empedans diyagramını gösterir.

#### 4.4. SALINIM DENKLEMLERİ

Herhangi bir nedenle mekaniksel giriş ve senkron makinada endükle-  
nen elektriksel momentler arasında meydana gelecek bir dengesizlik  
makinada bir ivmelendirme momenti meydana getirir. Bu ivmelendirme  
momenti:

$$T_a = T_m - T_t \quad (4.1)$$

dir. Burada,

$T_m$  : Mekanik momenti N-m

$T_t$  : Senkron makinada endüklenen momenti N-m

gösterir.

Genel olarak güç, açısal hız ile momentin çarpımına eşit olduğundan,  
watt cinsinden ivmelendirme gücü:

$$P_a = \omega \cdot T_a \quad (4.2)$$

olar. (4.1) ve (4.2) denklemlerinden,



$$P_a = P_m - P_t \quad (4.3)$$

elde edilir. Sürekli halde  $P_m = P_t$  olduğundan ivmelendirme gücü  $P_a = 0$  olur.

Diger taraftan makinanın dönen kısımları ile ilgili aktif net moment, dönen cisimler ile ilgili mekanik kanunlardan,

$$T = J \cdot \alpha \quad (4.4)$$

dir. Burada,

$J$  : Dönen cismin atalet momenti

$\alpha$  : Dönen cismin açısal ivmesi

dir. Bilindiği gibi senkron makinada  $\theta_e$  elektriksel açı, mekanik açı  $\theta_m^o$  ve çift kutup sayısı  $p'$  den aşağıdaki gibi elde edilir.

$$\theta_e = p' \cdot \theta_m^o \quad (4.5)$$

$\delta$  açısı,  $\omega_o$  senkron açısal hızı ile dönen referansa göre rotor konumunu belirleyen açı ise, rotorun açısal konumu:

$$\delta = \theta_e - \omega_o t$$

olur. Burada,

$\omega_o$  : Makinanın senkron açısal hızını

$t$  : Zamanı

gösterir. Buradan referans eksene göre açısal hız veya kayma :

$$\frac{d\delta}{dt} = \frac{d\theta_e}{dt} - \omega_o$$

ve açısal ivme;

$$\frac{d^2\delta}{dt^2} = \frac{d^2\theta_e}{dt^2}$$

dir. (4.5) denkleminin zamana göre 2.türevi alınır ve yukarıda-ki ifade de yerine konursa;

$$\frac{d^2\delta}{dt^2} = \frac{d^2\theta_e}{dt^2} = p' \cdot \frac{d^2\theta_m^o}{dt^2}$$



olur. Burada,

$$\frac{d^2 \theta}{dt^2} = \alpha$$

dır. Bu değer (4.4) denkleminde yerine konursa makinanın dönen kısımları ile ilgili atalet momenti:

$$T = J \cdot \alpha = J \cdot \frac{1}{P} \frac{d^2 \delta}{dt^2} = J \cdot \frac{1}{P} \frac{d^2 \theta}{dt^2} \quad (4.6)$$

olur. (4.2) denklemi ile verilen ivmeleme gücü ise;

$$P_a = \omega_m \cdot T = \omega_m \cdot J \cdot \frac{1}{P} \frac{d^2 \delta}{dt^2} \quad (4.7)$$

şekline dönüşür. Genel olarak  $M$  açısal momentum :

$$M = \omega_m \cdot J \quad (4.8)$$

olduğundan (4.7) diferansiyel denklemi,

$$P_a = M \cdot \frac{1}{P} \cdot \frac{d^2 \delta}{dt^2} = P_m - P_t \quad (4.9)$$

olur. Makinanın dönen kısımlarında depo edilen kinetik enerji ise;

$$W_k = \frac{1}{2} J \cdot \omega_m^2 \quad (4.10)$$

dir.  $M = J \cdot \omega$  açısal momentumu, açısal hızın fonksiyonudur. Ancak bütün transient stabilité analizlerinde  $M$  sabit alınır. Bunun nedeni, transient stabilité analizlerinde makinaların senkronizma dışı olmadığı andan önceki zamanın düşünülmemesidir. Diğer taraftan çok kısa olan geçici olay sırasında hızındaki değişme çok küçük olduğundan (4.10) denklemi:

$$W_k = \frac{1}{2} M \cdot \omega_m^2 \quad (4.11)$$

olur.  $M$  açısal momentumun sayısal değerini bulmak için per-unit değerler kullanılır. Bu amaçla atalet momenti sabiti tanımlanır.  $H$  ile gösterilen ve saniye ile ölçülen atalet momenti sabiti, senkron makinanın dönen kısımları ile ilgili kinetik enerjisinin, senkron makinanın MVA olarak ölçülen görünen gücüne oranı olarak



tanımlanır.

$$H = \frac{W_k}{S_B} \quad (4.12)$$

(4.12) denkleminden makinanın dönen kısımlarında depo edilen kinetik enerji:

$$W_k = H \cdot S_B \quad (4.13)$$

olur.  $W_k$  yerine (4.11) denklemindeki değeri burada yerine konursa,

$$\frac{1}{2} M \omega_m = H \cdot S_B \quad (4.14)$$

olur. Buradan,

$$M = \frac{2 \cdot H \cdot S_B}{\omega_m} \quad (4.15)$$

elde edilir. Böylece (4.9) denklemi;

$$\frac{2 \cdot H \cdot S_B}{\omega_m} \cdot \frac{1}{P} \cdot \frac{d^2 \delta}{dt^2} = P_m - P_t \quad (4.16)$$

olur.  $\omega_o = P \cdot \omega_m$  olduğu dikkate alınırsa (4.16) denklemi;

$$\frac{2 \cdot H \cdot S_B}{\omega_o} \cdot \frac{1}{P} \cdot \frac{d^2 \delta}{dt^2} = P_m - P_t$$

şeklini alır. Yine  $\omega_o$  senkron açısal hızın  $2 \pi f$  olduğu da hatırlanırsa;

$$\frac{H \cdot S_B}{\pi \cdot f} \cdot \frac{d^2 \delta}{dt^2} = P_m - P_t$$

olur. Burada  $S_B$  senkron makinanın nominal görünen güçdür. Bu güç değeri baz seçilirse mekanik ve elektriksel güçlerin per-unit cinsinden değerleri:

$$\text{per-unit } P_m = \frac{P}{S_B}$$

ve



$$\text{per-unit } P_t = \frac{P_t}{S_B}$$

olur. Bu değerler dikkate alınarak (4.16) denkleminin her iki tarafı  $S_B$  ile bölünürse;

$$\frac{H}{\pi \cdot f} \cdot \frac{d^2 \delta}{dt^2} = P_m - P_t \quad (4.17)$$

elde edilir. Bu denklemde artık  $P_m$  ve  $P_t$  değerleri per-unit cinsinden seçilmesi gereklidir. (4.17) denklemi düzenlenirse makinanın salınım denklemi;

$$\frac{d^2 \delta}{dt^2} = \frac{\pi \cdot f}{H} (P_m - P_t) \quad (4.18)$$

olur. Bu ikinci dereceden diferansiyel denklem iki birinci dereceden diferansiyel denklem olarak aşağıdaki gibi yazılabilir.

$$\frac{d^2 \delta}{dt^2} = \frac{d\omega}{dt} = \frac{\pi \cdot f}{H} (P_m - P_t) \quad (4.19)$$

ve

$$\frac{d\delta}{dt} = \frac{d\theta_e}{dt} - \omega_o \quad (4.20)$$

rad/s olarak senkron açısal hız  $2\pi f$  olduğundan (4.20) denklemi;

$$\frac{d\delta}{dt} = \omega - 2\pi f \quad (4.21)$$

olur. Senkron makinaların bağıntılarından bilindiği gibi  $P_t$  endükle-nenen gücü,  $\delta$  rotor ya da yük açısının fonksiyonu olduğundan salınım denklemi lineer olmayan bir diferansiyel denklemidir. Bu ne-denle bu diferansiyel denklemin çözümünde lineer olmayan çözüm yöntemleri kullanılır.

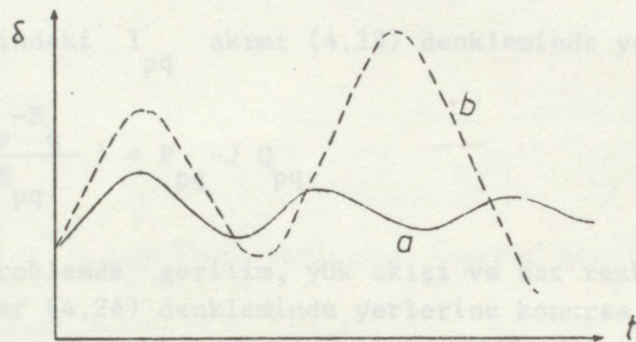
Elde edilen salınım denklemi için aşağıdaki sonuçlar yazılabilir.

1.  $\delta$  açısı sonsuz büyük güçlü bir şebekeye bağlı olan bir senkron makina için güç açısıdır.
2. Çok makinalı sistemler için sistemdeki makinaların sayısı kadar salınım denklemine ihtiyaç vardır.
3. Salınım denklemi grafik olarak (eşit alan kriteri) veya lineer



olmayan çözüm yöntemleri ile çözülür.

4. Salınım denklemlerinin  $\delta$  açısına bağlı olarak çizilen güç veya moment eğrilerine salınım eğrisi denir. Salınım eğrisi ulaşabileceğim en büyük noktadan sonra sürekli azalıyorsa, sistem kararlıdır. Şekil (4.2a). Bunun tersi oluyorsa, yani sürekli artma söz konusu ise sistemin kararsız olduğu söylenir. Şekil-(4.2b)



Şekil-4.2 Salınım eğrileri

5. Salınım denklemlerinde sönüm (amortisman) momenti veya gücü ihmal edildiğinden (4.18) denklemine bu momenti veya gücü göstermek için bir terim daha ilave edilir.

$$\frac{d^2\delta}{dt^2} + D \frac{d\delta}{dt} = \frac{\pi \cdot f}{H} (P_m - P_t)$$

Ele alınan örnek sisteme :

1. Transient esnasında  $E_q$  geriliminin 1.00 per-unit ve sabit kaldığı.
2. Bütün şartlar altında şebeke frekansının sabit kaldığı ve  $E_q$  geriliminin referans alındığı.
3. Mekanik güç  $P_m$ 'nin sabit kaldığı.
4. Transient reaktans gerisindeki  $E'$  e.m.k.'nin genliğinin sabit kaldığı.
5. Sönüüm (damping) momentinin ihmali edildiği kabul edilerek sonuçlar elde edilmiştir.

#### 4.5. BAŞLANGIÇ HESAPLARI :

Çözümün ilk adımında yük akışı elde edilecektir. Bunun için hat akımı:



$$I_{pq} = \frac{E_p - E_q}{X_{pq}}$$

olarak  $E_p = e_p + jf_p$  ve  $E_q = e_q + jf_q$  olarak elde edilir. Bu denklemde yerine konurularsa,  $I_{pq}$  denklemi (4.22)

dır. Ve hattaki güç akışı

$$E_p^* \cdot I_{pq} = P_{pq} - J Q_{pq}$$

(4.23)

(4.22) denklemindeki  $I_{pq}$  akımı (4.23) denkleminde yerine konursa,

$$E_p^* \left( \frac{E_p - E_q}{X_{pq}} \right) = P_{pq} - J Q_{pq}$$

(4.24)

elde edilir. Problemde gerilim, yük akışı ve hat reaktansı için verilen değerler (4.24) denkleminde yerlerine konursa,

$$\frac{E_p^*}{P} \left[ \frac{\frac{E_p - (1,0 + j0)}{j 0,05}}{P} \right] = 1,0 - j 0,5$$

$E_p = e_p + jf_p$  olarak alınır yukarıdaki denklemde yerine konursa,

$$\frac{(e_p - jf_p)}{P} \left[ \frac{(e_p + jf_p) - (1,0 + j0)}{j 0,05} \right] = 1,0 - j 0,5$$

$$(e_p - jf_p) (e_p + jf_p) - (e_p - jf_p) = 0,025 + j 0,05$$

Buradan

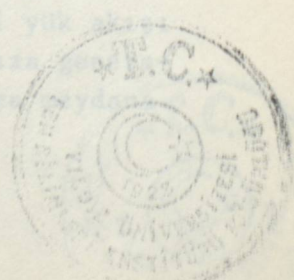
$$\frac{e_p^2}{P} + \frac{f_p^2}{P} - (e_p - jf_p) = 0,025 + j 0,05$$

elde edilir. Sonuç denklemenin her iki tarafındaki sanal kısımlar birbirine eşit olacağından  $f_p = 0,05$  olarak elde edilir. Bu değer yukarıdaki denklemde  $f_p^2$  'de  $P$  yerine konursa denklemenin reel bileşenleri:

$$\frac{e_p^2}{P} + 0,0025 - \frac{e_p}{P} = 0,025$$

veya

$$\frac{e_p^2}{P} - \frac{e_p}{P} - 0,0225 = 0$$



olur. Bu denklemin çözümünden  $e_p = 1,022$  olarak elde edilir. Bu değer ve  $f_p$  değeri  $E_p = e_p + j f_p$  olarak tariflediğimiz  $E_p$  'de yerine konursa  $E_p$  için,

$$E_p = 1,022 + j 0,05$$

elde edilir.

Makinanın Akımı:

$I_t = \frac{P_t - JQ_t}{E_p^*}$  cinsinden atatet momenti sabitini ve  $P_t$  sabit kalan mekanik güç gösterir. Mekanik güçten gelen aktif gücüne eşittir. Tari  $P_t = 1,0$  dir.

dir.  $P_t$ ,  $Q_t$  ve  $E_p^*$  değerleri yerlerine konursa denklem:

$$I_t = \frac{1,0 - j 0,5}{1,022 - j 0,05}$$

Buradan,

$$I_t = 1,0 - j 0,440$$

bulunur. Transient reaktans gerisindeki gerilim

$$E' = E_p + J X_d I_t$$

dir. Bu denklemde  $I_t$  yukarıda hesaplanan değeri konursa,

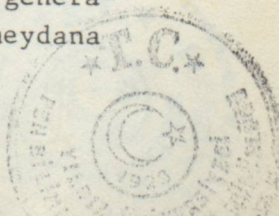
$$E' = 1,022 + j 0,05 + j 0,2 (1,0 - j 0,440)$$

$$E' = 1,110 + j 0,25$$

olur. Bu gerilimin genliği  $|E'| = 1,138$  ve faz açısı da  $\delta = 12,693^\circ$  dir.

Böylece arızadan önce, generatörün açısal hızının ve faz açısının başlangıç değerleri sırasıyla  $\omega_{(0)} = 2\pi f = 376,990$  ve  $\delta_{(0)} = 12,693^\circ$  olarak bulunmuş olur.

P barasındaki arıza, bu baradaki gerilim sıfırda eşit alındığında duruma benzetilir. Daha sonra, arızanın meydana geldiği anda generatörün aktif gücünü hesaplamak için sisteme yeni yük akışı elde edilir. Ele alınan problemde generatörün gücü, arıza generatör uçlarında meydana geldiğinden sıfırdır. O halde arıza meydana geldiği anda generatör gücü  $P_{t(0)} = 0$  alınır.



$t + \Delta t$  anında generatörün açısal hızı ve faz açısı aşağıdaki dифe-

ransiyel denklemler çözüлerek elde edilir.

$$\frac{d\omega}{dt} = \frac{\pi f}{H} (P_m - P_t)$$

ve  $t = 0,02$  anında açısal hızın değişim miktarı:

$$\frac{d\delta}{dt} = \omega - 2\pi f$$

Burada  $H$  per-unit cinsinden atalet momenti sabitini ve  $P_m$  regü-

latör etkisi yokken sabit kalan mekanik gücü gösterir.  $P_t$  Mekanik

güç arızadan önceki generatör gücüne eşittir. Yani  $P_t = 1,0$  dir.

#### 4.6 EULER YÖNTEMİ İLE ÇÖZÜM :

İlk çözüm Euler yöntemi kullanılarak elde edilecektir.

Açısal hızındaki değişim miktarı:

$$\left. \frac{d\omega}{dt} \right|_{(0)} = \frac{\pi f}{H} (P_m - P_t) = \frac{60\pi}{3,5} (1,0 - 0)$$

$$\left. \frac{d\omega}{dt} \right|_{(0)} = 53,856$$

$t = 0,02$  anındaki açısal hız:

$$\omega_{(0,02)} = \omega_{(0)} + \left. \frac{d\omega}{dt} \right|_{(0)} \Delta t$$

$$\omega_{(0,02)} = 376,990 + (53,856)(0,02)$$

$$\omega_{(0,02)} = 378,067 \text{ rad/s}$$

Faz açısından değişme miktarı :

$$\left. \frac{d\delta}{dt} \right|_{(0)} = \omega_{(0)} - 2\pi f$$

$$\left. \frac{d\delta}{dt} \right|_{(0)} = 0$$

$t = 0,02$  anında faz açısı:

$$\delta_{(0,02)} = 12,693^\circ$$



dir. Bu yeni faz açısı  $\delta_{(0,02)}$  generatör gücünü hesaplamak için yeni yük akışı hesabında kullanılır.  $t = 0,02$  anında arıza devam ettiğinden, generatör gücü sıfırdır.

$t + \Delta t = 0,02$  için hesaplar tamamlanır. Daha sonra  $t = 0,02$  alınır. ve  $t + \Delta t = 0,04$  değerini elde etmek için işlem tekrarlanır.

$t = 0,02$  anında açısal hızın değişme miktarı:

$$\left. \frac{d\omega}{dt} \right|_{(0,02)} = \frac{60 \cdot \pi}{3,5} (1,0 - 0) = 53,856$$

$t = 0,04$  anında açısal hız:

$$\omega_{(0,04)} = \omega_{(0,02)} + \left. \frac{d\omega}{dt} \right|_{(0,02)} \Delta t$$

$$\omega_{(0,04)} = 378,067 + 53,856 (0,02)$$

$$\omega_{(0,04)} = 379,144$$

Faz açısından değişme miktarı:

$$\left. \frac{d\delta}{dt} \right|_{(0,02)} = \delta_{(0,02)} - 2 \pi f = 1,077 \text{ rad/s}$$

$t = 0,04$  anındaki faz açısı:

$$\delta_{(0,04)} = \delta_{(0,02)} + \left. \frac{d\delta}{dt} \right|_{(0,02)} \left( \frac{180^\circ}{\pi} \right) \Delta t$$

$$\delta_{(0,04)} = 12,693^\circ + 1,077 \left( \frac{180^\circ}{\pi} \right) \cdot 0,02$$

$$\delta_{(0,04)} = 13,927^\circ$$

olur.

$t = 0,06$ ,  $t = 0,08$  ve  $t = 0,10$  değerleri için benzer tarzda hesaplamaya devam edilir.

$t = 0,10$  saniyesinde arıza kaldırılmıştır. Generatörün aktif gücünün hesaplanması için, arızanın kalkması ile elde edilen yeni sistem şartlarında yük akışının hesaplanması gereklidir.

Bu problemde makina akımı ve hat akımı birbirine eşit olduklarını-



dan, makina akımı aşağıdaki denklemden hesaplanır.

$$I_t = \frac{E' - E}{J(X_d' + X_p q)}$$

Burada  $|E'|$ 'nin faz açısı  $\delta_{(0,10)}$  dur. Bilinen bütün değerler yerine konursa,

$$I_t = \frac{1,0311 + j0,4815 - (1,0 + j0)}{j0,25}$$

$$I_t = 1,9260 - j0,1244$$

olur. Bundan sonra P barasındaki gerilim ise:

$$E_p = E' - jX_d' I_t$$

$$E_p = 1,0311 + j0,4815 - j0,2 (1,9260 - j0,1244)$$

$$E_p = 1,0062 + j0,0963$$

olarak bulunur.

Daha sonra, arızanın kaldırılmasını takip eden andaki generatörün aktif gücü aşağıdaki gibi hesaplanır.

$$P_{t(0,10)} = \operatorname{Re} (E_p^* I_t^*)$$

$$P_{t(0,10)} = \operatorname{Re} [(1,0062 - j0,0963) (1,9260 - j0,1244)]$$

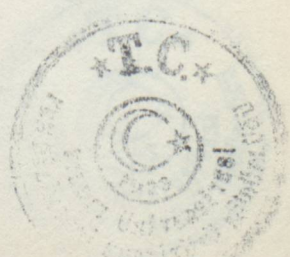
$$P_{t(0,10)} = 1,926$$

$t = 0,10$  anındaki açısal hızın değişme miktarı:

$$\left. \frac{d\omega}{dt} \right|_{(0,10)} = \frac{60 \pi}{3,5} (1,0 - 1,926)$$

$$\left. \frac{d\omega}{dt} \right|_{(0,10)} = -49,9$$

Buradan  $t = 0,12$  anındaki açısal hız:



$$\omega_{(0,12)} = \omega_{(0,10)} + \left. \frac{d\omega}{dt} \right|_{(0,10)} \Delta t$$

$$\omega_{(0,12)} = 382,375. + (-49,9) (0,02)$$

$$\omega_{(0,12)} = 381,377$$

olarak hesaplanır.

Faz açısından değişme miktarı ise:

$$\left. \frac{d\delta}{dt} \right|_{(0,10)} = \delta_{(0,10)} - 2\pi f = 5,385$$

Buradan  $t=0,12$  anındaki faz açısı ise:

$$\delta_{(0,12)} = \delta_{(0,10)} + 5,385 \left( \frac{180^\circ}{\pi} \right) .0,02$$

$$\delta_{(0,12)} = 31,203^\circ$$

bulunur.

Son olarak,  $t=0,12$  anında generatörün aktif gücünü elde etmek için yeni bir yük akışı hesaplanır. Bu işlemde her bir zaman artımında hesaplanan bir yük akışı ile devam edilir.  $t=0$  dan  $t=0,20$  ye kadar elde edilen bilgisayar sonuçları 4.6.2'de verilmiştir.

#### 4.6.1. Bilgisayar Programı



YILDIZ UNIVERSITESI

3, 4, 1995

YILDIZ UNIVERSITESI  
8.4.1985



```
TN=0.20
TA=0.10
C   TA: ARIZANIN KALKTIGI ZAMAN
M=(TN/DT)+1
N=(TA/DT)+1
C
C   HESAPLAMALAR
C
DO 10 I=2,M
A(I)=A(I-1)+DA(I-1)*DT
B(I)=B(I-1)+DB(I-1)*(180/PI)*DT
IF(I.LT.N)GOTO 203
D(I)=B(I)*PI/180.
E(I)=CMPLX(EIO*COS(D(I)),EIO*SIN(D(I)))
IT(I)=(E(I)-EQ)/CSD
EP(I)=E(I)-CSE*IT(I)
HEP(I)=CABS(EP(I))
C(I)=(ATAN(AIMAG(EP(I))/ABS(REAL(EP(I)))))180/PI
IF(REAL(EP(I)))100,400,400
100 IF(AIMAG(EP(I)))200,300,300
200 C(I)=-180.-C(I)
      GOTO 400
300 C(I)=180.-C(I)
400 CONTINUE
      PT(I)=REAL(CONJG(EP(I))*IT(I))
      GOTO 203
C
C
203 DA(I)=CONST*(PM-PT(I))
DB(I)=A(I)-2*PI*f
IF(I.NE.N) GO TO 10
201 HEP(I)=0.
C(I)=0.
PT(I)=0.
10 CONTINUE
C
C   YAZMA BOLUMU
C
      WRITE(6,22)
22 FORMAT(1H1,////,50X,'GENERATOR DEGERLERİ ',30X,'P
*BARASI',/,3X,090('''),10X,20('''))
      WRITE(6,23)
23 FORMAT(5X,'ZAMAN (I)',5X,'ACISAL HIZ (W)',5X,'GERILIM (IEI)'
*,1X,'FAZ ACISI (C)',5X,'AKTİF GÜC (PT)',5X,'GERILIM (IEPI)'
*,5X,'FAZ ACISI (CP)')
      WRITE(6,25)
25 FORMAT(5X,09('''),5X,14('''),5X,I3('''),8X,13('''),5X,14(''')
*,5X,14('''),5X,14('''),//)
      Z=0.
      DO 30 I=1,M
      WRITE(6,33)Z,A(I),EIO,B(I),PT(I),HEP(I),C(I)
33 FORMAT(2X,F9.3,8X,F09.3,10X,F10.3,10X,F09.3,11X,F09.3,11X
* F9.3,11X,F9.3)
      Z=Z+DT
30 CONTINUE
      CALL GRAF(DT,M,A,B)
      STOP
      END
      SUBROUTINE GRAF(DT,M,A,B)
      DIMENSION A(25),B(25)
      CHARACTER TABLO(50,90)*1,DUS(50)*6,DU(50)*6,DS(8)*6,DSD(13)*6
      DATA DS/'384. +', '382. +', '380. +', '378. +', '376. +', '374. +',
*'372. +', '370. +'/

```



```

DATA DSD//+ 58.,/+ 54.,/+ 50.,/+ 46.,/+ 44.,/+ 40.,
*'+ 36.,/+ 32.,/+ 28.,/+ 24.,/+ 20.,/+ 16.,/+ 12./
DATA DUS,DU/50* I',50*I      /
DATA TABLO /4500*  /
IJ=0
DO 1 I=48,2,-7
IJ=IJ+1
1  DUS(I)=DS(IJ)
JI=0
DO 2 II=49,2,-4
JI=JI+1
2  DU(II)=DSD(JI)
NN=1
N=DT*100
DO 20 I=1,M
K=(A(I)-370.)*3.5+.5
L=(C(I)-10.)*.5
TABLO(K,NN)='*'
TABLO(L,NN)='0'
NN=NN+N*4
20  CONTINUE
WRITE(*,22)
22  FORMAT(8X,90(' '))
DO 30 K=50,1,-1
WRITE(*,21) DUS(K),(TABLO(K,L),L=1,90),DU(K)
21  FORMAT(2X,A6,90A1,A6)
30  CONTINUE
WRITE(*,23) (KL,KL=2,20,2)
23  FORMAT(8X,'-',11('-----+'),--'/11X,4(4X,'0.0',I1),6(4X,'0.'
*,I2))
RETURN
END

```



4.6.2. Bilgisayar Çıkışları

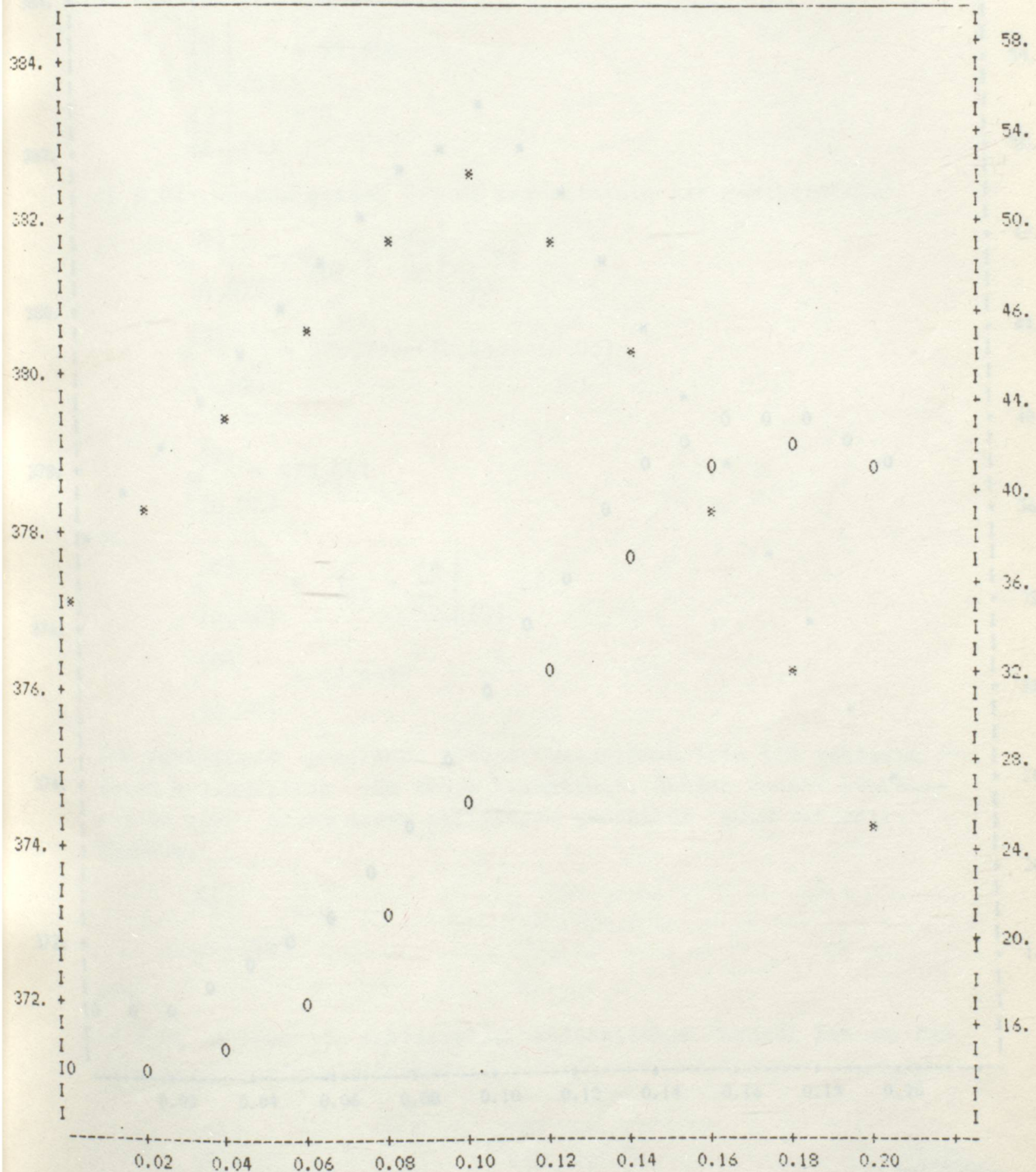
ZAMAN (s)	ACISAL HIZ (W)	GERILIM (IEI)	FAZ ACISI (C)	AKTİF GÜC (PT)	GENERATOR DEĞERLERİ		F. BARASI
					GERİLİM (IEP1)	FAZ ACISI (CF)	
0.000	376.990	1.138	12.693	0.000	0.000	0.000	0.000
.020	378.067	1.138	12.691	0.000	0.000	0.000	0.000
.040	379.144	1.138	13.924	0.000	0.000	0.000	0.000
.060	380.221	1.138	16.391	0.000	0.000	0.000	0.000
.080	381.298	1.138	20.092	0.000	0.000	0.000	0.000
.100	382.376	1.138	25.027	0.000	0.000	0.000	0.000
.120	381.378	1.138	31.197	2.358	1.002	6.759	6.759
.140	379.916	1.138	36.224	2.690	* 993	7.786	7.786
.160	378.096	1.138	39.575	2.905	* 986	8.455	8.455
.180	376.049	1.138	40.840	2.977	* 984	8.704	8.704
.200	373.920	1.138	39.760	2.911	* 986	8.492	8.492



ZAMAN (1)	ACISAL HIZ (W)	GERILIM (IEI)	DEGERLERI			F BARASI
			FAZ ACISI (C)	AKTIF GUC (PT)	GERILIM (IEP1)	
0.000	376.990	1.138	12.693	0.000	0.000	0.000
.010	377.529	1.138	12.692	0.000	0.000	0.000
.020	378.067	1.138	13.000	0.000	0.000	0.000
.030	378.606	1.138	13.616	0.000	0.000	0.000
.040	379.144	1.138	14.541	0.000	0.000	0.000
.050	379.683	1.138	15.774	0.000	0.000	0.000
.060	380.221	1.138	17.316	0.000	0.000	0.000
.070	380.760	1.138	19.167	0.000	0.000	0.000
.080	381.298	1.138	21.326	0.000	0.000	0.000
.090	381.837	1.138	23.794	0.000	0.000	0.000
.100	382.376	1.138	26.570	0.000	0.000	0.000
.110	381.818	1.138	29.655	2.252	1.004	6.439
.120	381.143	1.138	32.420	2.440	1.000	7.012
.130	380.367	1.138	34.799	2.55%	.995	7.496
.140	379.507	1.138	36.733	2.722	.992	7.889
.150	378.579	1.138	38.174	2.813	.989	8.177
.160	377.603	1.138	39.084	2.870	.987	8.358
.170	376.596	1.138	39.434	2.891	.986	8.427
.180	375.577	1.138	39.207	2.877	.987	8.383
.190	374.566	1.138	38.397	2.827	.989	8.222
.200	373.582	1.138	37.007	2.740	.991	7.944



4.6.3. Açısal Hız ve Faz Açısının Zamana Göre Değişim Eğrileri



I da yah aksa kullanılarak, t-ö anında açısal his ve faz ayırmaları  
I + 59.  
384. + ki degisim mitterleri i

\* \* \* \* \* 50

$\tau = 0.02$  sonda egsel his ve faz  $\alpha$ 'sının ilk yaklaşımaları:

$$I_4 = \frac{d}{dt} \left|_{t=0} \right. \int_{\Omega} \phi(x) \psi(x) dx$$

$$= 376,990 + (53,856) (0.02)$$

(0,02) 0 0 0 I I t 40

378,067

(0,02) (0) dt | (0) 0

İlk yekângında generator  $G_1$ ’i hesaplamak için ilk ve  
374. + ikinci kullanılarak yük akışı hesaplanır. Bundan başlı  
+  $G_1$ ’deki arıza devresi üzerinden generator akısı hesaplanır.

0 0 + 26

372. + 0 0



#### 4.7 DÜZELTİLMİŞ EULER YÖNTEMİ İLE ÇÖZÜM

Şimdi aynı problemi düzeltilmiş Euler yöntemi ile çözelim. Başlangıç hesaplarından elde edilen başlangıç değerleri, arıza anında yük akışı kullanılarak,  $t=0$  anında açısal hız ve faz açısından değişme miktarları :

$$\left. \frac{d\omega}{dt} \right|_{(0)} = 53,856$$

$$\left. \frac{d\delta}{dt} \right|_{(0)} = 0$$

$t=0,02$  anında açısal hız ve faz açısının ilk yaklaşımıları:

$$\omega_{(0,02)}^{(0)} = \omega_{(0)}^{(0)} + \left. \frac{d\omega}{dt} \right|_{(0)} \Delta t$$

$$\omega_{(0,02)}^{(0)} = 376,990 + (53,856) (0,02)$$

$$\omega_{(0,02)}^{(0)} = 378,067$$

ve

$$\delta_{(0,02)}^{(0)} = \delta_{(0)}^{(0)} + \left. \frac{d\delta}{dt} \right|_{(0)} \Delta t$$

$$\delta_{(0,02)}^{(0)} = 12,693^\circ$$

İlk yaklaşımda generatör gücünü hesaplamak için ilk yaklaşım faz açısı kullanılarak yük akışı hesaplanır. Bundan önceki yöntemde olduğu gibi arıza devam ettiğinden generatör gücü sıfırdır. Böylece,

$$P_{t(0,02)}^{(0)} = 0$$

olar.

$t=0,02$  anında ilk yaklaşım kullanılarak açısal hız ve faz açısından değişme miktarları:

$$\left. \frac{d\omega}{dt} \right|_{(0,02)} = \frac{\pi f}{H} (P_m - P_{t(0,02)}^{(0)})$$



$$\left. \frac{d\omega}{dt} \right|_{(0,02)} = 53,856$$

$$\left. \frac{d\delta}{dt} \right|_{(0,02)} = \omega_{(0,02)}^{(0)} - 2\pi f$$

$$\left. \frac{d\delta}{dt} \right|_{(0,02)} = (378,067 - 2\pi f)$$

$$\left. \frac{d\delta}{dt} \right|_{(0,02)} = 1,077$$

Bundan sonra  $t = 0,02$  anında açısal hızın ve faz açısının son yaklaşımıları:

$$\omega_{(0,02)}^{(1)} = \omega_{(0)} + \left( \frac{\left. \frac{d\omega}{dt} \right|_{(0)} + \left. \frac{d\omega}{dt} \right|_{(0,02)}}{2} \right) \cdot \Delta t$$

$$\omega_{(0,02)}^{(1)} = 376,990 + \left( \frac{53,856+53,856}{2} \right) 0,02$$

$$\omega_{(0,02)}^{(1)} = 378,067$$

$$\delta_{(0,02)}^{(1)} = \delta_{(0)} + \left( \frac{\left. \frac{d\delta}{dt} \right|_{(0)} + \left. \frac{d\delta}{dt} \right|_{(0,02)}}{2} \right) \cdot \Delta t$$

$$\delta_{(0,02)}^{(1)} = 12,693^\circ + \left( \frac{0+1,077}{2} \right) \left( \frac{180}{\pi} \right) 0,02$$

$$\delta_{(0,02)}^{(1)} = 13,310^\circ$$

$t = 0,02$  anında generatör gücünü hesaplamak için faz açısının son yaklaşımı  $\delta_{(0,02)}^{(1)}$  kullanılarak bir yük akışı elde edilir. Halen arıza devam ettiğinden generatörün gücü  $P_{t(0,02)}^{(1)} = 0$  dır. Bu durum arıza kalkana kadar devam eder.

$t + \Delta t = 0,02$  için bu hesaplar tamamlandıktan sonra  $t$  yerine  $0,02$  konarak  $t + \Delta t = 0,04$  anındaki değerleri elde etmek için işlem tekrarlanır. Düzeltilmiş Euler yönteminin uygulanmasında, her bir zaman artımı için iki defa yük akışı hesaplanması gereklidir.  $t = 0$  anından  $t = 0,20$  aralığı için hesaplanan bilgisayar sonuçları 4.7.2'de verilmiştir.

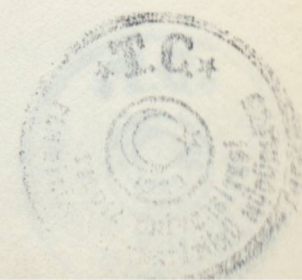
#### 4.7.1. Bilgisayar Programı





C HESAPLAMALAR  
TN=0.20  
TA=0.10  
C TA: ARIZANIN KALKTIGI ZAMAN,2),PT(T,2),HEP  
M=(TN/DT)+1  
N=(TA/DT)+1  
C  
C  
DO 10 T=2,M  
C(T,1)=C(T-1,2)+A(T-1,2)\*DT  
D(T,1)=D(T-1,2)+B(T-1,2)\*DT\*180/PI  
IF(T.LE.N) GOTO 20  
E(T,1)=D(T,1)\*PI/180  
EI(T,1)=CMPLX(EI0\*COS(E(T,1)),EI0\*SIN(E(T,1)))  
TIT(T,1)=(EI(T,1)-EQ)/CSD  
EP(T,1)=EI(T,1)-CSE\*TIT(T,1)  
HEP(T,1)=CABS(EP(T,1))  
G(T,1)=(ATAN(AIMAG(EP(T,1))/ABS(REAL(EP(T,1))))) \*180/PI  
IF(REAL(EP(T,1)))100,400,400  
100 IF(AIMAG(EP(T,1)))200,300,300  
200 G(T,1)=-180.-G(T,1)  
GOTO 400  
300 G(T,1)=180.-G(T,1)  
400 CONTINUE  
PT(T,1)=REAL(CONJG(EP(T,1))\*TIT(T,1))  
GOTO 30  
20 PT(T,1)=0.  
30 A(T,1)=CONST\*(PM-PT(T,1))  
B(T,1)=C(T,1)-2\*PI\*F

C  
C 2. KISIM  
C  
C(T,2)=C(T-1,2)+(A(T-1,2)+A(T,1))/2\*DT  
D(T,2)=D(T-1,2)+(B(T-1,2)+B(T,1))/2\*DT\*180./PI  
IF(T.LT.N)GOTO 40  
E(T,2)=D(T,2)\*PI/180.  
EI(T,2)=CMPLX(EI0\*COS(E(T,2)),EI0\*SIN(E(T,2)))  
TIT(T,2)=(EI(T,2)-EQ)/CSD  
EP(T,2)=EI(T,2)-CSE\*TIT(T,2)  
HEP(T,2)=CABS(EP(T,2))  
G(T,2)=(ATAN(AIMAG(EP(T,2))/ABS(REAL(EP(T,2))))) \*180/PI  
IF(REAL(EP(T,2)))102,402,402  
102 IF(AIMAG(EP(T,2)))202,302,302  
202 G(T,2)=-180.-G(T,2)  
GOTO 402  
302 G(T,2)=180.-G(T,2)  
402 CONTINUE  
PT(T,2)=REAL(CONJG(EP(T,2))\*TIT(T,2))  
4 GOTO 50  
40 PT(T,2)=0.  
50 A(T,2)=CONST\*(PM-PT(T,2))  
B(T,2)=C(T,2)-2\*F\*PI  
10 CONTINUE  
C  
C YAZMA BOLUMU  
C  
PT(6,2)=0.0  
HEP(6,2)=0.0  
G(6,2)=0.0  
WRITE(6,22)  
22 FORMAT(1H1,////,50X,'GENERATOR DEGERLERİ ',35X,  
\*'P BARASI',/,10X,085(''),05X,35(''))  
WRITE(6,23)  
23 FORMAT(5X,'ZAMAN (T)',5X,'ACISAL HIZ (W)',5X,'GERILIM (IEI)'  
\*,1X,'FAZ ACISI (C)',5X,'AKTIF GUC (PT)',5X,'GERILIM (IEPI)'  
\*,5X,'FAZ ACISI (CP)')  
WRITE(6,25)



```
25 FORMAT(5X,09('''),5X,14('''),5X,13('''),8X,13('''),5X,14(''')
*5X,14('''),5X,14('''),//)
Z=0.
DO 32 T=1,11
WRITE(6,33)Z,C(T,2),E10,D(T,2),PT(T,2),HEP
*(T,2),G(T,2)
33 FORMAT(2X,F09.2,8X,F09.3,10X,F10.3,10X,F09.3,11X,F09.3,11X,
* F9.3,11X,F9.3)
Z=Z+DT
32 CONTINUE
CALL GRAF(DT,M,C,D)
STOP
END
SUBROUTINE GRAF(DT,M,A,C)
DIMENSION A(25,2),C(25,2)
CHARACTER TABLO(50,90)*1,DUS(50)*6,DU(50)*6,DS(8)*6,DS(13)*6
DATA DS/'384. +',/382. +',/380. +',/378. +',/376. +',/374. +'
*'372. +',/370. +'/
DATA DSD//'+ 58.,/+ 54.,/+ 50.,/+ 46.,/+ 44.,/+ 40.,
*'+ 36.,/+ 32.,/+ 28.,/+ 24.,/+ 20.,/+ 16.,/+ 12.//'
DATA DUS,DU/50*'/,50*I      '/
DATA TABLO /4500*'/
IJ=0
DO 1 I=48,2,-7
IJ=IJ+1
1 DUS(I)=DS(IJ)
JI=0
DO 2 II=49,2,-4
JI=JI+1
2 DU(II)=DSD(JI)
NN=1
N=DT*100
DO 20 I=1,M
K=(A(I,2)-370.)*3.5+.5
L=(C(I,2)-10.)+.5
TABLO(K,NN)='*'
TABLO(L,NN)='0'
NN=NN+N*4
20 CONTINUE
WRITE(*,22)
22 FORMAT(8X,90('''))
DO 30 K=50,1,-1
WRITE(*,21) DUS(K),(TABLO(K,L),L=1,90),DU(K)
21 FORMAT(2X,A6,90A1,A6)
30 CONTINUE
WRITE(*,23) (KL,KL=2,20,2)
23 FORMAT(8X,'-',11('-----+'),'--',/11X,4(4X,'0.0',I1),6(4X,'0.'
*,I2))
RETURN
END
```



#### 4.7.2. Bilgisayar Çıkışları

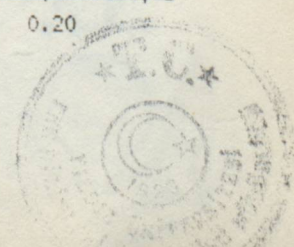
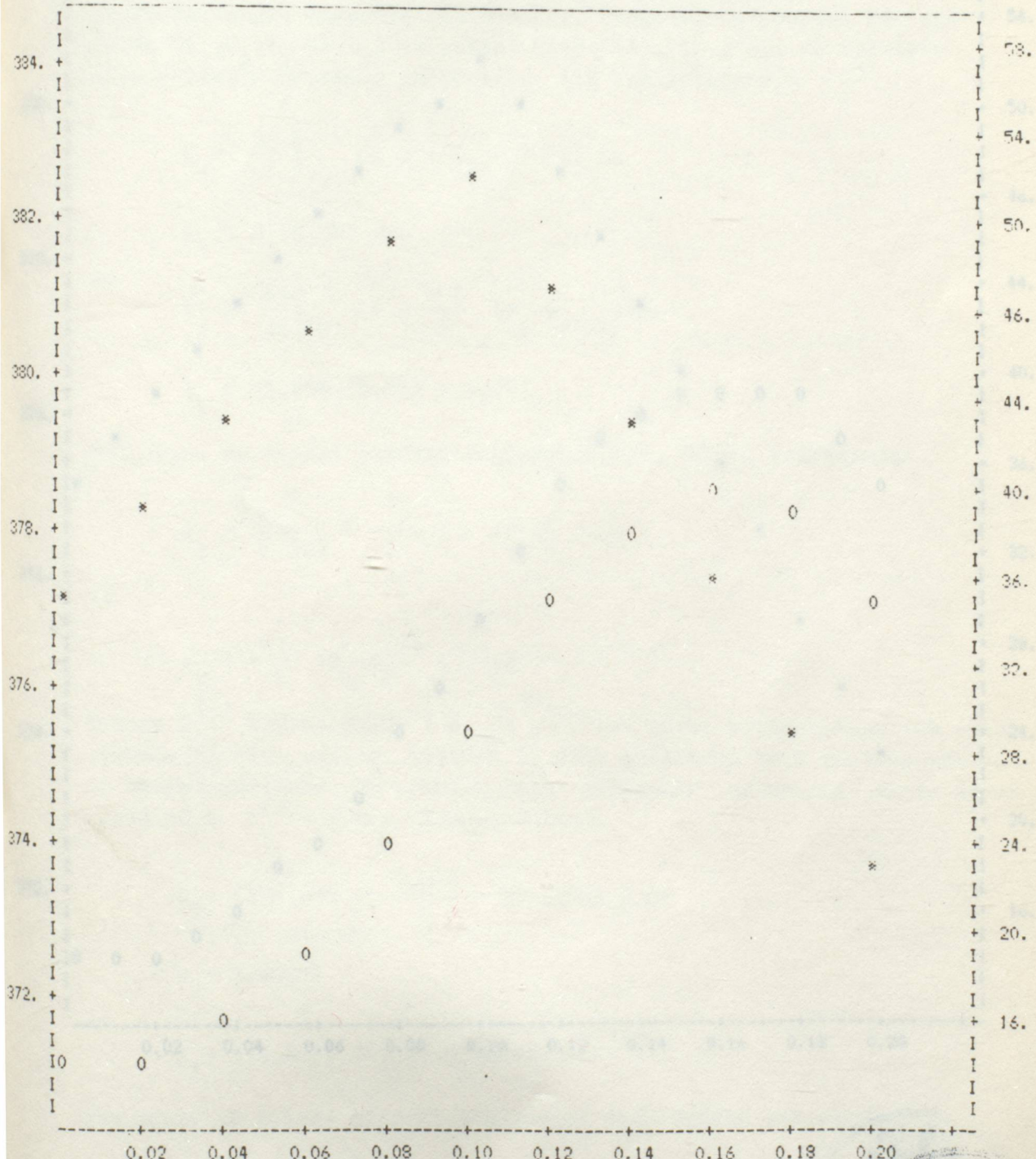
ZAMAN (T)	ACISAL HIZ (W)	GERİLİM (IEI)	GENERATOR DEĞERLERİ			P BARASI
			FAZ ACISI (C)	AKTİF GÜC (PT)	GERİLİM (IEPI)	
0.00	376.990	1.138	12.693	0.000	0.000	0.000
.02	378.067	1.138	13.309	0.000	0.000	0.000
.04	379.144	1.138	15.159	0.000	0.000	0.000
.06	380.221	1.138	18.243	0.000	0.000	0.000
.08	381.298	1.138	22.561	0.000	0.000	0.000
.10	382.376	1.138	28.114	0.000	0.000	0.000
.12	380.917	1.138	33.577	2.518	*998	7.249
.14	379.126	1.138	37.138	2.748	*991	7.970
.16	377.161	1.138	38.505	2.834	*988	8.243
.18	375.179	1.138	37.567	2.775	*990	8.056
.20	373.338	1.138	34.395	2.571	*996	7.416

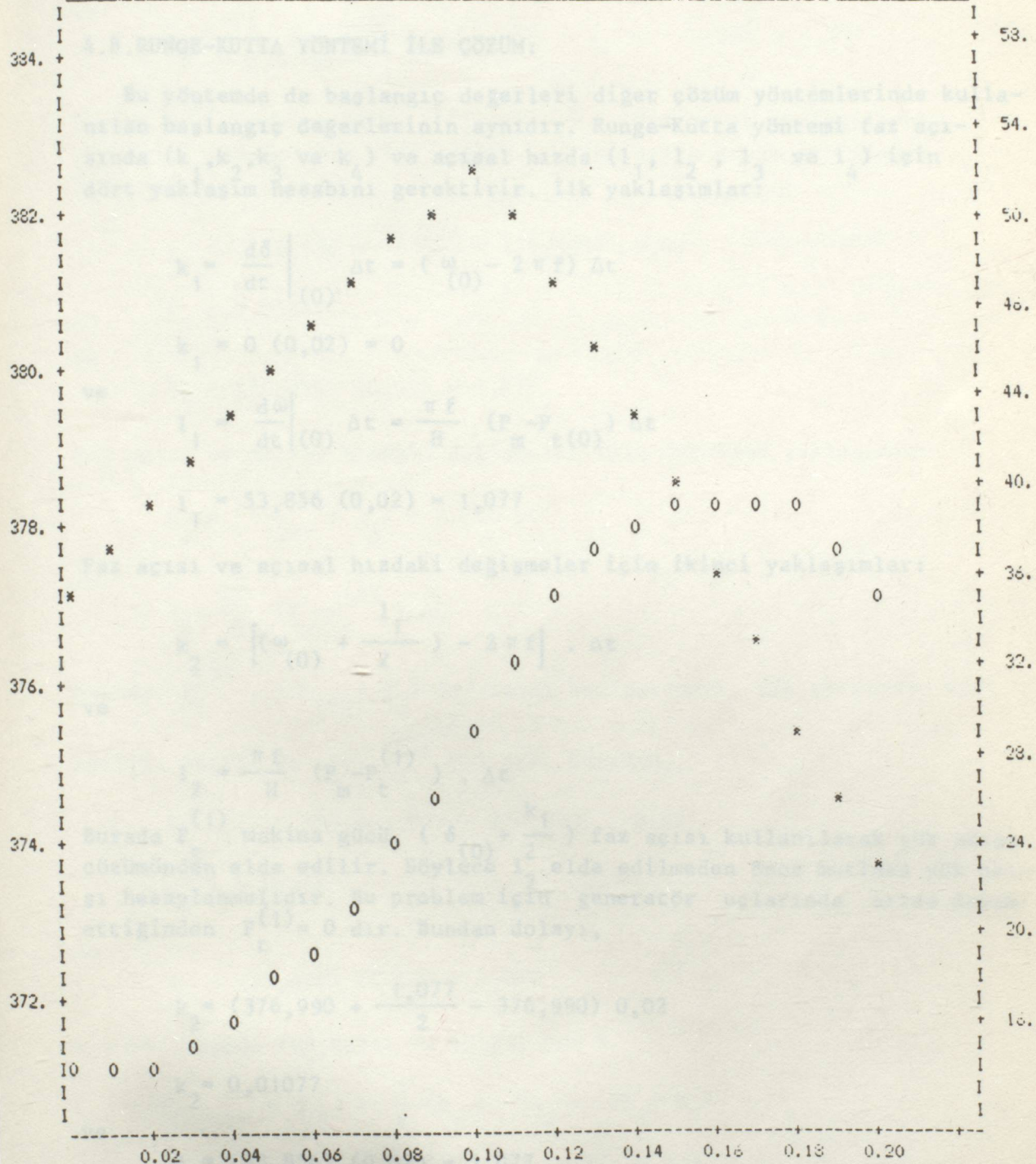


GENERATOR DEGERLERİ		GERILIM (IEI)		AKTİF GÜC (PT)		P BARASI	
İAN (T)	ACİS AL HİZ (W)	FAZ ACİSİ (G)	GERİLİM (IEI)	FAZ ACİSİ (G)	AKTİF GÜC (PT)	GERİLİM (IEI)	FAZ ACİSİ (GP)
•00	376.970	1.133	1.133	12.693	0.000	0.000	0.000
•01	377.529	1.133	1.133	12.847	0.000	0.000	0.000
•02	373.067	1.133	1.133	13.309	0.000	0.000	0.000
•03	373.566	1.133	1.133	14.079	0.000	0.000	0.000
•04	372.144	1.133	1.133	15.159	0.000	0.000	0.000
•05	372.685	1.133	1.133	16.546	0.000	0.000	0.000
•06	380.221	1.133	1.133	18.242	0.000	0.000	0.000
•07	330.762	1.133	1.133	20.247	0.000	0.000	0.000
•08	381.298	1.133	1.133	22.561	0.000	0.000	0.000
•09	381.837	1.133	1.133	25.183	0.000	0.000	0.000
•10	362.376	1.133	1.133	28.113	0.000	0.000	0.000
•11	361.762	1.133	1.133	31.021	2.346	1.002	6.723
•12	380.928	1.133	1.133	33.513	2.513	0.998	7.236
•13	380.073	1.133	1.133	35.534	2.646	0.994	7.647
•14	379.157	1.133	1.133	37.046	2.742	0.991	7.952
•15	373.197	1.133	1.133	38.018	2.804	0.989	8.146
•16	377.214	1.133	1.133	38.431	2.829	0.988	8.228
•17	376.227	1.133	1.133	38.276	2.820	0.989	8.198
•18	375.254	1.133	1.133	37.557	2.775	0.990	8.054
•19	374.316	1.138	1.138	36.288	2.694	0.993	7.799
•20	373.430	1.138	1.138	34.493	2.578	0.996	7.436



#### 4.7.3. Açısal Hız ve Faz Açısının Zamana Göre Değişim Eğrileri





#### 4.8.RUNGE-KUTTA YÖNTEMİ İLE ÇÖZÜM:

Bu yöntemde de başlangıç değerleri diğer çözüm yöntemlerinde kullanılan başlangıç değerlerinin aynıdır. Runge-Kutta yöntemi faz açısından ( $k_1, k_2, k_3$  ve  $k_4$ ) ve açısal hızda ( $l_1, l_2, l_3$  ve  $l_4$ ) için dört yaklaşım hesabını gerektirir. İlk yaklaşımalar:

$$k_1 = \left. \frac{d\delta}{dt} \right|_{(0)} \Delta t = (\omega_{(0)} - 2\pi f) \Delta t$$

$$k_1 = 0 (0,02) = 0$$

ve

$$l_1 = \left. \frac{d\omega}{dt} \right|_{(0)} \Delta t = \frac{\pi f}{H} (P_m - P_t(0)) \Delta t$$

$$l_1 = 53,856 (0,02) = 1,077$$

Faz açısı ve açısal hızdaki değişimler için ikinci yaklaşımalar:

$$k_2 = \left[ (\omega_{(0)} + \frac{l_1}{2}) - 2\pi f \right] \cdot \Delta t$$

ve

$$l_2 = \frac{\pi f}{H} (P_m - P_t^{(1)}) \cdot \Delta t$$

Burada  $P_t^{(1)}$  makina gücü,  $(\delta_{(0)} + \frac{k_1}{2})$  faz açısı kullanılarak yük akışı çözümünden elde edilir. Böylece  $l_2$  elde edilmeden önce mutlaka yük akışı hesaplanmalıdır. Bu problem için generatör uçlarında arıza devam ettiğinden  $P_t^{(1)} = 0$  dır. Bundan dolayı,

$$k_2 = (376,990 + \frac{1,077}{2} - 376,990) 0,02$$

$$k_2 = 0,01077$$

ve

$$l_2 = (53,856) (0,02) = 1,077$$

Faz açısı ve açısal hızdaki değişimler için üçüncü yaklaşımalar:

$$k_3 = \left[ (\omega_{(0)} + \frac{l_2}{2}) - 2\pi f \right] \cdot \Delta t$$



ve

$$l_3 = \frac{\pi f}{H} (P_m - P_t^{(2)}) \Delta t$$

Burada  $P_t^{(2)}$  makina gücü,  $(\delta_{(0)} + \frac{k_2}{2})$  faz açısı kullanılarak yük akışı çözümünden elde edilir. Yine arıza devam ettiğinden  $P_t^{(2)} = 0$  dır. Buradan,

$$k_3 = (376,990 + \frac{1,077}{2} - 376,990) \cdot 0,02$$

$$k_3 = 0,01077$$

ve

$$l_3 = (53,856) \cdot (0,02) = 1,077$$

Faz açısı ve açısal hızdaki değişimler için dördüncü yaklaşımalar:

$$k_4 = [(\omega_{(0)} + l_3) - 2\pi f] \cdot \Delta t$$

ve

$$l_4 = \frac{\pi f}{H} (P_m - P_t^{(3)}) \cdot \Delta t$$

Burada,  $P_t^{(3)}$ ,  $(\delta_{(0)} + k_3)$  faz açısı kullanılarak yük akışından elde edilir. Burada da yine  $P_t^{(3)} = 0$  dır. Buradan,

$$k_4 = (376,990 + 1,077 - 376,990) \cdot 0,02$$

$$k_4 = 0,02154$$

ve

$$l_4 = (53,856) \cdot (0,02) = 1,077$$

$t + \Delta t$  anında faz açısı ve açısal hız :

$$\delta_{(0,02)} = \delta_{(0)} + \frac{1}{6} (k_1 + 2k_2 + 2k_3 + k_4)$$

$$\omega_{(0,02)} = \omega_{(0)} + \frac{1}{6} (l_1 + 2l_2 + 2l_3 + l_4)$$

hesaplanan değerler yerlerine konursa,

$$\delta_{(0,02)} = 12,693^\circ + \frac{1}{6} (0 + 0,02154 + 0,02154 + 0,02154) .$$

$$\delta_{(0,02)} = 13,310^\circ$$



$$\omega_{(0,02)} = 376,990 + \frac{1}{6} (1,077 + 2,154 + 2,154 + 1,077)$$

$$\omega_{(0,02)} = 378,067$$

elde edilir.  $t = 0,02$  anında generatör gücünü hesaplamak için elde edilen  $\delta_{(0,02)}$  faz açısı kullanılarak yük akışı elde edilir. Bu güç  $P_{0,02}^{(0)} = 0$  dır ve arıza kaldırılıncaya kadar da sıfır olacaktır.

$t + \Delta t = 0,02$  için bu hesaplar tamamlanır. Runge-Kutta yöntemi her bir zaman artımı için dört defa yük akışı hesabı gerektirir.  $t = 0$  dan  $t = 0,20$ 'ye kadar bilgisayardan elde edilen sonuçlar 4.8.3'de gösterilmiştir.

#### ELEKTRİK TEŞİHLERİ VE SİSTEMLERİ MÜHENDİSLİĞİ

##### 4.8.1. Bilgisayar Programı

```
1000
1010
1020
1030
1040
1050
1060
1070
1080
1090
1100
1110
1120
1130
1140
1150
1160
1170
1180
1190
1200
1210
1220
1230
1240
1250
1260
1270
1280
1290
1300
1310
1320
1330
1340
1350
1360
1370
1380
1390
1400
1410
1420
1430
1440
1450
1460
1470
1480
1490
1500
1510
1520
1530
1540
1550
1560
1570
1580
1590
1600
1610
1620
1630
1640
1650
1660
1670
1680
1690
1700
1710
1720
1730
1740
1750
1760
1770
1780
1790
1800
1810
1820
1830
1840
1850
1860
1870
1880
1890
1900
1910
1920
1930
1940
1950
1960
1970
1980
1990
2000
2010
2020
2030
2040
2050
2060
2070
2080
2090
2100
2110
2120
2130
2140
2150
2160
2170
2180
2190
2200
2210
2220
2230
2240
2250
2260
2270
2280
2290
2300
2310
2320
2330
2340
2350
2360
2370
2380
2390
2400
2410
2420
2430
2440
2450
2460
2470
2480
2490
2500
2510
2520
2530
2540
2550
2560
2570
2580
2590
2600
2610
2620
2630
2640
2650
2660
2670
2680
2690
2700
2710
2720
2730
2740
2750
2760
2770
2780
2790
2800
2810
2820
2830
2840
2850
2860
2870
2880
2890
2900
2910
2920
2930
2940
2950
2960
2970
2980
2990
3000
3010
3020
3030
3040
3050
3060
3070
3080
3090
3100
3110
3120
3130
3140
3150
3160
3170
3180
3190
3200
3210
3220
3230
3240
3250
3260
3270
3280
3290
3300
3310
3320
3330
3340
3350
3360
3370
3380
3390
3400
3410
3420
3430
3440
3450
3460
3470
3480
3490
3500
3510
3520
3530
3540
3550
3560
3570
3580
3590
3600
3610
3620
3630
3640
3650
3660
3670
3680
3690
3700
3710
3720
3730
3740
3750
3760
3770
3780
3790
3800
3810
3820
3830
3840
3850
3860
3870
3880
3890
3900
3910
3920
3930
3940
3950
3960
3970
3980
3990
4000
4010
4020
4030
4040
4050
4060
4070
4080
4090
4010
4020
4030
4040
4050
4060
4070
4080
4090
4100
4110
4120
4130
4140
4150
4160
4170
4180
4190
4200
4210
4220
4230
4240
4250
4260
4270
4280
4290
4210
4220
4230
4240
4250
4260
4270
4280
4290
4300
4310
4320
4330
4340
4350
4360
4370
4380
4390
4310
4320
4330
4340
4350
4360
4370
4380
4390
4400
4410
4420
4430
4440
4450
4460
4470
4480
4490
4410
4420
4430
4440
4450
4460
4470
4480
4490
4500
4510
4520
4530
4540
4550
4560
4570
4580
4590
4510
4520
4530
4540
4550
4560
4570
4580
4590
4600
4610
4620
4630
4640
4650
4660
4670
4680
4690
4610
4620
4630
4640
4650
4660
4670
4680
4690
4700
4710
4720
4730
4740
4750
4760
4770
4780
4790
4710
4720
4730
4740
4750
4760
4770
4780
4790
4800
4810
4820
4830
4840
4850
4860
4870
4880
4890
4810
4820
4830
4840
4850
4860
4870
4880
4890
4900
4910
4920
4930
4940
4950
4960
4970
4980
4910
4920
4930
4940
4950
4960
4970
4980
4990
5000
5010
5020
5030
5040
5050
5060
5070
5080
5090
5010
5020
5030
5040
5050
5060
5070
5080
5090
5100
5110
5120
5130
5140
5150
5160
5170
5180
5190
5110
5120
5130
5140
5150
5160
5170
5180
5190
5200
5210
5220
5230
5240
5250
5260
5270
5280
5290
5210
5220
5230
5240
5250
5260
5270
5280
5290
5300
5310
5320
5330
5340
5350
5360
5370
5380
5390
5310
5320
5330
5340
5350
5360
5370
5380
5390
5400
5410
5420
5430
5440
5450
5460
5470
5480
5490
5410
5420
5430
5440
5450
5460
5470
5480
5490
5500
5510
5520
5530
5540
5550
5560
5570
5580
5590
5510
5520
5530
5540
5550
5560
5570
5580
5590
5600
5610
5620
5630
5640
5650
5660
5670
5680
5690
5610
5620
5630
5640
5650
5660
5670
5680
5690
5700
5710
5720
5730
5740
5750
5760
5770
5780
5790
5710
5720
5730
5740
5750
5760
5770
5780
5790
5800
5810
5820
5830
5840
5850
5860
5870
5880
5890
5810
5820
5830
5840
5850
5860
5870
5880
5890
5900
5910
5920
5930
5940
5950
5960
5970
5980
5910
5920
5930
5940
5950
5960
5970
5980
5990
6000
6010
6020
6030
6040
6050
6060
6070
6080
6090
6010
6020
6030
6040
6050
6060
6070
6080
6090
6100
6110
6120
6130
6140
6150
6160
6170
6180
6190
6110
6120
6130
6140
6150
6160
6170
6180
6190
6200
6210
6220
6230
6240
6250
6260
6270
6280
6290
6210
6220
6230
6240
6250
6260
6270
6280
6290
6300
6310
6320
6330
6340
6350
6360
6370
6380
6390
6310
6320
6330
6340
6350
6360
6370
6380
6390
6400
6410
6420
6430
6440
6450
6460
6470
6480
6490
6410
6420
6430
6440
6450
6460
6470
6480
6490
6500
6510
6520
6530
6540
6550
6560
6570
6580
6590
6510
6520
6530
6540
6550
6560
6570
6580
6590
6600
6610
6620
6630
6640
6650
6660
6670
6680
6690
6610
6620
6630
6640
6650
6660
6670
6680
6690
6700
6710
6720
6730
6740
6750
6760
6770
6780
6790
6710
6720
6730
6740
6750
6760
6770
6780
6790
6800
6810
6820
6830
6840
6850
6860
6870
6880
6890
6810
6820
6830
6840
6850
6860
6870
6880
6890
6900
6910
6920
6930
6940
6950
6960
6970
6980
6910
6920
6930
6940
6950
6960
6970
6980
6990
7000
7010
7020
7030
7040
7050
7060
7070
7080
7090
7010
7020
7030
7040
7050
7060
7070
7080
7090
7100
7110
7120
7130
7140
7150
7160
7170
7180
7190
7110
7120
7130
7140
7150
7160
7170
7180
7190
7200
7210
7220
7230
7240
7250
7260
7270
7280
7290
7210
7220
7230
7240
7250
7260
7270
7280
7290
7300
7310
7320
7330
7340
7350
7360
7370
7380
7390
7310
7320
7330
7340
7350
7360
7370
7380
7390
7400
7410
7420
7430
7440
7450
7460
7470
7480
7490
7410
7420
7430
7440
7450
7460
7470
7480
7490
7500
7510
7520
7530
7540
7550
7560
7570
7580
7590
7510
7520
7530
7540
7550
7560
7570
7580
7590
7600
7610
7620
7630
7640
7650
7660
7670
7680
7690
7610
7620
7630
7640
7650
7660
7670
7680
7690
7700
7710
7720
7730
7740
7750
7760
7770
7780
7790
7710
7720
7730
7740
7750
7760
7770
7780
7790
7800
7810
7820
7830
7840
7850
7860
7870
7880
7890
7810
7820
7830
7840
7850
7860
7870
7880
7890
7900
7910
7920
7930
7940
7950
7960
7970
7980
7910
7920
7930
7940
7950
7960
7970
7980
7990
8000
8010
8020
8030
8040
8050
8060
8070
8080
8090
8010
8020
8030
8040
8050
8060
8070
8080
8090
8100
8110
8120
8130
8140
8150
8160
8170
8180
8190
8110
8120
8130
8140
8150
8160
8170
8180
8190
8200
8210
8220
8230
8240
8250
8260
8270
8280
8290
8210
8220
8230
8240
8250
8260
8270
8280
8290
8300
8310
8320
8330
8340
8350
8360
8370
8380
8390
8310
8320
8330
8340
8350
8360
8370
8380
8390
8400
8410
8420
8430
8440
8450
8460
8470
8480
8490
8410
8420
8430
8440
8450
8460
8470
8480
8490
8500
8510
8520
8530
8540
8550
8560
8570
8580
8590
8510
8520
8530
8540
8550
8560
8570
8580
8590
8600
8610
8620
8630
8640
8650
8660
8670
8680
8690
8610
8620
8630
8640
8650
8660
8670
8680
8690
8700
8710
8720
8730
8740
8750
8760
8770
8780
8790
8710
8720
8730
8740
8750
8760
8770
8780
8790
8800
8810
8820
8830
8840
8850
8860
8870
8880
8890
8810
8820
8830
8840
8850
8860
8870
8880
8890
8900
8910
8920
8930
8940
8950
8960
8970
8980
8910
8920
8930
8940
8950
8960
8970
8980
8990
9000
9010
9020
9030
9040
9050
9060
9070
9080
9090
9010
9020
9030
9040
9050
9060
9070
9080
9090
9100
9110
9120
9130
9140
9150
9160
9170
9180
9190
9110
9120
9130
9140
9150
9160
9170
9180
9190
9200
9210
9220
9230
9240
9250
9260
9270
9280
9290
9210
9220
9230
9240
9250
9260
9270
9280
9290
9300
9310
9320
9330
9340
9350
9360
9370
9380
9390
9310
9320
9330
9340
9350
9360
9370
9380
9390
9400
9410
9420
9430
9440
9450
9460
9470
9480
9490
9410
9420
9430
9440
9450
9460
9470
9480
9490
9500
9510
9520
9530
9540
9550
9560
9570
9580
9590
9510
9520
9530
9540
9550
9560
9570
9580
9590
9600
9610
9620
9630
9640
9650
9660
9670
9680
9690
9610
9620
9630
9640
9650
9660
9670
9680
9690
9700
9710
9720
9730
9740
9750
9760
9770
9780
9790
9710
9720
9730
9740
9750
9760
9770
9780
9790
9800
9810
9820
9830
9840
9850
9860
9870
9880
9890
9810
9820
9830
9840
9850
9860
9870
9880
9890
9900
9910
9920
9930
9940
9950
9960
9970
9980
9990
10000
10010
10020
10030
10040
10050
10060
10070
10080
10090
10010
10020
10030
10040
10050
10060
10070
10080
10090
10100
10110
10120
10130
10140
10150
10160
10170
10180
10190
10110
10120
10130
10140
10150
10160
10170
10180
10190
10200
10210
10220
10230
10240
10250
10260
10270
10280
10290
10210
10220
10230
10240
10250
10260
10270
10280
10290
10300
10310
10320
10330
10340
10350
10360
10370
10380
10390
10310
10320
10330
10340
10350
10360
10370
10380
10390
10400
10410
10420
10430
10440
10450
10460
10470
10480
10490
10410
10420
10430
10440
10450
10460
10470
10480
10490
10500
10510
10520
10530
10540
10550
10560
10570
10580
10590
10510
10520
10530
10540
10550
10560
10570
10580
10590
10600
10610
10620
10630
10640
10650
10660
10670
10680
10690
10610
10620
10630
10640
10650
10660
10670
10680
10690
10700
10710
10720
10730
10740
10750
10760
10770
10780
10790
10710
10720
10730
10740
10750
10760
10770
10780
10790
10800
10810
10820
10830
10840
10850
10860
10870
10880
10890
10810
10820
10830
10840
10850
10860
10870
10880
10890
10900
10910
10920
10930
10940
10950
10960
10970
10980
10910
10920
10930
10940
10950
10960
10970
10980
10990
11000
11010
11020
11030
11040
11050
11060
11070
11080
11090
11010
11020
11030
11040
11050
11060
11070
11080
11090
11100
11110
11120
11130
11140
11150
11160
11170
11180
11190
11110
11120
11130
11140
11150
11160
11170
11180
11190
11200
11210
11220
11230
11240
11250
11260
11270
11280
11290
11210
11220
11230
11240
11250
11260
11270
11280
11290
11300
11310
11320
11330
11340
11350
11360
11370
11380
11390
11310
11320
11330
11340
11350
11360
11370
11380
11390
11400
11410
11420
11430
11440
11450
11460
11470
11480
11490
11410
11420
11430
11440
11450
11460
11470
11480
11490
11500
11510
11520
11530
11540
11550
11560
11570
11580
11590
11510
11520
11530
11540
11550
11560
11570
11580
11590
11600
11610
11620
11630
11640
11650
11660
11670
11680
11690
11610
11620
11630
11640
11650
11660
11670
11680
11690
11700
11710
11720
11730
11740
11750
11760
11770
11780
11790
11710
11720
11730
11740
11750
11760
11770
11780
11790
11800
11810
11820
11830
11840
11850
11860
11870
11880
11890
11810
11820
11830
11840
11850
11860
11870
11880
11890
11900
11910
11920
11930
11940
11950
11960
11970
11980
11910
11920
11930
11940
11950
11960
11970
11980
11990
12000
12010
12020
12030
12040
12050
12060
12070
12080
12090
12010
12020
12030
12040
12050
12060
12070
12080
12090
12100
12110
12120
12130
12140
12150
12160
12170
12180
12190
12110
12120
12130
12140
12150
12160
12170
12180
12190
12200
12210
12220
12230
12240
12250
12260
12270
12280
12290
12210
12220
12230
12240
12250
12260
12270
12280
12290
12300
12310
12320
12330
12340
12350
12360
12370
12380
12390
12310
12320
12330
12340
12350
12360
12370
12380
12390
12400
12410
12420
12430
12440
12450
12460
12470
12480
12490
12410
12420
12430
12440
12450
12460
12470
12480
12490
12500
12510
12520
12530
12540
12550
12560
12570
12580
12590
12510
12520
12530
12540
12550
12560
12570
12580
12590
12600
12610
12620
12630
12640
12650
12660
12670
12680
12690
12610
12620
12630
12640
12650
12660
12670
12680
12690
12700
12710
12720
12730
12740
12750
12760
12770
12780
12790
12710
12720
12730
12740
12750
12760
12770
12780
12790
12800
12810
12820
12830
12840
12850
12860
12870
12880
12890
12810
12820
12830
12840
12850
12860
12870
12880
12890
12900
12910
12920
12930
12940
12950
12960
12970
12980
12990
12910
12920
12930
12940
12950
12960
12970
12980
12990
13000
13010
13020
13030
13040
13050
13060
13070
13080
13090
13010
13020
13030
13040
13050
13060
13070
13080
13090
13100
13110
13120
13130
13140
13150
13160
13170
13180
13190
13110
13120
13130
13140
13150
13160
13170
13180
13190
13200
13210
13220
13230
13240
13250
13260
13270
13280
13290
13210
13220
13230
13240
13250
13260
13270
13280
13290
13300
13310
13320
13330
13340
13350
13360
13370
13380
13390
13310
13320
13330
13340
13350

```

C YILDIZ UNIVERSITESI  
C 1985  
C  
C

C \*\*\*\*\*  
C \* \*  
C \* \*  
C \* \*  
C \* \* YILDIZ UNIVERSITESI \*  
C \* \*  
C \* \* ELEKTRIK TESISLERİ VE SISTEMLERİ RILIMDALI \*  
C \* \*  
C \* \* 1985 \*  
C \* \*  
C \*\*\*\*\*  
C  
C \*I \*  
C \*I \*  
C \*I \*  
C \*I TRANSIENT STABILITE COZUM YONTEMLERI \*  
C \*I \*  
C \*I \*  
C \*I \*  
C \*\*\*\*\*

C-----  
C RUNGE KUTTA YONTEMI ILE COZUM  
C-----  
C  
C

C COMPLEX EQ,EI(30,4),EP(30,4),IT(30,4),CSE,CSD  
C DIMENSION CC(25),HEP(25,4),C(25),PT(25,4),D(25),DD(25)  
C REAL K1,K2,K3,K4,L1,L2,L3,L4

C  
C FORMULLER

C  
C DW/DT=PI\*F/H(PM-PT)  
C DC/DT=W-2\*PI\*F

C  
C SABITLER

C  
C DATA (PT(1,1),I=1.4)/4\*0.0/  
C F=60.  
C H=3.5  
C PI=3.141596  
C DT=0.02  
C DD(1)=12.693



```
C(1)=376.990
CC(1)=0.
PM=1.0
CONST=F*PI/H
C
C      2. KISIM SABITLER
C
C      EQ=CMPLX(1.0,0.0)
CSE=CMPLX(0.0,0.2)
CSD=CMPLX(0.0,0.25)
EI0=1.138
C
C      TN=0.20
TA=0.10
C      TA: ARIZANIN KALKTIGI ZAMAN
M=(TN/DT)+1
N=(TA/DT)+1
C
C      HESAPLAMALAR
C
DO 10 I=2,M+1
K=I-1
IF(I.LE.N) GO TO 11
EI(K,1)=CMPLX(EI0*COS(D(K)),EI0*SIN(D(K)))
IT(K,1)=(EI(K,1)-EQ)/CSD
EP(K,1)=EI(K,1)-CSE*IT(K,1)
HEP(K,1)=CABS(EP(K,1))
PT(K,1)=REAL(CONJG(EP(K,1))*IT(K,1))
11   K1=(C(K)-2.*PI*F)*DT
L1=CONST*(PM-PT(K,1))*DT
K2=((C(K)+L1/2.)-2.*PI*F)*DT
IF(I.LE.N) GO TO 12
EI(K,2)=CMPLX(EI0*COS(D(K)+K1/2.),EI0*SIN(D(K)+K1/2.))
IT(K,2)=(EI(K,2)-EQ)/CSD
EP(K,2)=EI(K,2)-CSE*IT(K,2)
HEP(K,2)=CABS(EP(K,2))
PT(K,2)=REAL(CONJG(EP(K,2))*IT(K,2))
12   L2=CONST*(PM-PT(K,2))*DT
K3=((C(K)+L2/2.)-2.*PI*F)*DT
IF(I.LE.N) GO TO 13
EI(K,3)=CMPLX(EI0*COS(D(K)+K2/2.),EI0*SIN(D(K)+K2/2.))
IT(K,3)=(EI(K,3)-EQ)/CSD
EP(K,3)=EI(K,3)-CSE*IT(K,3)
HEP(K,3)=CABS(EP(K,3))
PT(K,3)=REAL(CONJG(EP(K,3))*IT(K,3))
13   L3=CONST*(PM-PT(K,3))*DT
K4=((C(K)+L3)-2.*PI*F)*DT
IF(I.LE.N) GO TO 14
```



```
CALL GRAF(DT,M,C,DD)
STOP
END
SUBROUTINE GRAF(DT,M,A,C)
DIMENSION A(25),C(25)
CHARACTER TABLO(50,90)*1,DUS(50)*6,DU(50)*6,DS(8)*6,DS(13)*6
DATA DS/'384. +',/382. +',/380. +',/378. +',/376. +',/374. +',
*'372. +',/370. +'/
DATA DSD//+ 58.,/+ 54.,/+ 50.,/+ 46.,/+ 44.,/+ 40.,
*'+ 36.,/+ 32.,/+ 28.,/+ 24.,/+ 20.,/+ 16.,/+ 12./
DATA DUS,DU/50*'/ I',50*I'   //
DATA TABLO /4500*'/
IJ=0
DO 1 I=48,2,-7
IJ=IJ+1
1 DUS(I)=DS(IJ)
JI=0
DO 2 II=49,2,-4
JI=JI+1
2 DU(II)=DSD(JI)
NN=1
N=DT*100
DO 20 I=1,M
K=(A(I)-370.)*3.5+.5
L=(C(I)-10.)*.5
TABLO(K,NN)='*'
TABLO(L,NN)='0'
NN=NN+N*4
20 CONTINUE
WRITE(*,22)
22 FORMAT(8X,90(' '))
DO 30 K=50,1,-1
WRITE(*,21) DUS(K),(TABLO(K,L),L=1,90),DU(K)
21 FORMAT(2X,A6,90A1,A6)
30 CONTINUE
WRITE(*,23) (KL,KL=2,20,2)
23 FORMAT(8X,'-',11('-----+'),'--',/11X,4(4X,'0.0',I1),6(4X,'0.'
*,I2))
RETURN
END
```



4.8.2. Bilgisayar Çıkları

```
        EI(K,4)=CMPLX(EI0*COS(D(K)+K3),EI0*SIN(D(K)+K3))
        IT(K,4)=(EI(K,4)-EQ)/CSD
        EP(K,4)=EI(K,4)-CSE*IT(K,4)
        HEP(K,4)=CABS(EP(K,4))
        PT(K,4)=REAL(CONJG(EP(K,4))*IT(K,4))
        CC(K)=(ATAN(AIMAG(EP(K,1))/ABS(REAL(EP(K,1))))) *180./PI
        IF(REAL(EP(K,4)))100,400,400
100     IF(AIMAG(EP(K,4)))200,300,300
200     CC(K)=-180.-CC(K)
        GOTO 400
300     CC(K)=180.-CC(K)
400     CONTINUE
14     L4=CONST*(PM-PT(K,4))*DT
        C(I)=C(K)+(L1+2.*L2+2.*L3+L4)/6.
        DD(I)=DD(K)+((K1+2.*K2+2.*K3+K4)/6.)*(180./PI)
        D(I)=DD(I)*(PI/180.)
        IF(I.NE.(N+1)) GO TO 10
        PT(K,1)=0.
        HEP(K,1)=0.
        CC(K)=0.
10     CONTINUE

C      YAZMA BOLUMU
C
        WRITE(6,22)
22     FORMAT(1H1,/////,50X,'GENERATOR DEGERLERİ ',30X,'P
*xBARASI',/.3X,090('`'),10X,20('`'))
        WRITE(6,23)
23     FORMAT(5X,'ZAMAN (I)',5X,'ACISAL HIZ (W)',5X,'GERILIM (IEI)
*',1X,'FAZ ACISI (C)',5X,'AKTIF GUC (PT)',5X,'GERILIM (IEPI)'
*,5X,'FAZ ACISI (CP)')
        WRITE(6,25)
25     FORMAT(5X,09('`'),5X,14('`'),5X,13('`'),8X,13('`'),5X,14('`')
*,5X,14('`'),5X,14('`'),//)
        Z=0.
        DO 30 I=1,M
        WRITE(6,33)Z,C(I),EI0,DD(I),PT(I,1),HEP(I,1),CC(I)
33     FORMAT(2X,F9.3,8X,F09.3,10X,F10.3,10X,F09.3,11X,F09.3,11X.
* F9.3,11X,F9.3)
        Z=Z+DT
30     CONTINUE
```



#### 4.8.2. Bilgisayar Çıkları

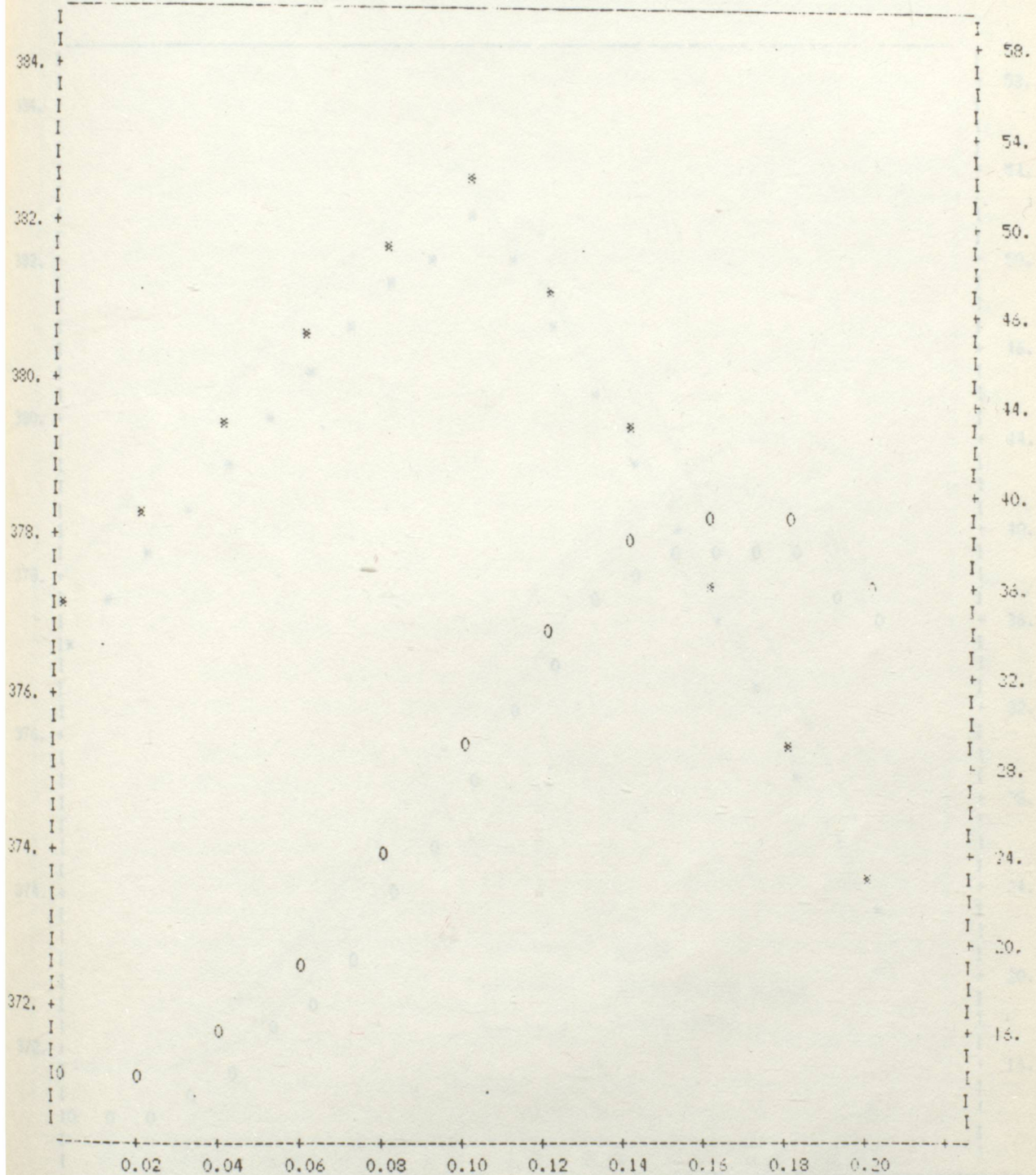
ZAMAN (1)	ACISAL HIZ (W)	GERILIM (IE1)	FAZ ACISI (C)	AKTİF GÜC (PT)	P BARASI	
					GERİLİM (IEFI)	FAZ ACISI (CP)
0,000	376,990	1,138	12,693	0,000	0,000	0,000
.020	378,067	1,138	13,308	0,000	0,000	0,000
.040	379,144	1,138	15,158	0,000	0,000	0,000
.060	380,221	1,138	18,242	0,000	0,000	0,000
.080	381,298	1,138	22,560	0,000	0,000	0,000
.100	382,376	1,138	28,113	0,006	0,006	0,000
.120	380,933	1,138	33,493	2,512	.998	7,232
.140	379,168	1,138	37,022	2,741	.991	7,947
.160	377,233	1,138	38,417	2,829	.988	8,226
.180	375,280	1,138	37,569	2,775	.990	8,056
.200	373,460	1,138	34,545	2,581	.996	7,446



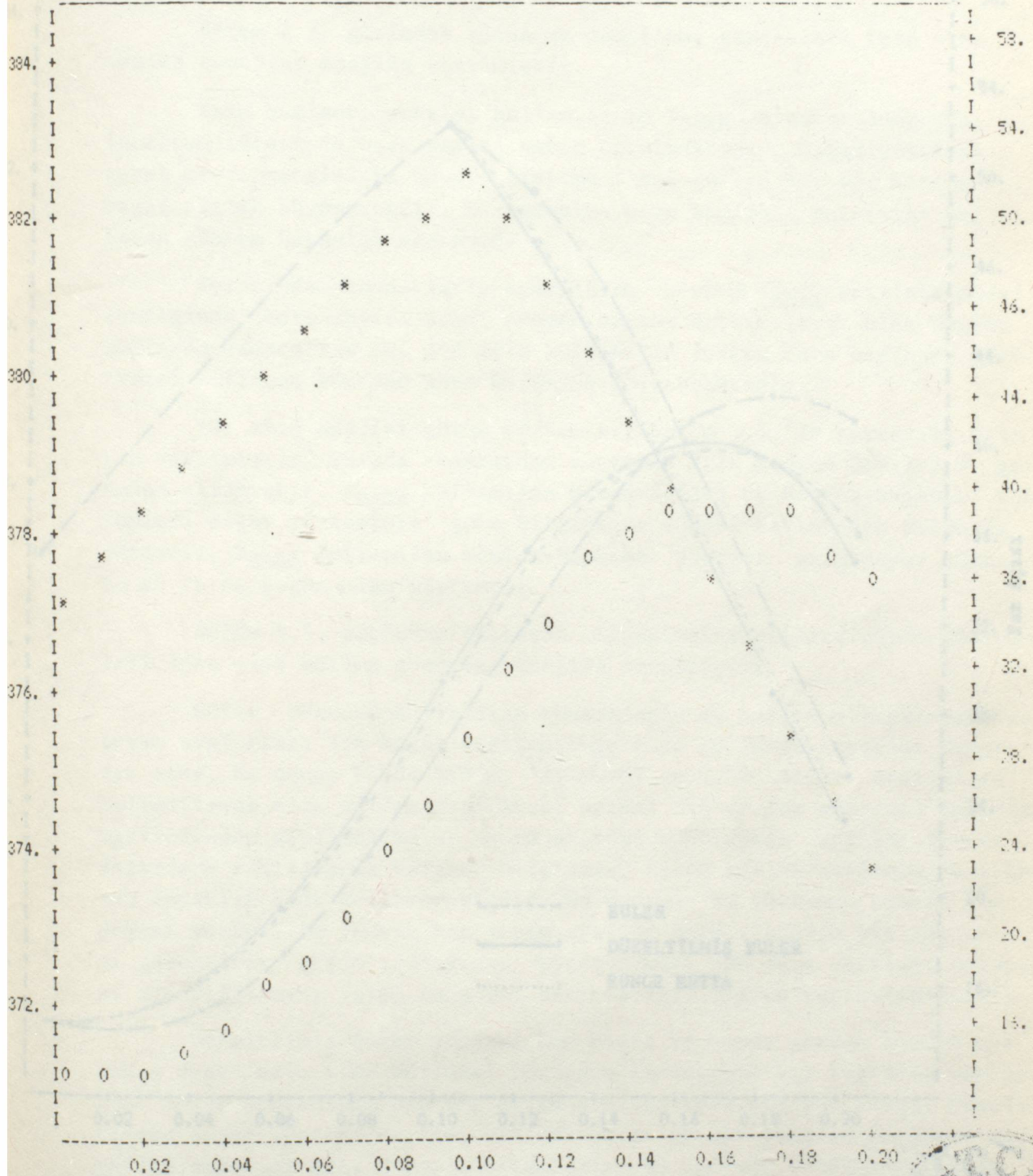
ZAMAN (I)	ACISAL HIZ (W)	GERILIM (IEI)	FAZ ACISI (C)	GENERATOR DEGERLERİ		F	BIRASİ
				AKTİF GÜC (PT)	FAZ ACISI (CP)		
0.000	376.990	1.138	12.693	0.000	0.000	0.000	0.000
.010	377.529	1.138	12.846	0.000	0.000	0.000	0.000
.020	378.067	1.138	13.308	0.000	0.000	0.000	0.000
.030	378.606	1.138	14.079	0.000	0.000	0.000	0.000
.040	379.144	1.138	15.158	0.000	0.000	0.000	0.000
.050	379.683	1.138	16.546	0.000	0.000	0.000	0.000
.060	380.221	1.138	18.242	0.000	0.000	0.000	0.000
.070	380.760	1.138	20.247	0.000	0.000	0.000	0.000
.080	381.298	1.138	22.560	0.000	0.000	0.000	0.000
.090	381.837	1.138	25.182	0.000	0.000	0.000	0.000
.100	382.376	1.138	28.113	0.000	0.000	0.000	0.000
.110	381.704	1.138	31.010	2.345	1.002	6.721	
.120	380.933	1.138	33.494	2.512	.998	7.232	
.130	380.081	1.138	35.511	2.644	.994	7.642	
.140	379.168	1.138	37.022	2.741	.991	7.947	
.150	378.212	1.138	37.997	2.802	.989	8.142	
.160	377.233	1.138	38.417	2.829	.988	8.226	
.170	376.249	1.138	38.273	2.820	.989	8.197	
.180	375.280	1.138	37.569	2.775	.990	8.056	
.190	374.343	1.138	36.318	2.696	.992	7.805	
.200	373.459	1.138	34.544	2.581	.996	7.446	



#### 4.8.3. Açısal Hız ve Faz Açısının Zamana Göre Değişim Eğrileri



TRANSIENT STABILITE ÇÖZÜM YÖNTEMLERİNİN KARŞILAŞTIRILMASI



BULUS  
DÜZLEME BULUS  
BULUS BULUS



#### 4.9. TRANSIENT STABİLİTE ÇÖZÜM YÖNTEMLERİİNİN KARŞILAŞTIRILMASI

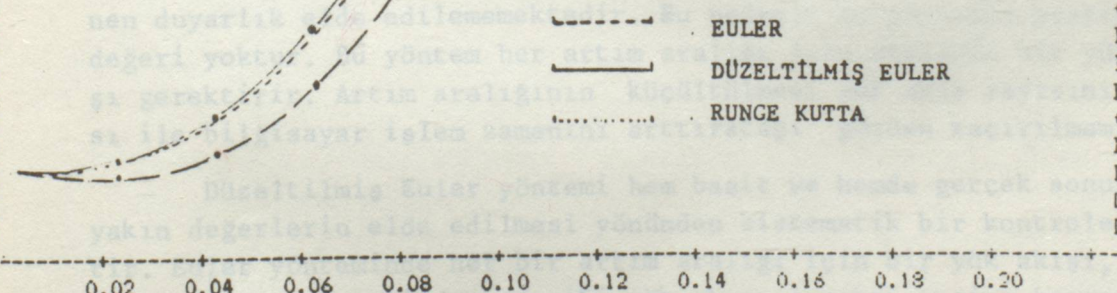
384. +  
I Bölm Z.3, gözdenme alınarak modelleme yöntemleri ile  
I edilen sonuçlar aşağıda verilmiştir.  
I

Bara bağlantı matrisi kullanılarak T<sub>1</sub> ve T<sub>2</sub> matrisleri inceleme süresince bara bağlı tutulmuştur. Bu genetik yapıyı 50. temel çevre matriçinin boyutu 10x10 olmasa ilave etmek için bara bağlı olacak bilgiyi içermemektedir. Bu nedenle, bara bağlı matrisini oluşturmak için çeşitli yöntemler kullanılmıştır.

Yük akış analizi özsüze yarayanlarla birlikte ayrıntılı bir şekilde verilmiştir. Burada tekrardan kavramıza dair bilgiyi de birlikte alımmıştır. İBARA kullanılan formülasyonlarla birlikte Newton-Raphson yöntemleri diğer yöntemlere göre sıkı ayar sağlayarak bakanın en istenen sonuçları elde etmeye imkan tanımaktadır. İBARA kullanılan Newton-Raphson yöntemi bilgisayarlarla en az ve en uygun olan yöntemdir.

376. 8610m 4.79. goodell's       <img alt="dashed line with dots" data-bbox="

Euler yöntemi, artıma aralıkları çok küçük oluyor. Bu sonucu kullanılarak elde edilen sonuçlar, egrilerinden gelenlerdir. Aşağıda 24. ve 28. resimlerde Euler yöntemi ile elde edilen sonuçlar gösterilmiştir.



analizinde yeterli hassasiyet sağlanabilir.

## BÖLÜM V SONUÇLAR

Bölüm 2.3. gözönüne alınarak modelleme yöntemleri için elde edilen sonuçlar aşağıda verilmiştir.

Bara bağlantı matrisi kullanılarak  $Y_{BARA}$  oluşturulduğunda, inceleme süresince bara sayısı sabit tutulmaktadır. Diğer yöntemde temel çevre matrisinin boyutu sisteme ilave edilen her bir kırıse bağlı olarak büyümektedir. Bu nedenle, bara bağlantı matrisini kullanan yöntem üstünlük gösterir.

Seçili Uçlarından kaynaklarla uyarılarak sistem  $Z_{BARA}$  şeklinde modellendiğinde, bara sayısı sabit eleman sayısı arttırılarak elde edilen modlarda sadece ilk iki mod için kullanılan yöntem bara bağlantı matrisini kullanan yönteme göre üstünlük göstermektedir.

Yük akış analizi çözüm yöntemleri bölüm 3.5.'de ayrıntılı olarak verilmiştir. Burada tekrardan kaçınmak için sadece Şekil-3.5 gözüne alınmıştır.  $Y_{BARA}$  kullanılan Gauss-Seidel ve Newton-Raphson yöntemleri diğer yöntemlere göre bilgisayar süresi bakımından üstünlük gösterir.  $Y_{BARA}$  kullanılan Newton-Raphson yöntemi bilgisayar süresi en az ve en uygun olan yöntemdir.

Bölüm 4.9. gözönüne alınarak transient-stabilite çözüm yöntemleri için elde edilen sonuçlar aşağıda verilmiştir.

Euler yöntemi kullanılan yöntemlerin en basiti olmakla beraber artım aralıkları zok küçük seçilmedikçe elde edilecek sonuçlar duyarlı olur. Bu sonuç bölüm 4.6.3. 'de 0.01 ve 0.02 artım aralıkları kullanılarak elde edilen grafikteki açısal hız ve faz açısının değişim egrilerinden görülmektedir. Artım aralığı küçüldükçe egriler gerçek değerlere yaklaşmakla beraber bilgisayar işlem sayısı artmaktadır ve istenilen duyarlık elde edilememektedir. Bu nedenle bu yöntemin pratik bir değeri yoktur. Bu yöntem her artım aralığı için sisteme bir yük akışı gerektirir. Artım aralığının küçültülmesi yük akış sayısını dolayısı ile bilgisayar işlem zamanını artıracagı gözden kaçırılmamalıdır.

Düzeltilmiş Euler yöntemi hem basit ve hemde gerçek sonuca çok yakın değerlerin elde edilmesi yönünden sistematik bir kontrole sahiptir. Euler yönteminde her bir artım aralığı için bir yük akışı, Düzeltilmiş Euler yönteminde ise, iki yük akışı gerektirmesine karşılık elde edilen değerler daha duyarlı olmaktadır. Bu nedenle Düzeltilmiş Euler yöntemi pratik bakımından üstünlük gösterir. Transient-stabilite

analizinde yeterli hassasiyetle kullanılabilir.

Runge-Kutta yönteminde aritmetik işlem sayısı diğer iki yöntemden daha fazla ve her bir artım aralığı için dört defa yük akışı gerektirmesine karşılık elde edilen sonuçlar daha doğrudur. Sonuca daha sihhatli yaklaşılması istendiğinde Runge-Kutla yönteminin kullanılması uygun olur.

Çalışmanın ana bölümlerini meydana getiren II. III. ve IV. bölgüler birbirini tamamlamaktadır. Örneğin, transient-stabilite analizi yapmak istediğimiz bir enerji sisteminde önce sistemin optimum bir şekilde modellenmesi ve bunun ardından her bir artım aralığı için seçilen çözüm yöntemine göre bir, iki veya dört defa sistemde yük akış analizi yapılması gereklidir. Uygun yük akış analizi yönteminin seçilmesi bilgisayarın optimum bir şekilde kullanılması demektir. Sonuç olarak optimum bir şekilde çözüme ulaşmamız kullanılan analiz yöntemlerinin en uygun seçilmesi ile mümkün olur. Bu şekilde yapılan seçim, bilgisayarın optimum kullanılmasını dolayısıyla istenen ekonomiyi sağlar.

- Impedances, IEEE Proc. Power Ind. Computer Appl. Conf., Phoenix, Ariz., (1963), 150-155.
- 8) Eaton, J.H., Cohen, L.: Electric Power Transmission Systems, Second Edition, New Jersey, Prentice-Hall, Inc., 1953.
- 9) Knight, R.C.: Power Systems Engineering and Mathematics, Second Edition, New York, John Wiley-Sons, Inc., 1975.
- 10) Knable, A.H.: Electrical Power Systems Engineering Problems and Solution., New York, Mc-Graw-Hill, Inc., 1967.
- 11) Kimball, C.W.: Power System Stability, New York, John Wiley and Sons, Inc., Volume 1, 1968.
- 12) Kalyoncu, A.: Elektrik Sistemlerinin Çok-Uclu Eleman Kavramı Taraması İle İncelenmesi, Doktora Tezi, 1981.
- 13) Stevenson, W.D.: Elements of Power System Analysis, Third Edition, Tokyo, Mc Graw-Hill-Kogakusha, Ltd., 1973.
- 14) Stagg, G.W., El-Amin, A.H.: Computer Methods in Power System Analysis, New York, Mc Graw-Hill, Inc., 1968.
- 15) Shipley, R.B.: Introduction to Mathematics and Numerical Methods, New York, John Wiley and Sons, Inc., 1975.



analizinde yeterli hassasiyetle kullanılabilir.

Runge-Kutta yönteminde aritmetik işlem sayısı diğer iki yöntemden daha fazla ve her bir artım aralığı için dört defa yük akışı gerektirmesine karşılık elde edilen sonuçlar daha doğrudur. Sonuca daha sihhatli yaklaşılması istendiğinde Runge-Kutta yönteminin kullanılması uygun olur.

Çalışmanın ana bölümlerini meydana getiren II. III. ve IV. bölgüler birbirini tamamlamaktadır. Örneğin, transient-stabilite analizi yapmak istediğimiz bir enerji sisteminde önce sistemin optimum bir şekilde modellenmesi ve bunun ardından her bir artım aralığı için seçilen çözüm yöntemine göre bir, iki veya dört defa sistemde yük akış analizi yapılması gereklidir. Uygun yük akış analizi yönteminin seçilmesi bilgisayarın optimum bir şekilde kullanılması demektir. Sonuç olarak optimum bir şekilde çözüme ulaşmamız kullanılan analiz yöntemlerinin en uygun seçilmesi ile mümkün olur. Bu şekilde yapılan seçim, bilgisayarın optimum kullanılmasını dolayısıyla istenen ekonomiyi sağlar.

Optimal Path for Direct Computation and Application of Solution-Inverted Matrices of Networks Including Mutual Impedances, IEEE Proc. Power Ind. Computer Appl. Conf., Phoenix, Ariz., (1969), 150-155.

- 8) Eaton, J.R., Cohen, E.: Electric Power Transmission Systems, Second Edition, New Jersey, Prentice-Hall, Inc., 1983.
- 9) Knight, R.C.: Power System Engineering and Mathematics, Second Edition, New York, John Wiley-Liss, Inc., 1975.
- 10) Kuckel, A.H.: Electrical Power Systems Engineering Problems and Solution, New York, McGraw-Hill, Inc., 1967.
- 11) Kimball, G.W.: Power-system Stability, New York, McGraw-Hill Book, Inc., Volume I, 1968.
- 12) Kuyukik, A.: Elektrik Sektörünün Çok-Uyku Dairesi Teorisi, Inşaat ve İnceleme, Ankara, 1981.
- 13) Stevenson, W.D.: Elements of Power System Analysis, Third Edition, Tokyo, McGraw-Hill Kagaku-sha, Ltd., 1975.
- 14) Stumpf, G.R., El-Ahmad, H.H.: Computer Methods in Power System Analysis, New York, McGraw-Hill, Inc., 1968.
- 15) Sridhar, S.P.: Introduction to Matrices and Power Systems, New York, John Wiley and Sons, Inc., 1976.



16) Stott, B., Tarkan, O.: Elektrik Şebekeleri Çözümlerinde Modern  
Metodlar, Ankara U.M.H. Fakültesi, Yayın No.24, 1969  
**KAYNAKLAR**

- 1) Anderson, P.M. : Power System Control and Stability-Power System  
Dinamics Short Course, Iowa State University, 1973
- 2) Brown, H.: Solution of Lauge Networks by Matrix Methods, First  
Editon, New York, John Wiley and Sons, Inc., 1975
- 3) Clarke, E.: Circuit Analysis of A.C Power Systems, Vol.1, New York,  
John Wiley and Sons, Inc. 1956
- 4) Çakır, H.: Güç Sistem Analizi, İstanbul, Ders Notları, Y.U. 1985
- 5) Çakır, H., Dinler, S.: Güç Sistemlerinde Bara Empedans ve Admitans  
Matrislerinin Hesaplanması, İstanbul, Y.U.Dergisi, 1985/2.
- 6) Elgerd, O.I.: Electric Energy Systems Theory : An Introduction,  
New Delhi, Tatd Mc Graw-Hill Publishing Company Ltd., 1979.
- 7) El-Abiad, A.H.: Algorithms for Direct Computation and Modification  
of Solution (Inverted) Matrices of Networks Including Mutual  
Impedances, IEEE Proc. Power Ind. Computer Appl. Conf.; Phoenix,  
Ariz., (1963), 150-166.
- 8) Eaton, J.R., Cohen, E.: Electric Power Transmission Systems,  
Second Edihon, New Jersey, Prentice-Hall, Inc., 1983.
- 9) Knight, U.G.: Power Systems Engineering and Mathematics, Second  
Edition, New York, Johu Wiley-Sons, Inc., 1975.
- 10) Knable, A.H.: Electrical Power Systems Engineering Problems and  
Solution.. New York, Mc Graw-Hill, Inc., 1967.
- 11) Kimbark, E.W. : Power System Stability. New York, John Wiley and  
Sons, Inc., Volume I. 1948
- 12) Kaypmaz, A.: Elektrik Şebekelerinin Çok-Uçlu Eleman Kavramı Yardımıy-  
la İncelenmesi, Doktora Tezi, 1981.
- 13) Stevenson, W.D.: Elements of Power System Analysis, Third Editon,  
Tokyo, Mc Graw-Hill Kogakusha, Ltd., 1975.
- 14) Stagg, G.W., El-Abiad, A.H.: Computer Methods in Power System  
Analysis, New York, Mc Graw-Hill, Inc., 1968.
- 15) Shipley, R.B.: Introduction to Matrices and Power Systems,  
New York, John Wiley and Sous, Inc., 1976.



- 16) Stott, B., Tarkan. O.: Elektrik Şebekeleri Çözümlerinde Modern Metodlar, Ankara, O.D.T.Ü.Müh.Fakültesi, Yayın No.24, 1969.
- 17) Tokad, Y.: Foundations of Passive Electrical Network Synthesis. Vol. I, Ankara, M.E.T.Ü.Faculty of Engineering Publication, Yayın No 41, 1972.
- 18) Weredy, B.M.: Electric Power Systems, Third Editon, New York, John Wiley and Sons, 1979.
- 19) Yu, Yao-nan.: Electric Power System Dynamics, London, Academic Press, Inc., 1983.
- 20) Bajpai, A.C., Mustoe, L.R., Walker, D.: Engineering Mathematics, London, John-Wiley and Sons, 1974.
- 21) Cornabun, B., Luther, H.A., Wilkes,O.J.: Applied Numerical Methods, New York, John Wiley and Sons, Inc., 1969.
- 22) Dervişoğlu,A.: Mühendislikte Bilgisayarla Analiz Yöntemleri İstanbul, Ders Notları, İ.T.Ü., 1983.
- 23) Hildebrand,F.B.: Introduction to Numerical Analysis, New York, Mc Graw\_hill Book Co., 1956.
- 24) Hamming, H.E.: Numerical Methods for Scientists and Engineers, New York, Mc Graw-Hill Book Co., 1962.
- 25) Kreyszig, E.: Advanced Engineering Mathematics, Third Editon, New York, John-Wiley and Sons, Inc., 1972.
- 26) Lance, N.G.: Namerical Methods for Highspeed Computers, London, Hiffe and Sons, 1960.
- 27) Lewis, W.E., Pryce, D.G.: The Application of Matrix Theory to Electrical Engineering, Science Paperbacks.
- 28) Milue, W.E.: Numerical Solutions of Differential Equations, New York, John Wiley and Sons, Inc., 1953.
- 29) Mc Cormick, J.M., Salvodori, M.G.: Mumerical Methods in Fortron, New Delhi, Prentice-Hall of India Private Limited, 1968.
- 30) Martens, R.H.: Introduction to Systems Theory, Ohio Charles E. Werrill Publishing Co., 1969
- 31) Wylie, C.R.: Advanced Engineering Mathematics, New York, Mc-Graw-Hill Book Company, Inc., 1975.



TEŞEKKÜR

OZGEMİŞ

Her zaman ve her konuda destek ve yardımlarını gördüğüm tez yöneticisi kıymetli hocam, Sayın Prof.Mehmet DALFES'e teşekkürü bir borç bilirim.

Birlikte çalıştığım ve değerli fikirlerinden yararlandığım hocam, Sayın Doç.Dr.H.Nusret YÜKSELER'e teşekkür ederim.



## ÖZGEÇMİŞ

Hüseyin ÇAKIR 1948 yılında İskeçe'de doğdu. İlk, orta, lise (Maçka Erkek Sanat Enstitüsü) tahsilini İstanbul'da tamamladı. Daha sonra Yıldız Üniversitesi Elektrik Mühendisliği Bölümüne girdi. 1971 yılında Lisans ve 1972 yılında lisans üstünden Yüksek Mühendis olarak mezun oldu. Aynı yıl Elektrik Mühendisliği Elektrik Tesisleri Kürsüsüne asistan olarak atandı. 1976 yılında Yeterlik Çalışması yaptı. 1977-1978 yılları arasında A.B.D.'de George Washington Üniversitesi'nde araştırmalar yaptı. 1979 yılında Doçentlige yükseltildi. 1982 yılı sonuna kadar Elektrik Tesisleri Kürsüsü Yöneticiliğini yürüttü. Elektrik Fakültesi Dekan Yardımcılığı ve Elektrik Mühendisliği Bölüm Başkanı yardımcılığı görevlerinde bulunan ve halen Elektrik Tesisleri ve Sistemleri Bilim Dalı Başkanı olan Hüseyin ÇAKIR evlidir.

